

# Betrachtungen jenseits des Standardmodells der Teilchenphysik

Gravitation unter Einbeziehung zusätzlicher  
Dimensionen und nichtkommutative Geometrie

Diplomarbeit  
von  
Martin Kober

Institut für Theoretische Physik  
Johann Wolfgang Goethe Universität  
Frankfurt am Main



# Inhaltsverzeichnis

<b>Einleitung</b>	<b>7</b>
<b>I Gravitation und zusätzliche Dimensionen</b>	<b>9</b>
<b>1 Die Allgemeine Relativitätstheorie</b>	<b>11</b>
1.1 Historische Einleitung . . . . .	11
1.2 Mathematischer Formalismus . . . . .	13
1.2.1 Differenzierbare Mannigfaltigkeiten . . . . .	14
1.2.2 Tangentialräume und Tensorfelder . . . . .	15
1.2.3 Affine Zusammenhänge . . . . .	16
1.2.4 Riemannsche Mannigfaltigkeiten . . . . .	18
1.3 Physikalische Prinzipien . . . . .	19
1.3.1 Die Postulate der Allgemeinen Relativitätstheorie . . . . .	20
1.3.2 Die Einsteinschen Feldgleichungen . . . . .	20
1.3.3 Bewegung von Körpern auf der Raumzeit . . . . .	22
<b>2 Die Einführung zusätzlicher Dimensionen</b>	<b>23</b>
2.1 Kaluza-Klein-Theorie . . . . .	23
2.1.1 Die Struktur der Raumzeit nach Kaluza und Klein . . . . .	24
2.1.2 Generierung von Massen . . . . .	24
2.2 Das ADD-Modell . . . . .	25
2.2.1 Die Grundidee . . . . .	25
2.2.2 Metrische Struktur und Materieverteilung . . . . .	26
<b>3 Eine Quantenfeldtheorie der Gravitation</b>	<b>29</b>
3.1 Eichtheorie der Gravitation . . . . .	30
3.1.1 Lokale Lorentzinvarianz und Vierbein . . . . .	30
3.1.2 Wirkungen von Feldern im Gravitationsfeld . . . . .	31
3.2 Die Methode der Pfadintegralquantisierung . . . . .	32
3.2.1 Allgemeine Formulierung . . . . .	32

3.2.2	Herleitung eines Propagators . . . . .	34
3.3	Quantisierung des Gravitationsfeldes . . . . .	35
3.3.1	Die Lagrangedichte des Gravitationsfeldes . . . . .	35
3.3.2	Der Gravitonpropagator . . . . .	37
3.3.3	Kopplungen und Vertizes . . . . .	39
<b>4</b>	<b>ZZ-Produktion durch Gravitonen</b>	<b>43</b>
4.1	S-Matrix und Feynmanamplitude . . . . .	44
4.2	Wirkungsquerschnitt für Gluonen . . . . .	48
4.2.1	Von der Feynmanamplitude zum Wirkungsquerschnitt	48
4.2.2	Summierung über die Kaluza-Klein-Anregungen . . . .	50
4.3	Wirkungsquerschnitt für Protonen . . . . .	52
4.3.1	Faltung über die Partonenverteilungsfunktionen . . . .	52
4.3.2	ZZ-Produktion im Standardmodell . . . . .	52
4.3.3	Ergebnisse und Diskussion . . . . .	54
<b>II</b>	<b>Nichtkommutative Geometrie</b>	<b>59</b>
<b>5</b>	<b>Eichtheorien und Higgsmechanismus</b>	<b>61</b>
5.1	Die Idee von Symmetrieprinzipien . . . . .	61
5.2	Das Prinzip lokaler Eichinvarianz . . . . .	64
5.2.1	Innere Symmetrien einer Lagrangedichte . . . . .	64
5.2.2	Übergang zu lokalen Symmetrien und Wechselwirkung	65
5.2.3	Die Dynamik des Wechselwirkungsfeldes . . . . .	67
5.3	Higgsmechanismus . . . . .	68
5.3.1	Die Elektroschwache Theorie . . . . .	68
5.3.2	Generierung der Massen der Eichbosonen . . . . .	70
<b>6</b>	<b>Das Grundprinzip der n.k. Geometrie</b>	<b>73</b>
6.1	Die Einführung einer neuen Algebra für Ort und Impuls . . . .	73
6.1.1	Vertauschungsrelationen zwischen den Koordinaten . . .	73
6.1.2	Implikation für die Ableitungsoperatoren . . . . .	74
6.2	Das Sternprodukt . . . . .	75
<b>7</b>	<b>Nichtkommutative Eichtheorien</b>	<b>79</b>
7.1	Kovariante Koordinaten . . . . .	80
7.2	Seiberg-Witten-Abbildungen . . . . .	81
7.2.1	Die Bedingung der Geschlossenheit . . . . .	81
7.2.2	Erweiterung zur einhüllenden Algebra . . . . .	82
7.2.3	Abbildungen der Felder . . . . .	83

<i>INHALTSVERZEICHNIS</i>	5
<b>8 Higgsmechanismus und n.k. Geometrie</b>	<b>85</b>
8.1 Abelscher Fall . . . . .	86
8.1.1 S.-W.-Abbildung und dann Symmetriebrechung . . . . .	86
8.1.2 Symmetriebrechung und dann S.-W.-Abbildung . . . . .	87
8.2 Nicht-Abelscher Fall . . . . .	89
8.2.1 S.-W.-Abbildung und dann Symmetriebrechung . . . . .	89
8.2.2 Symmetriebrechung und dann S.-W.-Abbildung . . . . .	89
<b>Schlussbemerkungen</b>	<b>93</b>
<b>Anhang</b>	<b>95</b>
<b>Literaturverzeichnis</b>	<b>99</b>
<b>Danksagung</b>	<b>105</b>



# Einleitung

Die vorliegende Diplomarbeit besteht aus zwei Teilen. Im ersten Teil der Arbeit geht es um die Erweiterung der Allgemeinen Relativitätstheorie durch die Annahme zusätzlicher Dimensionen, während im zweiten Teil die Konsequenzen einer veränderten Raumzeitgeometrie unter der Annahme einer Vertauschungsrelation zwischen den Ortskoordinaten beschrieben werden. Beide Teile umfassen jeweils vier Kapitel, wobei die ersten drei Kapitel der Beschreibung des grundsätzlichen Rahmens dienen, während die jeweils letzten Kapitel die neuen Ergebnisse dieser Diplomarbeit enthalten.

Der erste Teil „Gravitation und zusätzliche Dimensionen“ beginnt mit einer Beschreibung der Allgemeinen Relativitätstheorie. Am Anfang steht eine historische Einleitung, da ein wahres Verständnis der Theorie wohl am besten in Bezug auf den historischen Zusammenhang erreicht werden kann. Die Darstellung muss sich zwangsläufig auf die grundlegenden Aussagen der Theorie beschränken, wobei zunächst eine kurze Einleitung in die bei der Formulierung der Theorie verwendete Mathematik gegeben wird. Im darauffolgenden Kapitel wird die Idee der Annahme zusätzlicher kompaktifizierter Dimensionen erläutert, welche auf Kaluza und Klein zurückgeht. Damit sind die Voraussetzungen geschaffen, um im vierten Kapitel eine effektive Quantenfeldtheorie der Gravitation unter Einbeziehung der zusätzlichen kompaktifizierten Dimensionen zu entwickeln, welche sich der Methode der Pfadintegralquantisierung bedient. Im letzten Kapitel des ersten Teiles soll dann schließlich die Konsequenz für einen Wechselwirkungsprozess der Teilchenphysik untersucht werden, nämlich die Produktion eines ZZ-Paares durch Vernichtung zweier Protonen. Ein solcher Vorgang vermittelt durch Gravitonen könnte am LHC relevant werden. Abhängig von der Zahl der zusätzlichen Dimensionen und dem Kompaktifizierungsradius und damit der modifizierten Planckmasse ergibt sich ein Beitrag zu dem Wirkungsquerschnitt für den genannten Prozess. Dieser wird mit dem Wert verglichen, der bei alleiniger Zugrundelegung des Standardmodells erwartet würde, was Rückschlüsse darauf zulässt, ob die Existenz zusätzlicher Dimensionen sich in einer signifikant erhöhten ZZ-Produktionsrate äußern könnte. Das Ergebnis der Unter-

suchung der ZZ-Produktionsrate im ADD Modell stellt das eigentlich neue wissenschaftliche Ergebnis des ersten Teiles dar und ist in [1] veröffentlicht. Natürlich handelt es sich bei der hier verwendeten effektive Beschreibungsweise der Gravitation um einen Versuch, die Gravitation in den Rahmen der bisherigen empirisch bestätigten Teilchenphysik zu integrieren, welche durch relativistische Quantenfeldtheorien beschrieben wird. Dies rechtfertigt den Titel der Arbeit „Betrachtungen jenseits des Standardmodells der Teilchenphysik“ auch in Bezug auf den ersten Teil. Es kann sich bei der hier verwendeten linearen Entwicklung des metrischen Feldes um die Metrik der flachen Minkowskiraumzeit a priori nur um eine Näherung handeln. Wichtiger aber ist, dass man es mit einer nichthintergrundunabhängigen Theorie zu tun hat. Damit wird sie der eigentlich konzeptionell wichtigsten Aussage der Allgemeinen Relativitätstheorie nicht ganz gerecht, die darin besteht, dass die Raumzeit und ihre Struktur an sich eine dynamische Entität darstellt, das Gravitationsfeld also identisch mit der Raumzeit selbst ist. Dennoch ist die Theorie durchaus adäquat in Bezug auf die Untersuchung der Konsequenzen der in der hier beschriebenen Weise zusätzlich eingeführten Dimensionen für die Teilchenphysik.

Das erste Kapitel des zweiten Teiles „Nichtkommutative Geometrie“ beinhaltet zunächst eine Darstellung des theoretischen Gebäudes von Eichtheorien. Diese führen die Bedeutung von Symmetrieprinzipien in der Teilchenphysik vor Augen, denen wohl grundsätzlich eine konstitutive Rolle bei der Beschreibung der Wirklichkeit zukommt. In Anschluss daran wird die elektroschwache Theorie und der damit verknüpfte Higgsmechanismus vorgestellt. Das folgende Kapitel gibt eine Einführung in die Grundidee der nichtkommutativen Geometrie, welche unter anderem die Definition eines Sternproduktes für die Multiplikation von Feldern zur Folge hat. Schließlich wird sich speziell der Formulierung von Eichfeldtheorien auf einer nichtkommutativen Raumzeit zugewendet, die das Konzept von sogenannten Seiberg-Witten-Abbildungen beinhaltet, welche die Theorie der nichtkommutativen Raumzeit auf eine Theorie mit kommutativer Raumzeit abbilden. Der letzte Teil ist einer neuen Untersuchung gewidmet, welche sich auf den Higgsmechanismus bezieht und rein theoretischer Natur ist. Es wird gezeigt, dass die spontane Symmetriebrechung auf der nichtkommutativen Raumzeit nach Abbildung auf die gewöhnlichen Felder zum gleichen Ergebnis führt wie die spontane Symmetriebrechung nach der Abbildung, wie sie gewöhnlich in Betracht gezogen wird.



# Teil I

## Gravitation und zusätzliche Dimensionen



# Kapitel 1

## Die Allgemeine Relativitätstheorie

### 1.1 Historische Einleitung

„General Relativity is the discovery that spacetime and the gravitational field are the same entity. What we call >spacetime< is itself a physical object, in many respects similar to the electromagnetic field.“ (Carlo Rovelli)

Gegen Ende des neunzehnten Jahrhunderts gab es zwei Bereiche in der theoretischen Physik, die jeweils in sich widerspruchsfrei waren und den ihnen entsprechenden Erfahrungsbereich angemessen beschreiben konnten. Es handelte sich um die klassische Mechanik und die Elektrodynamik. Die klassische Mechanik stellt den ersten Versuch einer allgemeinen und exakten Naturtheorie dar. Newton gelang es bekanntlich, alle mechanischen Erscheinungen, von der Planetenbewegung bis hin zum harmonischen Oszillator in eine allgemeine begriffliche Form zu bringen, die durch die bekannten Newtonschen Axiome ausgedrückt wird. Später wurde sie durch Lagrange und Hamilton in einer noch eleganteren Weise mathematisch formuliert. Die klassische Mechanik kennt, um es in der Sprache der Ontologie auszudrücken, vier basale Entitäten. Es handelt sich um Raum, Zeit, Körper und Kräfte. Raum und Zeit stellen so etwas wie eine starre Bühne dar, auf der sich das physikalische Geschehen abspielt, welche selbst jedoch nicht in das dynamische Geschehen miteinbezogen ist. Es sind die Körper, welche den Gegenstand einer dynamischen Beschreibung darstellen. Gemäß dem zweiten Newtonschen Axiom ist die Beschleunigung eines Körpers proportional zu der auf ihn einwirkenden Kraft. Damit ein physikalischer Vorgang eindeutig bestimmt ist, bedarf es neben den Anfangsbedingungen für die Geschwindigkeit und die Position des entsprechenden Körpers eines speziellen Kraftgesetzes, das eine Abhängigkeit der Kraft vom Raumzeitpunkt festlegt. Im Falle der Astronomie liefert dies das Newtonsche Gravitationsgesetz demgemäß zwischen zwei Kör-

pern eine Kraft proportional zum reziproken des Abstandsquadrates und dem Produkt der beiden Massen wirkt.

Es stellte sich jedoch heraus, dass die klassische Mechanik nicht in der Lage war, auch die im achtzehnten und neunzehnten Jahrhundert untersuchten elektromagnetischen Phänomene zu erklären. Den Schlüssel zu einer allgemeinen Theorie, die genauso wie die Newtonsche Theorie im Bereich der Mechanik alle Phänomene im Bereich der Elektrodynamik umfasste, lieferte die Einführung des völlig neuartigen Begriffs des Kraftfeldes durch Faraday. Faraday hatte die Idee, die in der klassischen Mechanik als starr vorausgesetzten Kräfte selbst einer inneren Dynamik zu unterwerfen. Schließlich gelang Maxwell aufbauend auf der konzeptionellen Revolution durch Faraday die exakte mathematische Formulierung der Elektrodynamik. Er entwickelte ein System von vier Gleichungen, welche die Dynamik der elektromagnetischen Kraftfelder vollständig beschreiben.

Nun entdeckte jedoch Lorentz, dass die Maxwell'schen Gleichungen nicht invariant unter der Transformationsgruppe der klassischen Mechanik, den Galileitransformationen, sondern invariant unter einer neuen Transformationsgruppe sind, den nach ihm benannten Lorentztransformationen. Diese haben die Eigenschaft, dass sie die Lichtgeschwindigkeit invariant lassen. Klassische Mechanik und Elektrodynamik sind also invariant unter unterschiedlichen Transformationsgruppen und damit unvereinbar. Daneben stand das Experiment von Michelson und Morley, das ebenfalls die Unabhängigkeit der Lichtgeschwindigkeit vom Bezugssystem des Beobachters nahelegte. Es war nun eine der großen Leistungen Einsteins, dass er erkannte, dass sich der Widerspruch zwischen klassischer Mechanik und Elektrodynamik durch Aufhebung der bisherigen Bedeutung des Begriffs der Gleichzeitigkeit aufheben ließ. Einstein relativierte die Begriffe des absoluten Raumes und der absoluten Zeit, was zur speziellen Relativitätstheorie und damit zur Vereinheitlichung von klassischer Mechanik und Elektrodynamik führte [2].

Die Revolution der speziellen Relativitätstheorie, welche erstmals auf konkret wissenschaftlichem Wege vor Augen führte, was in der Erkenntnistheorie schon lange vorher behauptet wurde, dass nämlich unsere grundlegenden Denkstrukturen und damit die Art wie wir die Welt wahrnehmen und denken zu unterscheiden sind von ihrer realen Beschaffenheit, hätte bereits ausgereicht, um Einstein eine entscheidende Rolle in der Geistesgeschichte der Menschheit zuzuordnen. Dieses Urteil behält seine Gültigkeit auch dann, wenn man einräumt, dass es andere Wissenschaftler wie Poincaré gab, die ähnliche Gedanken hatten. Tatsächlich war Einstein mit der neu erreichten begrifflichen Einheit jedoch noch nicht zufrieden. Er sah grundsätzlich zwei Probleme. Erstens trug die spezielle Relativitätstheorie noch nicht die Gleichberechtigung beliebiger Bezugssysteme sondern nur die aller Inertial-

systeme in sich. Zweitens war die Theorie der Gravitation in ihrer alten Form nicht mit der speziellen Relativitätstheorie vereinbar, da sie eine instantane Wirkung zwischen Massen voraussetzte, was natürlich dem Postulat widerspricht, dass die Lichtgeschwindigkeit eine obere Grenze für den Austausch von Information darstellt. Einstein versuchte also, die Gravitation in Analogie zur Elektrodynamik als Feldtheorie zu formulieren. Es war allerdings höchst bemerkenswert, dass im Falle der Gravitation die Größe, von welcher die Wechselwirkung des Körpers mit dem Feld abhängt, nämlich die schwere Masse, äquivalent ist zur trägen Masse, also einer Größe, welche allgemeine mechanische Eigenschaften eines Körpers bestimmt. Dies verhält sich also anders als im Fall der Elektrodynamik, wo der Kopplungsparameter, nämlich die Ladung, völlig unabhängig ist von der trägen Masse eines Körpers. Die Gleichheit des Kopplungsparameters der Gravitation mit der Größe, welche bestimmt, wie sehr ein Körper auf Kräfte reagiert, brachte Einstein schließlich auf die geniale Idee, dass bei der Gravitation die Raumzeit selbst das Wechselwirkungsfeld sein könnte. Diese erhielt dann selbst eine innere Dynamik und träte mit den anderen Gegenständen physikalischer Beschreibung in Wechselwirkung. Durch die Riemannsche Geometrie wurde die mathematische Sprache geliefert, um eine solche dynamische Raumzeit zu beschreiben. Der Gedanke, dass der physikalische Raum eine von der euklidischen Geometrie abweichende Struktur haben könnte, findet sich bereits bei Gauss, welcher Experimente anstellte, um genau dies herauszufinden, aber keine Abweichung von der euklidischen Geometrie feststellen konnte. Freilich geht die Einsteinsche Beschreibungsweise der Raumzeit noch viel weiter [3]. Die Allgemeine Relativitätstheorie stellt den Abschluss der klassischen Physik dar und ist wahrscheinlich der Gipfel begrifflich-konzeptionellen Denkens in der Geschichte der Naturwissenschaft überhaupt. In der folgenden Darstellung soll zunächst auf einige für die mathematische Formulierung der Allgemeinen Relativitätstheorie bedeutsame differentialgeometrische Aspekte eingegangen werden, ehe mit ihrer Hilfe eine kurze Beschreibung der Theorie selbst folgt. Natürlich kann im Rahmen dieser Arbeit nur auf die basalen Grundprinzipien eingegangen werden. Ausführlichere Darstellungen können beispielsweise in [4],[5] und [6] gefunden werden.

## 1.2 Mathematischer Formalismus

Für die folgende Betrachtung soll zunächst einmal in Erinnerung gerufen werden, dass man es bei der mathematischen Beschreibung physikalischer Vorgänge grundsätzlich mit Räumen zu tun hat. Diese müssen nicht mit dem physikalischen Anschauungsraum zu tun haben. Es kann sich auch um

rein abstrakte mathematische Räume handeln, die bestimmte Zusammenhänge in der Natur widerspiegeln sollen, wie etwa die Zustandsräume in der Quantenmechanik, welche eine Hilbertraumstruktur aufweisen. Hierbei ist es wichtig, dass die Struktur solcher Räume nicht a priori gegeben ist, sondern dass man diese Struktur durch Einführung bestimmter Konzepte zunächst definieren muss.

### 1.2.1 Differenzierbare Mannigfaltigkeiten

Am Anfang sei der Begriff der differenzierbaren Mannigfaltigkeit eingeführt, da er das mathematische Grundgerüst darstellt, auf dem alle folgenden Konstruktionen der Allgemeinen Relativitätstheorie aufbauen.

Es sei zunächst eine abstrakte Punktmenge  $M$  gegeben, welche die Struktur eines topologischen Raumes aufweise, was bedeutet, dass ein System offener Mengen definiert ist, welches den Axiomen einer Topologie genügt. Als Karte bezeichnet man eine bijektive Abbildung  $\phi$  einer offenen Teilmenge  $U$  aus  $M$  in eine offene Menge des  $\mathcal{R}^d$

$$\phi : U \rightarrow \mathcal{R}^d.$$

Durch eine solche Karte werden die einzelnen Punkte  $p$  aus  $U$  mit Koordinaten  $x^\alpha$  bezeichnet, die den Punkten im  $\mathcal{R}^d$  entsprechen. Die Karten fungieren also als Koordinatensysteme für die Mengen, auf denen sie definiert sind. Wenn man nun zwei verschiedene Karten  $\phi$  und  $\phi'$  betrachtet, die auf zwei verschiedenen Mengen  $U$  und  $U'$  definiert sind, die einander schneiden, so ist die Schnittmenge  $U \cap U'$  mit zwei Koordinatensystemen  $x^\alpha$  und  $x^{\alpha'}$  überdeckt. Diese müssen also zwangsläufig direkt miteinander verknüpft sein, was bedeutet, dass man die einen Koordinaten als Funktionen der anderen darstellen kann

$$x^{\alpha'} = y^{\alpha'}(x^\beta) \quad , \quad x^\alpha = y^\alpha(x^{\beta'}). \quad (1.1)$$

Als Atlas bezeichnet man eine Menge von Karten, welche den gesamten Raum  $M$  überdecken. Eine differenzierbare  $C^k$ -Mannigfaltigkeit ist nun eine Menge, auf der ein solcher Atlas definiert ist, wobei für die Karten, die der Atlas enthält, gelten muss, dass die Funktionen, welche auf der Schnittmenge zweier Karten die Koordinaten der einen Karte in die der anderen abbilden,  $k$  mal stetig differenzierbar sein müssen. Die Dimension der Mannigfaltigkeit ist durch die Anzahl der Koordinaten bestimmt, welche notwendig ist, um einen Punkt zu kennzeichnen, also die Dimension  $d$  des  $\mathcal{R}^d$ , in welchen die Karten die Punkte der Mannigfaltigkeit abbilden.

### 1.2.2 Tangentialräume und Tensorfelder

Um den Begriff des Tangentialvektors bzw. des Tangentialraumes einzuführen, kann man zunächst davon ausgehen, dass man es mit einer differenzierbaren  $d$ -dimensionalen Mannigfaltigkeit zu tun hat, auf der eine Funktion  $f$  definiert sei. In einer Umgebung eines Punktes  $p$  ist nun eine Karte definiert, welche es gestattet, den entsprechenden Punkt durch die  $d$  Koordinaten  $(x^1(p), \dots, x^d(p))$  zu kennzeichnen. Desweiteren bezeichne  $k$  eine Kurve auf der Mannigfaltigkeit, welche durch  $s$  parametrisiert sei. In der Umgebung des Punktes  $p$  können die Koordinaten der Punkte, welche die Kurve durchläuft, also in Abhängigkeit von  $s$  ausgedrückt werden. Für die Werte der Funktion  $f$  entlang der Kurve gilt also

$$f(s) = f(x^1(s), \dots, x^d(s)). \quad (1.2)$$

Es gelte  $k(s_p) = p$ . Man kann nun die Änderung der Funktion entlang der Kurve  $k$  im Punkt  $p$  betrachten, indem man sie dort nach dem Parameter  $s$  ableitet

$$\frac{df}{ds} \Big|_{s=s_p} = \frac{\partial f(x^1(s), \dots, x^d(s))}{\partial x^1} \frac{\partial x^1(s)}{\partial s} + \dots + \frac{\partial f(x^1(s), \dots, x^d(s))}{\partial x^d} \frac{\partial x^d(s)}{\partial s} \Big|_{s=s_p}. \quad (1.3)$$

Die Abbildung, welche der Funktion ihre Ableitung entlang einer Kurve zuordnet, bezeichnet man als Derivation. Man kann sie gewissermaßen durch den Operator

$$\frac{d}{ds} = \frac{\partial}{\partial x^1} \frac{\partial x^1(s)}{\partial s} + \dots + \frac{\partial}{\partial x^d} \frac{\partial x^d(s)}{\partial s} \quad (1.4)$$

darstellen. Da man solche Derivationen nun linear kombinieren kann und das Ergebnis wieder eine Derivation darstellt, bildet die Menge der Derivationen in einem Punkt  $p$  einen Vektorraum, den Tangentialvektorraum  $T_p$  an  $p$ , wobei jede einzelne Derivation einem Tangentialvektor repräsentiert, dessen Komponenten den Ableitungen der Koordinaten nach dem Parameter entsprechen  $(\frac{\partial x^1}{\partial s}, \dots, \frac{\partial x^d}{\partial s})$ . Die Menge der Linearformen  $\lambda$  auf einem Vektorraum  $V$ , also Abbildungen der Form

$$\lambda : V \rightarrow \mathcal{R} \quad \text{mit} \quad \lambda(av_1 + bv_2) = a\lambda(v_1) + b\lambda(v_2) \quad v_1, v_2 \text{ aus } V,$$

bilden den Dualraum. Im Falle eines Tangentialvektorraumes bezeichnet man den Dualraum als Kotangentialraum. Die Menge aller Tangentialvektorräume bzw. Kotangentialvektorräume bezeichnet man als das Tangentialbündel

bzw. Kotangentialbündel. Ein Tensor  $W$  ist eine Multilinearform, also eine Abbildung der folgenden Form

$$W : \underbrace{V^* \times \dots \times V^*}_{n\text{-mal}} \times \underbrace{V \times \dots \times V}_{m\text{-mal}} \rightarrow \mathcal{R},$$

wobei  $V^*$  den Dualraum eines Vektorraums  $V$  von Verschiebungsvektoren, also im Falle einer Mannigfaltigkeit den Kotangentialvektorraum zum Vektorraum  $V$  darstellt. Ein solcher Tensor wird als  $n$ -fach kontravariant und  $m$ -fach kovariant bezeichnet. Die Begriffe ko- und kontravariant rühren daher, dass sich die Komponenten bei einer Basistransformation gemäß oder umgekehrt zu den Basisvektoren transformieren. Im folgenden wird ein Tensor durch die Indizes beschrieben werden, welche die einzelnen Komponenten bezüglich einer Basis kennzeichnen, wobei  $n$  Indizes oben und  $m$  Indizes unten stehen. Eine Abbildung, welche jedem Punkt einer Mannigfaltigkeit einen Tensor zuordnet, bezeichnet man als Tensorfeld.

### 1.2.3 Affine Zusammenhänge

Als Parallelverschiebung von Vektoren wird eine Verschiebung bezeichnet, welche einen Vektor konstant lässt. In einem affinen Raum können Vektoren einfach von einem Punkt zu einem anderen verschoben werden, ohne dass eine besondere Vorschrift angegeben werden müsste, wie zwei Vektoren an unterschiedlichen Punkten miteinander zu vergleichen sind. Daher ist dort die Verschiebung von Vektoren auch grundsätzlich wegunabhängig. Dies ist jedoch anders im Falle gekrümmter Räume. Hier hat man es an jedem Raumpunkt mit einem lokalen Tangentialvektorraum zu tun und es muss eine Struktur definiert werden, die bestimmt, wie Vektoren an unterschiedlichen Raumpunkten miteinander verglichen werden müssen. Hierzu führt man eine kovariante Ableitung ein. Diese ordnet einem kontravarianten Vektor einen einfach ko- und kontravarianten Tensor zu und ist durch ihre Wirkung auf einen Satz von Basisvektoren  $e_\mu$  wie folgt bestimmt

$$\nabla_\mu e_\nu = \Gamma_{\mu\nu}^\rho e_\rho. \quad (1.5)$$

Hierbei bezeichnet man die  $\Gamma_{\mu\nu}^\rho$  als Zusammenhangkoeffizienten. Mit diesen kann man nun die Wirkung der kovarianten Ableitung auf einen kontravarianten Vektor mit den Komponenten  $X^\nu$  bezüglich der Basis  $e_\nu$  wie folgt ausdrücken

$$\nabla_\mu X^\nu = \partial_\mu X^\nu + \Gamma_{\mu\rho}^\nu X^\rho. \quad (1.6)$$

Für kovariante Vektoren mit den Komponenten  $X_\nu$  ergibt sich



$$\nabla_{\mu} X_{\nu} = \partial_{\mu} X_{\nu} - \Gamma_{\mu\nu}^{\rho} X^{\rho}. \quad (1.7)$$

Der Riemannsche Krümmungstensor ist durch den Kommutator zweier kovarianter Ableitungen angewandt auf einen Verschiebungsvektor wie folgt definiert

$$(\nabla_{\mu} \nabla_{\nu} - \nabla_{\nu} \nabla_{\mu}) X^{\sigma} = R_{\mu\nu\rho}^{\sigma} X^{\rho}. \quad (1.8)$$

Da die Nichtkommutativität der Parallelverschiebung von Vektoren die Krümmung eines Raumes beschreibt, ist der Riemannstensor ein Maß für jene Krümmung. Man kann natürlich unmittelbar erkennen, dass er eine Antisymmetrie bezüglich  $\mu$  und  $\nu$  aufweist

$$R_{\mu\nu\rho}^{\sigma} = -R_{\nu\mu\rho}^{\sigma}. \quad (1.9)$$

Desweiteren erfüllt er die zyklische Identität

$$R_{[\mu\nu\rho]}^{\sigma} = 0, \quad (1.10)$$

und die sogenannte Bianchiidentität

$$\nabla_{[\epsilon} R_{\mu\nu]\rho}^{\sigma} = 0. \quad (1.11)$$

Diese spielt in Bezug auf die Einsteinschen Feldgleichungen eine entscheidende Rolle. Wenn man (1.6) und (1.7) in (1.8) verwendet, kann man den Riemannstensor in Abhängigkeit der Zusammenhangskoeffizienten ausdrücken

$$R_{\mu\nu\rho}^{\sigma} = \partial_{\mu} \Gamma_{\nu\rho}^{\sigma} - \partial_{\nu} \Gamma_{\mu\rho}^{\sigma} + \Gamma_{\mu\epsilon}^{\sigma} \Gamma_{\nu\rho}^{\epsilon} - \Gamma_{\nu\epsilon}^{\sigma} \Gamma_{\mu\rho}^{\epsilon}. \quad (1.12)$$

Wichtig ist schließlich noch die Definition der Torsion. Die Torsion entspricht der Nichtkommutativität der kovarianten Ableitungen bezüglich ihrer Anwendung auf skalarwertige Funktionen  $f$ . In der Allgemeinen Relativitätstheorie werden ausschließlich torsionsfreie Zusammenhänge betrachtet, für die demnach gilt

$$\nabla_{\mu} \nabla_{\nu} f = \nabla_{\nu} \nabla_{\mu} f. \quad (1.13)$$

Die Zusammenhangskoeffizienten  $\Gamma_{\mu\nu}^{\rho}$  eines torsionsfreien Zusammenhangs sind symmetrisch bezüglich der unteren beiden Indizes. Durch Verwendung von (1.6) und (1.7) in (1.13) ergibt sich nämlich

$$\partial_{\mu} \partial_{\nu} f + \Gamma_{\mu\nu}^{\rho} \partial_{\rho} f = \partial_{\nu} \partial_{\mu} f + \Gamma_{\nu\mu}^{\rho} \partial_{\rho} f. \quad (1.14)$$

Die gewöhnlichen Ableitungen sind vertauschbar, womit man direkt

$$\Gamma_{\mu\nu}^{\rho} = \Gamma_{\nu\mu}^{\rho} \quad (1.15)$$

ablesen kann.

### 1.2.4 Riemannsche Mannigfaltigkeiten

Bisher wurden nur Mannigfaltigkeiten betrachtet, die mit einem affinen Zusammenhang ausgestattet waren. Auf solchen Mannigfaltigkeiten ist allerdings noch nicht zwangsläufig eine metrische Struktur definiert. Um Begriffen wie dem Abstand zweier Punkte oder der Orthogonalität zweier Tangentialvektoren einen Sinn zu verleihen, bedarf es der Einführung einer Metrik. Eine Metrik  $g$  in einem Vektorraum ist ein symmetrischer zweifach kovarianter Tensor. Er ordnet also einem Paar zweier kontravarianter Vektoren eine reelle Zahl zu. Zwei Vektoren mit Komponenten  $X^{\mu}$  und  $X^{\nu}$  werden orthogonal genannt, wenn gilt

$$g_{\mu\nu}X^{\mu}X^{\nu} = 0. \quad (1.16)$$

Ein metrisches Feld ist damit ein symmetrisches zweifach kovariantes Tensorfeld, das in jedem Punkt der Mannigfaltigkeit den entsprechenden Tangentialvektorraum mit einem inneren Produkt ausstattet. Mit der Auszeichnung eines solchen metrischen Feldes ist also die geometrische Struktur einer Mannigfaltigkeit vollkommen bestimmt. Die Metrik ordnet damit jedem Vektor  $X^{\mu}$  in direkter Weise einen dualen Vektor  $X_{\nu}$  zu

$$g_{\mu\nu}X^{\mu}X^{\nu} = X_{\nu}X^{\nu}. \quad (1.17)$$

Man bezeichnet eine solche Mannigfaltigkeit auch als Riemannsche Mannigfaltigkeit.

Es ist nun möglich, den affinen Zusammenhang, welcher verschiedene Tangentialvektorräume miteinander verbindet, mit Hilfe der Metrik zu definieren. Im Rahmen der Allgemeinen Relativitätstheorie ist insbesondere der torsionsfreie Zusammenhang von Bedeutung, welcher durch die Bedingung definiert ist, dass innere Produkte zwischen Vektoren bei Verschiebung konstant gehalten werden sollen, was einem Verschwinden der kovarianten Ableitung bei Anwendung auf den metrischen Tensor entspricht. Dieser Zusammenhang ist eindeutig bestimmt und heißt Levy-Civita-Zusammenhang. Wenn man nun die Zusammenhangskoeffizienten des Levy-Civita-Zusammenhangs bestimmen möchte, muss die Bedingung

$$\nabla_{\mu}g_{\rho\sigma} = 0 \quad (1.18)$$

entsprechend umformuliert werden. Durch Anwenden der kovarianten Ableitung auf jeden Index ergibt sich

$$\partial_\mu g_{\rho\sigma} - \Gamma_{\mu\rho}^\nu g_{\nu\sigma} - \Gamma_{\mu\sigma}^\nu g_{\rho\nu} = 0. \quad (1.19)$$

Zyklisches Vertauschen der Indizes führt auf zwei weitere Gleichungen

$$\begin{aligned} \partial_\mu g_{\rho\sigma} - \Gamma_{\mu\rho}^\nu g_{\nu\sigma} - \Gamma_{\mu\sigma}^\nu g_{\rho\nu} &= 0 \\ \partial_\rho g_{\sigma\mu} - \Gamma_{\rho\sigma}^\nu g_{\nu\mu} - \Gamma_{\rho\mu}^\nu g_{\sigma\nu} &= 0 \\ \partial_\sigma g_{\mu\rho} - \Gamma_{\sigma\mu}^\nu g_{\nu\rho} - \Gamma_{\sigma\rho}^\nu g_{\mu\nu} &= 0. \end{aligned} \quad (1.20)$$

Wenn man nun die zweite Gleichung zur ersten addiert und die zweite subtrahiert, so ergibt sich unter Verwendung der Symmetrieeigenschaft des metrischen Tensors sowie (1.15) folgende Gleichung

$$-2\Gamma_{\mu\rho}^\nu g_{\nu\sigma} + \partial_\mu g_{\rho\sigma} + \partial_\rho g_{\sigma\mu} - \partial_\sigma g_{\mu\rho} = 0. \quad (1.21)$$

Durch umstellen erhält man

$$\Gamma_{\mu\rho}^\nu = \frac{1}{2} g^{\nu\sigma} (\partial_\mu g_{\rho\sigma} + \partial_\rho g_{\sigma\mu} - \partial_\sigma g_{\mu\rho}). \quad (1.22)$$

In diesem speziellen Falle bezeichnet man die Zusammenhangskoeffizienten als Christoffelsymbole. Wenn man den Kommutator der kovarianten Ableitung des Levy-Civita-Zusammenhangs auf die Metrik anwendet, so ergibt sich

$$(\nabla_\mu \nabla_\nu - \nabla_\nu \nabla_\mu) g^{\rho\sigma} = R_{\mu\nu\lambda}{}^\rho g^{\lambda\sigma} + R_{\mu\nu\lambda}{}^\sigma g^{\rho\lambda} = R_{\mu\nu}{}^{\sigma\rho} + R_{\mu\nu}{}^{\rho\sigma} = 0. \quad (1.23)$$

Das bedeutet, dass der Riemanntensor in diesem Fall antisymmetrisch bezüglich der hinteren beiden Indizes ist

$$R_{\mu\nu}{}^{\sigma\rho} = -R_{\mu\nu}{}^{\rho\sigma}. \quad (1.24)$$

### 1.3 Physikalische Prinzipien

Das gesamte theoretische Gebäude der Allgemeinen Relativitätstheorie geht aus dem Äquivalenzprinzip hervor, dass ausgehend von der bereits in der Einleitung erwähnten Gleichheit von schwerer und träger Masse, die Unmöglichkeit der Unterscheidung eines beschleunigten Bezugssystems von der Wirkung eines Gravitationsfeldes beinhaltet. Dies bedeutet, dass man die Wirkung eines Gravitationsfeldes als Eigenschaft der Raumzeit selbst deuten

kann, die eine in sich gekrümmte Struktur aufweist, welche sich im Rahmen der Riemannschen Geometrie dann in einer von der euklidischen abweichenden Metrik äußert. Der oben entwickelte Formalismus wird also gewissermaßen auf die reale Raumzeit übertragen.

### 1.3.1 Die Postulate der Allgemeinen Relativitätstheorie

Die Allgemeine Relativitätstheorie basiert auf zwei Grundpostulaten [3].

1) Die Raumzeit wird durch eine vierdimensionale Riemannsche Mannigfaltigkeit beschrieben, auf der demnach eine Metrik ausgezeichnet ist. Es handelt sich um eine Lorentzmetrik, die grundsätzlich durch eine geeignete Koordinatentransformation lokal in die Gestalt  $\eta_{\mu\nu} = \text{diag}(1, -1, -1, -1)$  gebracht werden kann. Die genaue Geometrie der Raumzeit wird durch die Materieverteilung bestimmt, wobei dieser Zusammenhang in mathematisch exakter Weise durch die Einsteinschen Feldgleichungen ausgedrückt wird

$$G_{\mu\nu} = -8\pi GT_{\mu\nu}. \quad (1.25)$$

2) Die Bewegung von kräftefreien Körpern erfolgt auf der kürzesten Linie durch die Raumzeit. Eine solche wird im verallgemeinerten Fall gekrümmter Räume als Geodäte bezeichnet. Weltlinien von Körpern gehorchen also der Geodätengleichung

$$\ddot{X}^\mu + \Gamma_{\rho\sigma}^\mu \dot{X}^\rho \dot{X}^\sigma = 0, \quad (1.26)$$

wobei die  $\Gamma_{\rho\sigma}^\mu$  die Christoffelsymbole bezeichnen.

### 1.3.2 Die Einsteinschen Feldgleichungen

Bei der Suche nach den Feldgleichungen, welche die Raumzeitstruktur bestimmen, wurde Einstein durch das Analogon aus der Elektrodynamik geleitet. Hier koppelt das elektromagnetische Feld an den elektrischen Viererstrom  $J^\nu$ , welcher die Ladungs- und Ladungsstromdichte enthält. Dieser Zusammenhang wird durch die inhomogenen Maxwell'schen Gleichungen ausgedrückt, die in kovarianter Formulierung in folgender Gleichung enthalten sind

$$\partial_\mu F^{\mu\nu} = -J^\nu. \quad (1.27)$$

Das Gravitationsfeld, also die Struktur der Raumzeit, kann aufgrund des klassischen Grenzfalles, der sich im Newtonschen Gravitationsgesetz ausdrückt,

nur durch die Materieverteilung definiert sein, genauer gesagt die Energieverteilung. Diese aber ist im Rahmen der Relativitätstheorie mit dem Impuls zum Viererimpuls verbunden. Es ist nun der Energie-Impuls-Tensor, bezeichnet als  $T_{\mu\nu}$ , welcher analog der Viererstromdichte, welche die Ladungsverteilung bestimmt, die Energie- und Impulsverteilung der Materie beschreibt. Da die Energie-Impuls-Verteilung die Struktur der Raumzeit festlegen soll, muss es einen direkten Zusammenhang zu den Krümmungsgrößen der Raumzeit geben. Hierbei ist nun folgendes wichtig. Aufgrund des Energie- und Impulserhaltungssatzes muss der Energie-Impuls-Tensor divergenzfrei sein. Dies bedeutet nichts anderes als

$$\nabla^\mu T_{\mu\nu} = 0. \quad (1.28)$$

Daneben gibt es nur einen divergenzfreien Tensor zweiter Stufe, welcher sich aus den Krümmungsgrößen konstruieren lässt. Dieser kann unter Verwendung der Bianchiidentität (1.11) gefunden werden. Aus dieser ergibt sich mit (1.9)

$$\nabla_\epsilon R_{\mu\nu\rho}{}^\sigma + \nabla_\mu R_{\nu\epsilon\rho}{}^\sigma + \nabla_\nu R_{\epsilon\mu\rho}{}^\sigma = 0. \quad (1.29)$$

Durch erneute Anwendung von (1.9) im zweiten Ausdruck und Kontraktion der Indizes  $\nu$  und  $\sigma$  erhält man

$$\nabla_\epsilon R_{\mu\rho} - \nabla_\mu R_{\epsilon\rho} + \nabla_\nu R_{\epsilon\mu\rho}{}^\nu = 0. \quad (1.30)$$

Wenn man nun im letzten Term ein weiteres Mal (1.9) sowie (1.24) benutzt und anschließend  $\rho$  mit  $\epsilon$  kontrahiert, so ergibt sich

$$\nabla^\rho R_{\mu\rho} - \nabla_\mu R + \nabla^\nu R_{\mu\nu}. \quad (1.31)$$

Weiteres Umformen führt schließlich auf

$$\nabla^\nu (R_{\mu\nu} - \frac{1}{2} R g_{\mu\nu}) = 0. \quad (1.32)$$

Der Tensor

$$G_{\mu\nu} = R_{\mu\nu} - \frac{1}{2} R g_{\mu\nu} \quad (1.33)$$

ist also divergenzfrei und wird als Einsteintensor bezeichnet. Der darin auftauchende Tensor  $R_{\mu\nu} = R_{\mu\lambda\nu}{}^\lambda$  heißt Riccitenor und die Größe  $R = g^{\mu\nu} R_{\mu\nu}$  wird als Ricciskalar bezeichnet. Aufgrund der Eigenschaft (1.32) vermutete Einstein nun den Zusammenhang

$$G_{\mu\nu} = \kappa T_{\mu\nu}. \quad (1.34)$$

Dies ist die Einsteinsche Feldgleichung, wobei der Proportionalitätsfaktor  $\kappa$  durch Analogieschlüsse zum klassischen Grenzfall, den die Einsteinschen Feldgleichungen natürlich implizit enthalten müssen, bestimmt werden kann. Der Proportionalitätsfaktor hat jedoch keine prinzipielle Bedeutung und deshalb soll er hier einfach nur angegeben werden, womit man schließlich

$$G_{\mu\nu} = -8\pi G T_{\mu\nu} \quad (1.35)$$

erhält.

### 1.3.3 Bewegung von Körpern auf der Raumzeit

Die kürzeste Linie durch die Raumzeit zwischen zwei Punkten ist dadurch definiert, dass sich ein Weltlinientangentialvektor entlang der gesamten Kurve nicht ändert, dass er also Parallelverschoben wird. Dies bedeutet, dass die kovariante Ableitung in Richtung der Kurve also des Tangentialvektors selbst angewandt auf diesen Vektor an jeder Stelle der Kurve gleich null ist. Ein Tangentialvektor ist durch die Ableitung der Koordinaten  $X^\mu$ , die zu einer Karte an einem bestimmten Punkt gehören, nach dem Kurvenparameter  $s$  charakterisiert, welche hier wie folgt notiert werden soll  $\dot{X}^\mu = \frac{\partial X^\mu}{\partial s}$ . Da die Ableitung in Richtung des Tangentialvektors von Interesse ist, werden die Ableitungen in Richtung der die Karte an einer bestimmten Stelle charakterisierenden Koordinaten mit den Komponenten des Tangentialvektors in eben diesen Koordinaten gewichtet. Dies bedeutet, dass sich die Forderung des Verschwindens der kovarianten Ableitung des Tangentialvektors entlang der Kurve

$$\nabla_s \dot{X}^\nu = 0 \quad (1.36)$$

wie folgt ausdrücken lässt

$$\dot{X}^\nu \nabla_\nu \dot{X}^\mu = \dot{X}^\nu \partial_\nu \dot{X}^\mu + \dot{X}^\nu \Gamma_{\nu\rho}^\mu \dot{X}^\rho = \ddot{X}^\mu + \Gamma_{\nu\rho}^\mu \dot{X}^\nu \dot{X}^\rho = 0. \quad (1.37)$$

Dies ist aber die Geodätengleichung, welche festlegt, wie sich der Tangentialvektor der Weltlinie eines Körpers und damit die Bewegung des Körpers bei vorgegebener Raumzeitstruktur verhält. Es handelt sich hierbei um eine Verallgemeinerung des Galileischen Trägheitsprinzips für Räume mit beliebiger Geometrie.

# Kapitel 2

## Die Einführung zusätzlicher Dimensionen

Die Allgemeine Relativitätstheorie in der beschriebenen Form hatte zwar die Gravitation mit der speziellen Relativitätstheorie in einer einheitlichen Theorie formuliert. Dennoch stellte auch sie, selbst bei Beschränkung auf den Rahmen der klassischen Physik, noch keine völlig einheitliche Naturbeschreibung dar, denn die Elektromagnetischen Felder blieben zur geometrischen Beschreibungsweise des Gravitationsfeldes wesensfremd. Darüber hinaus enthält die Einsteinsche Feldgleichung auf der rechten Seite den Energie-Impuls-Tensor, dessen spezielle Gestalt aus einer anderen Theorie übernommen werden muss, während die das Gravitationsfeld beschreibenden Größen auf der linken Seite rein geometrischer Natur sind. Einstein strebte nun eine Beschreibungsweise an, bei der auch die Materie letztlich auf Geometrie zurückgeführt wird.

### 2.1 Kaluza-Klein-Theorie

Eine Erweiterung der Allgemeinen Relativitätstheorie in dieser Richtung entwickelte der Mathematiker Theodor Kaluza [7]. Seine Theorie beinhaltete unter Einbeziehung einer fünften Dimension auch den Elektromagnetismus, der damit also auch einer geometrischen Beschreibung zugänglich gemacht wurde. Die Tatsache, dass die fünfte räumliche Dimension nicht direkt in Erscheinung tritt, kann durch den Ansatz Oskar Kleins auf elegante Art und Weise erklärt werden, welcher die Kaluzasche Theorie dahingehend modifizierte, dass er die zusätzliche Dimension kompaktifizierte [8].

### 2.1.1 Die Struktur der Raumzeit nach Kaluza und Klein

Es wird also davon ausgegangen, dass der Raum neben den vier Dimensionen der gewöhnlichen Raumzeit, die mit griechischen Indizes bezeichnet seien, welche von 0 bis 3 laufen, noch eine weitere Dimension  $x^4$  enthält, die in der Weise kompaktifiziert ist, dass sie periodisch unter folgender Transformation ist

$$x^4 \rightarrow x^4 + 2\pi R, \quad (2.1)$$

was also der Kompaktifizierung zu einem Kreis entspricht. Die Metrik der vollständigen Raumzeit  $g_{MN}$  unter Einbeziehung der kompaktifizierten Dimension besteht also aus den Komponenten, die sich auf die gewöhnliche Raumzeit beziehen, den Komponenten, deren einer Index sich auf die fünfte Raumzeitdimension bezieht und der Komponente, deren beide Indizes sich auf die kompaktifizierte Komponente beziehen. Es wird davon ausgegangen, dass die Metrik nur von den nichtkompaktifizierten Koordinaten abhängt. Der folgende Ansatz für den metrischen Tensor

$$g_{MN} = \begin{pmatrix} g_{\mu\nu} + g_{44}A_\mu A_\nu & 2g_{44}A_\mu \\ 2g_{44}A_\mu & g_{44} \end{pmatrix} \quad (2.2)$$

und damit für ein infinitesimales Linienelement

$$ds^2 = g_{MN}dx^M dx^N = g_{\mu\nu}dx^\mu dx^\nu + g_{44}(dx^4 + A_\mu dx^\mu)^2 \quad (2.3)$$

ist invariant unter Transformationen der Form

$$x^d \rightarrow x^d + \lambda(x^\mu) \quad , \quad A_\mu \rightarrow A_\mu - \partial_\mu \lambda. \quad (2.4)$$

Dies entspricht also der Form nach einer Eichtransformation des Elektromagnetischen Feldes. Damit lässt sich der Vierervektor  $A_\mu$  mit dem Elektromagnetischen Potential identifizieren. Tatsächlich ergeben sich aus diesem Ansatz die Maxwell'schen Gleichungen. Die Herleitung, aus der dies hervorgeht, sowie eine Darstellung des Kaluza-Klein-Formalismus im Allgemeinen findet sich in [9].

### 2.1.2 Generierung von Massen

Es soll nun ein skalares Feld auf einer solchen fünfdimensionalen Raumzeit aufgespalten werden in einen Anteil, welcher die Abhängigkeit von der vierdimensionalen Untermannigfaltigkeit der normalen Raumzeit ausdrückt, und eine Fourierentwicklung nach der kompaktifizierten Koordinate, deren Anregungen natürlich aufgrund der Periodizität der Koordinate gequantelt sind



$$\Phi_n(x^M) = \sum_{n=-\infty}^{\infty} \Phi(x^\mu) \exp\left(\frac{inx^4}{R}\right). \quad (2.5)$$

Bei einem masselosen Skalarfeld, dass der Gleichung  $\partial_M \partial^M \phi_n(x^M) = 0$  genügt, ergibt sich durch Aufspaltung des Operators  $\partial_M \partial^M$  in den d'Alembertoperator auf der vierdimensionalen Raumzeit und die zweite Ableitung nach der kompaktifizierten Koordinate

$$\partial_M \partial^M = \partial_\mu \partial^\mu + \partial_4 \partial^4 \quad (2.6)$$

und anschließender Anwendung von  $\partial_4 \partial^4$  die folgende Gleichung

$$\partial_\mu \partial^\mu \Phi_n(x^\mu) = \frac{n^2}{R^2} \Phi_n(x^\mu), \quad (2.7)$$

also der Form nach eine Klein-Gordon-Gleichung mit einem Massenterm  $\frac{n^2}{R^2}$ . Das Feld  $\Phi_n$  erhält also eine Masse, die dem Quadrat der Schwingungszahl der Anregung in der kompaktifizierten Dimension proportional ist. Auf die gleiche Weise erhalten im nächsten Kapitel Gravitonen eine Masse.

## 2.2 Das ADD-Modell

### 2.2.1 Die Grundidee

In einer anderen Weise werden im Rahmen des in jüngerer Zeit entwickelten Randall-Sundrum-Modells [10],[11] und dem dazu verwandten ADD-Modell [12],[13],[14] zusätzliche Dimensionen eingeführt. Hier geht man davon aus, dass die üblichen Materiefelder auf einer 3+1-dimensionalen Untermannigfaltigkeit eines höherdimensionalen Raumes leben, der dem üblichen Raum entspricht und im Falle des Randall-Sundrum-Modells eine zusätzliche und im Rahmen des ADD-Modells eine zunächst nicht festgelegte Anzahl an zusätzlichen Dimensionen enthält, die wie in der Theorie von Kaluza und Klein auf eine bestimmte Art und Weise kompaktifiziert sind. Im Gegensatz zu allen anderen Feldern ist das Gravitationsfeld jedoch nicht auf die Untermannigfaltigkeit des üblichen Raumes beschränkt. Dies könnte eine mögliche Lösung des Hierarchieproblems liefern, welches in der Nichterklärbarkeit der unglaublichen Schwäche der Gravitation im Vergleich zu allen anderen Wechselwirkungen besteht. Aus dem Newtonschen Gravitationsgesetz ergibt sich eine neue Größe, eine D-dimensionale Planckmasse  $M_D$ , die in folgender Relation zur gewöhnlichen Planckmasse  $M_P$  steht

$$M_P^2 = cM_D^{\delta+2}R^\delta, \quad c = \text{const}, \quad (2.8)$$

wobei  $\delta$  die Zahl der zusätzlichen Dimensionen und  $R$  den Kompaktifizierungsradius beschreibt. Bei der Voraussetzung, dass die Gravitation im Falle der Existenz zusätzlicher Dimensionen nicht auf die übliche 3+1-dimensionale Raumzeit beschränkt ist, handelt es sich um eine vollkommen natürliche Annahme. Wenn man die Gravitation nämlich, wie das in der Allgemeinen Relativitätstheorie getan wird, als geometrische Eigenschaft der Raumzeit selbst deutet, so bedeutet die Annahme, dass die Gravitation auch auf die zusätzlichen Dimensionen ausgedehnt ist, nichts anderes, als dass deren Geometrie ebenfalls einer gewissen Dynamik unterworfen ist.

Es wird also von einer  $D$ -dimensionalen Raumzeit ausgegangen. Ein beliebiger Punkt einer solchen Raumzeit wird durch ein  $D$ -Tupel an Koordinaten  $z = (z_1, \dots, z_D)$  beschrieben. Alle zu den 3+1 Dimensionen der gewöhnlichen Raumzeit zusätzlichen Dimensionen sollen nun torusförmig kompaktifiziert werden. Das  $D$ -Tupel an Koordinaten wird also aufgespalten in die Koordinaten, welche die Untermannigfaltigkeit der gewöhnlichen Raumzeit beschreibt, und jene der zusätzlichen Dimensionen

$$z = (x_0, \mathbf{x}, y_1, \dots, y_\delta), \quad \delta = D - 4, \quad (2.9)$$

wobei für die Koordinaten der zusätzlichen Dimensionen die gleiche Periodizität wie im Falle der Theorie von Kaluza und Klein gilt

$$y_j \rightarrow y_j + 2\pi R \quad , \quad j = 1, \dots, \delta. \quad (2.10)$$

Dies entspricht der Kompaktifizierung zu einem  $\delta$ -dimensionalen Torus, dessen Volumen durch  $V_\delta = (2\pi R)^\delta$  gegeben ist. Damit gilt für die Relation zwischen  $M_P$  und  $M_D$

$$M_P^2 = 8\pi R^\delta M_D^{2+\delta}. \quad (2.11)$$

### 2.2.2 Metrische Struktur und Materieverteilung

Die metrische Struktur des Raumes kann näherungsweise durch die im letzten Kapitel beschriebenen Einsteinschen Feldgleichungen erweitert auf  $D$  Dimensionen beschrieben werden

$$G_{MN} = -\frac{T_{MN}}{M_D^{2+\delta}}, \quad (2.12)$$

wobei  $\bar{M}_D = (2\pi)^{-\frac{6}{2+\delta}} M_D$ . Damit ist der metrische Tensor  $g_{MN}$  mit  $M, N = 0, \dots, D$  bestimmt. Interessant ist jedoch nun der Zusammenhang der Metrik des höherdimensionalen Raumes zur Metrik der 3+1-dimensionalen Untermannigfaltigkeit. Für ein infinitesimales Linienelement gilt

$$\begin{aligned} ds^2 &= G_{MN}(Y(x)) dY^M dY^N \\ &= G_{MN}(Y(x)) \frac{\partial Y^M}{\partial x^\mu} dx^\mu \frac{\partial Y^N}{\partial x^\nu} dx^\nu. \end{aligned} \quad (2.13)$$

Wenn man aber nun berücksichtigt, dass das Linienelement gleichzeitig durch  $ds^2 = g_{\mu\nu} dx^\mu dx^\nu$  beschrieben werden kann, bedeutet das für die Metrik  $g_{\mu\nu}(x)$  der in den höherdimensionalen Raum eingebetteten gewöhnlichen Raumzeit

$$g_{\mu\nu} = G_{MN}(Y(x)) \partial_\mu Y^M \partial_\nu Y^N. \quad (2.14)$$

Wie ist aber nun der die Materieverteilung bestimmende Energie-Impuls-Tensor zu beschreiben? Wenn davon ausgegangen wird, dass die Materie- und Wechselwirkungsfelder auf der 3+1-dimensionalen Untermannigfaltigkeit leben und man das Gravitationsfeld und damit seine Selbstenergie als so schwach annimmt, dass sie im Vergleich zu der Energie der übrigen Felder vernachlässigt werden kann, so muss auch der Energie-Impuls-Tensor auf die gewöhnliche Raumzeit beschränkt sein. Dies drückt sich mathematisch in einer Deltafunktion bezüglich der zusätzlichen Dimensionen aus. Der Energie-Impuls-Tensor der höherdimensionalen Raumzeit besitzt also folgende Form

$$T_{MN}(z) = \eta_M^\mu \eta_N^\nu T_{\mu\nu}(x) \delta(y). \quad (2.15)$$

Die Formulierung von Feldtheorien auf einer Raumzeit der beschriebenen Struktur wird in [18] gegeben.



## Kapitel 3

# Eine Quantenfeldtheorie der Gravitation

In diesem Kapitel soll es nun um die Formulierung der Gravitation als Quantenfeldtheorie unter Berücksichtigung der zusätzlichen kompaktifizierten Dimensionen gehen. Grundsätzlich besteht natürlich wie im klassischen Falle auch hier die Formulierung aus zwei Teilbereichen. Einerseits muss die Art und Weise festgelegt werden, wie die quantentheoretisch beschriebenen Materiefelder an das Gravitationsfeld koppeln und andererseits muss das Gravitationsfeld selbst quantentheoretisch beschrieben werden. Bezüglich des ersten Teilproblems gibt es eine unumstrittene Beschreibungsmethode, welche wie im Falle der anderen Wechselwirkungen auf ein Eichprinzip zurückgeführt werden kann. Im Gegensatz zu den anderen Wechselwirkungen, bei denen Invarianz unter lokalen Transformationen bezüglich innerer Symmetriegruppen gefordert wird, handelt es sich hierbei um die Forderung lokaler Invarianz unter Lorentztransformationen. Im Hinblick auf eine Vereinheitlichung mit den anderen Wechselwirkungen ist es sehr bemerkenswert, dass eine solche eichtheoretische Formulierung auch im Falle der Gravitation möglich ist. Dies ist ein wichtiges Bindeglied zu den übrigen Wechselwirkungen.

Die quantentheoretische Beschreibungsweise des Gravitationsfeldes selbst ist jedoch das eigentlich entscheidende Problem. Die hier verwendete Theorie geht von einer Entwicklung des metrischen Feldes um die Minkowskimetrik in linearer Näherung aus, welche dann in die den Einsteinschen Feldgleichungen korrespondierende Lagrangedichte eingesetzt wird. Ebenso wie bei der Quantisierung von üblichen Eichtheorien wird die Methode der Pfadintegralquantisierung verwendet. Diese von Feynman eingeführte quantenfeldtheoretische Beschreibungsweise führt direkt von der Lagrangedichte auf die Propagatoren. Es muss natürlich nicht erwähnt werden, dass es sich hierbei nur um eine effektive Theorie handelt, die in keiner Weise den Anspruch hat, die Gravi-

tation auf fundamentale Weise quantentheoretisch zu beschreiben. Dies ist wie bereits in der Einleitung erwähnt schon aufgrund der fehlenden Hintergrundunabhängigkeit ausgeschlossen, welche durch die Entwicklung um die flache Minkowskimetrik von vorneherein nicht gegeben ist.

## 3.1 Eichtheorie der Gravitation

Gemäß den anderen fundamentalen Wechselwirkungen kann wie bereits erwähnt auch die Gravitation als Eichtheorie beschrieben werden. Man geht also ebenfalls zunächst von einer freien Materiefeldgleichung aus, deren Kopplung an das Gravitationsfeld dann durch eine Symmetrieforderung bestimmt wird. Im Gegensatz zu der bei anderen Wechselwirkungen geforderten Invarianz unter lokalen Transformationen bezüglich innerer Symmetrien fordert man im Falle der Gravitation Invarianz unter lokalen Lorentztransformationen.

### 3.1.1 Lokale Lorentzinvarianz und Vierbein

Um das Verhalten von Fermionen in einem Gravitationsfeld eichtheoretisch zu beschreiben, muss zunächst ein neuer mathematischer Begriff eingeführt werden. Es handelt sich um das Vierbein bzw. im Falle zusätzlicher Dimensionen um das Vielbein. Hierzu muss man sich das (schwache) Äquivalenzprinzip in Erinnerung rufen, demgemäß ein beliebiges Gravitationsfeld durch Wahl geeigneter Koordinaten zum Verschwinden gebracht werden kann. In dem entsprechenden Koordinatensystem gilt also

$$g_{mn} = \eta_{mn}. \quad (3.1)$$

Das Vierbein transformiert nun beliebige globale Koordinaten  $x^\mu$  in diejenigen lokalen Koordinaten  $y^m$ , in welchen die Krümmung verschwindet. Das bedeutet

$$x^m = e_\mu^m y^\mu \quad , \quad \eta_{mn} = e_m^\mu e_n^\nu \eta_{\mu\nu}. \quad (3.2)$$

Damit stellt das Vierbeinfeld eine vollständige zum metrischen Feld äquivalente Beschreibungsweise des Gravitationsfeldes dar. Man geht also von der freien Lagrangedichte des Diracfeldes aus

$$\mathcal{L} = \bar{\Psi}(i\gamma^\mu \partial_\mu - m)\Psi. \quad (3.3)$$

Nun wird Invarianz unter lokalen Lorentztransformationen

$$\psi \rightarrow U(x)\Psi \quad , \quad \partial_\mu \rightarrow \Lambda_\mu^\nu(x)\partial_\nu, \quad (3.4)$$

gefordert. Da es sich bei  $\Psi$  um ein Spinorfeld handelt, wird die Transformation durch die Generatoren der Lorentzgruppe in Diracspinordarstellung  $\Sigma_{mn} = \frac{i}{4}[\gamma_m, \gamma_n]$  vermittelt. Durch die Einführung einer kovarianten Ableitung der folgenden Form

$$D_m = e_m^\mu (\partial_\mu + i\omega_\mu^{mn}\Sigma_{mn}), \quad (3.5)$$

wobei die Zusammenhangskoeffizienten mit dem Vierbein in folgender Beziehung stehen

$$\omega_\mu^{mn} = 2e^{\nu[m}\partial_{[\mu}e_{\nu]}^n] + e_{\mu p}e^{\nu m}e^{\sigma n}\partial_{[\sigma}e_{\nu]}^p, \quad (3.6)$$

kann man nun eine unter lokalen Lorentztransformationen invariante Lagrangedichte erhalten

$$\mathcal{L} = \bar{\Psi}(i\gamma^\mu D_\mu - m)\Psi. \quad (3.7)$$

Eine ausführlichere Beschreibung der Idee von Eichtheorien im Allgemeinen ist in Kapitel 5 zu finden.

### 3.1.2 Wirkungen von Feldern im Gravitationsfeld

Wenn man nun die zur Lagrangedichte gehörige Wirkung formulieren möchte, so muss man beachten, dass für ein infinitesimales Volumenelement  $dV$  in einem Raum mit der Metrik  $g_{\mu\nu}$  gilt

$$dV = \epsilon_{\mu\nu\rho\sigma}dx^\mu dx^\nu dx^\rho dx^\sigma, \quad (3.8)$$

was zu folgendem Volumen eines Raumzeitbereiches  $\omega$  führt

$$V = \int_\omega \sqrt{-\det(g_{\mu\nu})}dx^1 dx^2 dx^3 dx^4 = \int_\omega \sqrt{-\det(g_{\mu\nu})}d^4x. \quad (3.9)$$

Dies bedeutet, dass das Volumenelement in den lokalen Koordinaten, die zu einer flachen Metrik führen, mit den globalen Koordinaten in folgender Beziehung steht

$$d^4y = \sqrt{-g}d^4x, \quad (3.10)$$

wodurch sich die folgende Wirkung ergibt

$$S_{Fermion} = \int d^4x \sqrt{-g} \{ \bar{\Psi}(\gamma^m e_m^\mu (\partial_\mu + i\omega_\mu^{mn}\Sigma_{mn}) - m)\Psi \}. \quad (3.11)$$

Hierbei steht  $g$  für  $\det(g_{\mu\nu})$ . Für weitere Aspekte bezüglich der eichtheoretischen Formulierung der Gravitation und des Vierbeinormalismus sei auf [15],[16] und [17] verwiesen. Die Formulierung der Wirkung von Bosonen und üblichen Eichfeldern ist bei weitem unproblematischer, da hier der metrische Tensor der Minkowskiraumzeit explizit auftaucht und durch den allgemeinen metrischen Tensor einer gekrümmten Raumzeit ersetzt wird, was zu den folgenden Wirkungen führt. Für ein Boson ergibt sich

$$S_{Boson} = \int d^4x \sqrt{-g} \{g^{\mu\nu} D_\mu \Phi D_\nu \Phi - V(\Phi)\}, \quad (3.12)$$

wobei die kovarianten Ableitungen sich hier auf die üblichen Eichfelder beziehen. Die kovariante Ableitung in Bezug auf das Gravitationsfeld, also die Raumzeit, entspricht bei einem Skalarfeld natürlich der einfachen Ableitung. Die Wirkung der Eichfelder sieht wie folgt aus

$$S_{Eichfeld} = \int d^4x \left\{ -\frac{g^{\mu\rho} g^{\nu\sigma}}{4} F_{\rho\sigma} F_{\mu\nu} \right\}. \quad (3.13)$$

## 3.2 Die Methode der Pfadintegralquantisierung

Um das Gravitationsfeld selbst im Rahmen einer Quantenfeldtheorie zu beschreiben und einen Propagator herzuleiten, soll zunächst eine kurze Beschreibung der Methode der Pfadintegralquantisierung gegeben werden, wie sie in [19] gefunden werden kann. Feynman wurde bei der Suche nach einer quantenmechanischen Beschreibungsweise, welche vom Prinzip der kleinsten Wirkung ausgeht auf die Möglichkeit geführt, Propagatoren direkt aus der Lagrangedichte herzuleiten [20]. Ein Vorteil dieser Beschreibungsweise ist die Tatsache, dass sie explizit kovariant ist.

### 3.2.1 Allgemeine Formulierung

Gegeben sei ein quantenmechanisches System, das durch einen Satz kommutierender hermitescher Operatoren  $Q_a$  vollständig beschrieben sei, wobei die kanonisch konjugierten Operatoren mit  $P_a$  bezeichnet seien und durch die Vertauschungsrelationen der Heisenbergalgebra definiert sind

$$[Q_a, P_b] = i\delta_{ab} \quad , \quad [Q_a, Q_b] = [P_a, P_b] = 0. \quad (3.14)$$

$|q\rangle$  sei Eigenzustand zu allen Operatoren  $Q_a$  und die zeitliche Entwicklung werde durch den Hamiltonoperator  $H$  beschrieben. Die Wahrscheinlichkeit ein Teilchen zur Zeit  $t'$  im Eigenzustand  $|q'\rangle$  zu finden, wenn es sich zum



Zeitpunkt  $t$  im Eigenzustand  $|q\rangle$  befunden hat, kann im Rahmen des Feynmanschen Pfadintegralformalismus wie folgt ausgedrückt werden

$$\langle q', t' | q, t \rangle = \lim_{d\tau \rightarrow 0} \int \left[ \prod_{k=1}^{N-1} \prod_a dq_{k,a} \right] \left[ \prod_b \prod_{k=0}^{N-1} \frac{dp_{k,b}}{2\pi} \right] \exp \left[ i \sum_{k=1}^N \left( \sum_a (q_{k,a} - q_{k-1,a}) p_{k-1,a} - H(q_k, p_{k-1}) d\tau \right) \right], \quad (3.15)$$

wobei das Zeitintervall  $t' - t$  in  $N$  Zeitintervalle  $d\tau = \frac{t' - t}{N}$  unterteilt sei. Im Grenzfall  $d\tau \rightarrow 0$  ergibt sich damit

$$\langle q', t' | q, t \rangle = \int_{q_a(t)}^{q'_a} \prod_{\tau,a} dq_a(\tau) \prod_{\tau,b} \frac{dp_b(\tau)}{2\pi} \exp \left[ i \int_t^{t'} d\tau \left( \sum_a (\dot{q}_a(\tau) p_a(\tau) - H(q(\tau), p(\tau))) d\tau \right) \right]. \quad (3.16)$$

Dieser Zusammenhang kann so interpretiert werden, dass ein quantenmechanisches System in gewissem Sinne alle möglichen dynamischen Entwicklungen gleichzeitig durchläuft. Die Wahrscheinlichkeit es zur Zeit  $t'$  in einem Zustand  $|q'\rangle$  zu finden, wenn es sich zur Zeit  $t$  im Zustand  $|q\rangle$  befunden hat entspricht der Überlagerung aller dynamischen Entwicklungen die zwischen diesen beiden Zeitpunkten formal möglich sind. Im Exponenten steht ein Ausdruck, der in den physikalisch relevanten Fällen der Wirkung des Systems entspricht. Nun werden sich die Amplituden von möglichen Entwicklungswegen, deren Wirkung sich stark unterscheidet, im Mittel gegenseitig aufheben, da sie aufgrund des Auftauchens der Wirkung in der Exponentialfunktion nicht kohärent sind. Es tragen also im Wesentlichen nur die Entwicklungswegen zum letztlich messbaren Betragsquadrat des inneren Produktes zwischen Anfangs- und Endzustand bei, denen ein Wert der Wirkung in der Nähe des Maximums entspricht, da die Amplituden hier nahezu kohärent sind und sich aufsummieren. Dies bedeutet im klassischen Grenzfall die Implikation des Hamiltonschen Prinzips der kleinsten Wirkung. Im Rahmen einer quantenfeldtheoretischen Beschreibungsweise werden die Operatoren  $Q_a$  und  $P_a$  durch Feldoperatoren  $\Phi_m(x)$  und ihre kanonisch konjugierten Feldoperatoren  $\Pi_m(x)$  ersetzt, welche von den Raumzeitkoordinaten abhängen und einen Index  $m$  für den Spinfreiheitsgrad besitzen. Als Vakuum-Vakuum-Amplitude für ein zeitgeordnetes Produkt von Operatoren ergibt sich hier

$$\begin{aligned}
 & \langle Vac|T\{\mathcal{O}_A[\Phi_A(t_A), \Pi(t_A)], \mathcal{O}_B[\Phi_B(t_B), \Pi(t_B)], \dots|Vac\rangle \\
 & = |\mathcal{N}|^2 \int \left[ \prod_{\tau, x, m} d\phi_m(x, \tau) \right] \left[ \prod_{\tau, x, m} \frac{d\pi_m(x, \tau, m)}{2\pi} \right] \\
 & \quad \mathcal{O}_A[\pi(t_A), \phi(t_A)] \mathcal{O}_B[\pi(t_B), \phi(t_B)] \\
 & \times \exp \left[ i \int_{-\infty}^{\infty} d\tau \left( \int d^3x \left( \sum_m \dot{\phi}_m(x, \tau) \pi_m(x, \tau) - H[\phi(\tau), \pi(\tau)] \right) + i\epsilon \right) \right].
 \end{aligned} \tag{3.17}$$

Der Integrand in der Exponentialfunktion hat die Gestalt einer Lagrangedichte. Da die Impulsoperatoren jedoch zunächst unabhängige Größen sind, darf dieser nicht einfach der Lagrangedichte gleichgesetzt werden. Dies ist nur dann der Fall, wenn der Hamiltonoperator eine quadratische Abhängigkeit von den kanonisch konjugierten Impulsoperatoren aufweist, denn man kann zeigen, dass dann gilt

$$\dot{\Psi}(x, \tau) = \frac{\delta H[\Psi(\tau), \Pi(\tau)]}{\delta \pi(x, \tau)}, \tag{3.18}$$

was bedeutet

$$L[\Psi(\tau), \dot{\Psi}(\tau)] = \int d^3x \left( \sum_n \dot{\Psi}(x, \tau) \Pi(x, \tau) - H[\Psi(\tau), \Pi(\tau)] \right), \tag{3.19}$$

und damit

$$\begin{aligned}
 & \langle Vac|T\{\mathcal{O}_A[\Phi_A(t_A), \Pi(t_A)], \mathcal{O}_B[\Phi_B(t_B), \Pi(t_B)], \dots|Vac\rangle \\
 & = |\mathcal{N}|^2 \int \left[ \prod_{\tau, x, m} d\phi_m(x, \tau) \right] \left[ \prod_{\tau, x, m} \frac{d\pi_m(x, \tau, m)}{2\pi} \right] \\
 & \quad \mathcal{O}_A[\pi(t_A), \phi(t_A)] \mathcal{O}_B[\pi(t_B), \phi(t_B)] \exp \left[ i \int_{-\infty}^{\infty} d\tau L[\Psi(\tau), \dot{\Psi}(\tau)] + i\epsilon \right].
 \end{aligned} \tag{3.20}$$

### 3.2.2 Herleitung eines Propagators

Um nun den Propagator des freien Feldes zu erhalten, zerlegt man die Lagrangedichte  $\mathcal{L}$  in einen Term  $\mathcal{L}_0$ , welcher das freie Feld beschreibt, und einen Wechselwirkungsterm  $\mathcal{L}_1$

$$L[\Psi(\tau), \dot{\Psi}(\tau)] = \int d^3x [\mathcal{L}_0(\Psi(\mathbf{x}, \tau), \partial_\mu \Psi(\mathbf{x}, \tau)) + \mathcal{L}_1(\Psi(\mathbf{x}, \tau), \partial_\mu \Psi(\mathbf{x}, \tau))]. \quad (3.21)$$

Der Term  $\mathcal{L}_0$ , welcher das freie Feld beschreibt, ist eine quadratische Funktion des Feldes und daher kann der freie Teil der Wirkung wie folgt ausgedrückt werden

$$S_0 = \int d^4x \Psi_m(x) \mathcal{D}_{mm'} \Psi_{m'}. \quad (3.22)$$

Wenn man  $\mathcal{D}$  nun im Impulsraum ausdrückt, so kann man durch eine recht lange Herleitung zeigen [19], dass für den Propagator im Ortsraum gilt

$$\Delta(y, x) = \frac{1}{(2\pi)^4} \int d^4p e^{ip(y-x)} \mathcal{D}^{-1}(p). \quad (3.23)$$

Im Falle einer Quantisierung von Eichtheorien ist noch die Einführung eines Eichfixierungstermes von Nöten, der die Gestalt einer Deltafunktion hat, sodass der Gesamtausdruck nur einen Beitrag liefert, wenn die Eichbedingung erfüllt ist. Es ergibt sich in diesem Falle ein Ausdruck der folgenden Form für das Pfadintegral eines Feldes  $\Psi$

$$\langle \text{Vac} | \text{Vac} \rangle = \int \left[ \prod d\Psi(x) \right] \delta[(G(\Psi))] \det \left| \frac{\delta G}{\delta \alpha} \right| \exp(iS[\Psi(x)]), \quad (3.24)$$

wobei  $G$  die Eichfixierungsfunktion und  $\alpha$  der Eichparameter ist. Wenn man die Eichfixierung und die Determinante in eine Exponentialfunktion umschreibt erhält man einen zusätzliche Eichfixierungsterm im quadratischen Teil der Lagrangedichte sowie sogenannte Geisterfelder (siehe beispielsweise [21] oder [22]). Aber diese Thematik spielt hier keine weitere Rolle, da es hier um Gravitonen gehen wird, deren Schwingungszustände in den zusätzlichen Dimensionen ihnen eine Masse verleihen, wodurch die Eichinvarianz aufgehoben wird.

## 3.3 Quantisierung des Gravitationsfeldes

### 3.3.1 Die Lagrangedichte des Gravitationsfeldes

Bezüglich der Herleitung eines Propagators für das Graviton, ist es zunächst einmal wichtig, dass man die Einsteinsche Feldgleichung, wie alle anderen dynamischen Gleichungen durch eine Wirkung beschreiben kann, die durch

das bekannte Hamiltonsche Variationsprinzip dann wieder auf die Einsteinschen Gleichungen führt. Es handelt sich um die Einstein-Hilbert-Wirkung, welche folgende Gestalt hat

$$S_{EH} = \frac{1}{16\pi G} \int d^4x \sqrt{-g} R. \quad (3.25)$$

Im allgemeineren Fall einer beliebigen Anzahl  $D$  an Raumzeitdimensionen hat man es mit der folgenden Wirkung zu tun

$$S = -\frac{1}{2} M^{D-2} \int d^Dx \sqrt{g} R. \quad (3.26)$$

Diese muss zunächst in eine geeignete Gestalt gebracht werden, um anschließend den Propagator für das Graviton aus ihr ableiten zu können. Man verwendet nun eine lineare Entwicklung der Metrik  $g_{MN}$  um die Minkowskimetrik der flachen Raumzeit

$$g_{MN} = \eta_{MN} + 2M^{\frac{(D-2)}{2}} h_{MN}. \quad (3.27)$$

Die hier gegebene Darstellung der Quantisierung des Gravitationsfeldes folgt im Wesentlichen der in [23] gelieferten Herleitung. Eine Beschreibung der entsprechenden effektiven Quantenfeldtheorie im Falle einer gewöhnlichen Raumzeit wird hier übergangen. Hierfür sei auf [24] verwiesen. In der Einstein-Hilbert-Wirkung taucht der Ricci-Skalar  $R$  auf, welchen man aus dem Riemanntensor durch Kontraktion erhält. Da der Riemanntensor gemäß des Zusammenhangs aus dem ersten Kapitel (1.12) über die Zusammenhangskoeffizienten bestimmt ist, welche wiederum im Falle der Allgemeinen Relativitätstheorie als Christoffelsymbole über die Metrik definiert sind (1.22), führt (3.27) auf einen Ausdruck für  $R$  in Abhängigkeit von  $h$ , womit sich folgender Ausdruck für die Lagrangedichte  $\mathcal{L}_h = \sqrt{-g}R$  ergibt

$$\mathcal{L}_h = -\frac{1}{2} \partial_M \partial^M h + \frac{1}{2} \partial_R h_{MN} \partial^R h^{MN} + \partial_M h^{MN} \partial_N h - \partial_M h^{MN} \partial_R h_N^R. \quad (3.28)$$

Diese Lagrangedichte ist zunächst invariant unter Eichtransformationen der folgenden Form

$$x^M \rightarrow x^M + 2M^{2-D} 2\alpha^M(x) \quad , \quad h_{MN} \rightarrow h_{MN} - (\partial_M \alpha_N + \partial_N \alpha_M). \quad (3.29)$$

Dies würde das Hinzufügen eines Eichfixierungstermes der Gestalt  $\mathcal{L}_{hg} = \frac{1}{\alpha} C_M C^M$  notwendig machen. Im Rahmen dieser Arbeit sollen aber wie bereits erwähnt massebehaftete Gravitonen betrachtet werden. Durch Einführung eines sogenannten Fierz-Pauli-Termes  $-\frac{1}{2} m^2 (h^{MN} h_{MN} - h^2)$  erhält man folgende Lagrangedichte für das Graviton, welches nun massebehaftet ist

$$\mathcal{L}_h = -\frac{1}{2}\partial_M h \partial^M h + \frac{1}{2}\partial_R h_{MN} \partial^R h^{MN} + \partial_\mu h^{MN} \partial_N h - \partial_M h^{MN} \partial_R h_N^R - \frac{1}{2}m^2(h^{MN}h_{MN} - h^2). \quad (3.30)$$

Diese besitzt nun keine Eichfreiheit mehr, womit keine zusätzlichen Terme in das entsprechende Pfadintegral eingeführt werden müssen.

### 3.3.2 Der Gravitonpropagator

Als Gravitonpropagator ergibt sich schließlich unter Verwendung der allgemeinen Relation zwischen dem Anteil des freien Feldes in der Lagrangedichte und dem entsprechenden Propagator (3.23) der folgende Ausdruck für den Gravitonpropagator

$$\Delta_{MNRS}(x, y) = \int \frac{d^D k}{(2\pi)^D} \frac{P_{MNRS}(k)}{k^2 - m^2} e^{-ik(x-y)}, \quad (3.31)$$

wobei der Polarisationsstensor  $P_{\mu\nu\rho\sigma}$  wie folgt aussieht

$$P_{MNRS}(k) = \frac{1}{2}(\eta_{MR}\eta_{NS} + \eta_{MS}\eta_{NR}) - \frac{1}{D-2}\eta_{MN}\eta_{RS} \quad (3.32)$$

$$- \frac{1}{2m^2}(\eta_{MR}k_N k_\sigma + \eta_{NS}k_M k_R + \eta_{MR}k_N k_S + \eta_{NS}k_M k_R) + \frac{1}{(D-1)(D-2)}(\eta_{MN} + \frac{D-2}{m^2}k_M k_N)(\eta_{RS} + \frac{D-2}{m^2}k_R k_S). \quad (3.33)$$

Es wurde also ein Propagator für massebehaftete Gravitonen in einer D-dimensionalen Raumzeit hergeleitet. Innerhalb des ADD-Modells sind die zusätzlichen Dimensionen aber kompaktifiziert. Deshalb wählt man für das Gravitationsfeld, das im Rahmen der obigen Entwicklung (3.27) durch  $h_{\mu\nu}$  beschrieben wird einen Ansatz, der dem bereits im letzten Kapitel beschriebenen für das Skalarfeld entspricht (2.5), mit dem Unterschied, dass von einer beliebigen Anzahl  $\delta$  an zusätzlichen Dimensionen ausgegangen wird. Das führt auf folgenden Ausdruck für das Gravitationsfeld

$$h_{MN}(z) = \sum_{j=1}^{\delta} \sum_{n_\delta=-\infty}^{\infty} \frac{h_{MN}(x)}{\sqrt{V_\delta}} e^{i\frac{n_\delta y_j}{R}}. \quad (3.34)$$

Gemäß der betrachteten Situation eines Skalarfeldes bei einer zusätzlichen Dimension verleihen die Anregungen in den kompaktifizierten Dimensionen

dem Gravitationsfeld eine Masse, wobei die Masse nun der Summe der Quadrate des Verhältnisses der Schwingungszahlen zum Radius entspricht

$$\sum_{j=1}^{\delta} |\hat{n}_j|^2 \quad , \quad |\hat{n}_j|^2 = \frac{|n_j|^2}{R^2}. \quad (3.35)$$

Der in der obigen Betrachtung eingeführte Massenterm ergibt sich also unter der Annahme, dass das Gravitationsfeld in den zusätzlichen kompaktifizierten Dimensionen Anregungszustände besitzt, die aufgrund der Periodizität gequantelt sein müssen [25], [26]. Die Masse ist hier jedoch nicht wie gewöhnlich eine Konstante, sondern eben auch eine Eigenschaft eines Zustandes. In dieser Beschreibungsweise wird die Störung der Metrik, welche dem Gravitationsfeld entspricht, also aufgespalten in einen Anteil der die Geometrie der Untermannigfaltigkeit beschreibt, auf der die bekannten Materiefelder leben, und die zusätzlichen Freiheitsgrade der weiteren Dimensionen. Bezüglich der Wechselwirkung mit den Materiefeldern ist also nur der erste Anteil von Bedeutung, wobei die Schwingungen in den zusätzlichen Dimensionen natürlich das Verhalten der Gravitonen insofern beeinflussen als sie ihnen eben eine Masse verleihen. Dies bedeutet, dass sich letztlich für den Gravitonpropagator in dem hier vorausgesetzten Modell der oben hergeleitete Gravitonpropagator (3.31) für den Fall von 4 Dimensionen ergibt

$$\Delta_{\mu\nu\rho\sigma}(x, y) = \int \frac{d^D k}{(2\pi)^D} \frac{P_{\mu\nu\rho\sigma}(k)}{k^2 - m^2} e^{-ik(x-y)}, \quad (3.36)$$

mit Polarisationstensor

$$\begin{aligned} P_{\mu\nu\rho\sigma}(k) &= \frac{1}{2}(\eta_{\mu\rho}\eta_{\nu\sigma} + \eta_{\mu\sigma}\eta_{\nu\rho}) - \frac{1}{2}\eta_{\mu\nu}\eta_{\rho\sigma} \\ &- \frac{1}{2m^2}(\eta_{\mu\rho}k_\nu k_\sigma + \eta_{\mu\sigma}k_\nu k_\rho + \eta_{\nu\rho}k_\mu k_\sigma + \eta_{\nu\sigma}k_\mu k_\rho) \\ &+ \frac{1}{6}(\eta_{\mu\nu} + \frac{2}{m^2}k_\mu k_\nu)(\eta_{\rho\sigma} + \frac{2}{m^2}k_\rho k_\sigma), \end{aligned} \quad (3.37)$$

wobei für die Masse  $m$  gilt

$$m^2 = \sum_{j=1}^{\delta} \left( \frac{n_j^2}{R^2} \right). \quad (3.38)$$

Durch Fouriertransformation erhält man wie üblich den Propagator im Impulsraum

$$\delta_{\mu\nu\rho\sigma} = \frac{P_{\mu\nu\rho\sigma}(k)}{k^2 - m^2}. \quad (3.39)$$

Der Polarisationsstensor erfüllt die folgenden Relationen

$$\eta^{\mu\nu} P_{\mu\nu\rho\sigma} = 0 \quad , \quad k^\mu P_{\mu\nu\rho\sigma} = 0. \quad (3.40)$$

Der Gravitonpropagator (3.36) wird in [25] auf eine etwas andere Art und Weise hergeleitet.

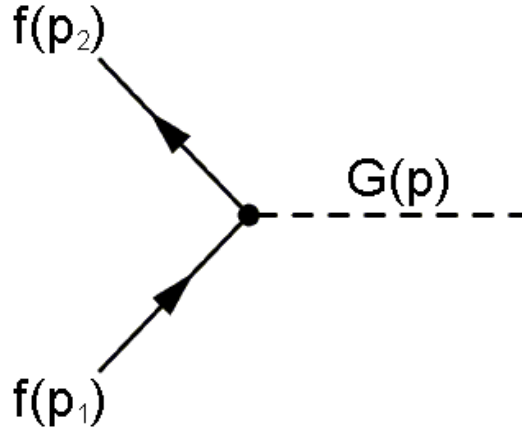
### 3.3.3 Kopplungen und Vertizes

Wenn man nun die Wechselwirkung mit Materiefeldern konkret beschreiben will, so muss man den Energie-Impuls-Tensor in die Lagrangedichte integrieren. Die oben angegebene Einstein-Hilbert-Wirkung bezieht sich nur auf die Einsteingleichung ohne Materie, bei der also  $T_{\mu\nu} = 0$  angenommen wird. Es ist also notwendig, zur Lagrangedichte für das freie massebehaftete Graviton einen zusätzlichen Term zu addieren, welcher auf den Energie-Impuls-Tensor in den Einsteinschen Feldgleichungen führt. Insgesamt lautet damit die Lagrangedichte

$$\begin{aligned} \mathcal{L}_h = & -\frac{1}{2}\partial_\mu h \partial^\mu h + \frac{1}{2}\partial_R h_{\mu\nu} \partial^R h^{\mu\nu} + \partial_\mu h^{\mu\nu} \partial_\nu h - \partial_\mu h^{\mu\nu} \partial_R h_\nu^R \\ & -\frac{1}{2}m^2(h^{\mu\nu} h_{\mu\nu} - h^2) - \frac{1}{M_P} h^{\mu\nu} T_{\mu\nu}. \end{aligned} \quad (3.41)$$

Die spezifische Form des Energie-Impuls-Tensors ist natürlich durch die Wirkungen (3.11),(3.12),(3.13) definiert, welche das Verhalten von Materiefeldern in gekrümmten Raumzeiten beschreibt und um welche die Einstein-Hilbert-Wirkung des freien Gravitationsfeldes erweitert werden muss. Aus den in diesen enthaltenen Kopplungstermen bestimmt man die Vertizes. Für die Wechselwirkung eines Fermion bzw. Vektorbosons ergeben sich die folgenden Vertizes [25].

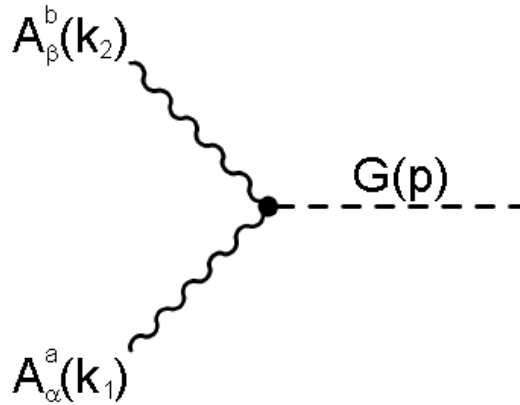
Fermion-Fermion-Graviton



$$-\frac{i}{4M_P} [W_{\mu\nu} + W_{\nu\mu}] \quad (3.42)$$

$$W_{\mu\nu} = (p_1 + p_2)_\mu \gamma_\nu$$

Vektorboson-Vektorboson-Graviton

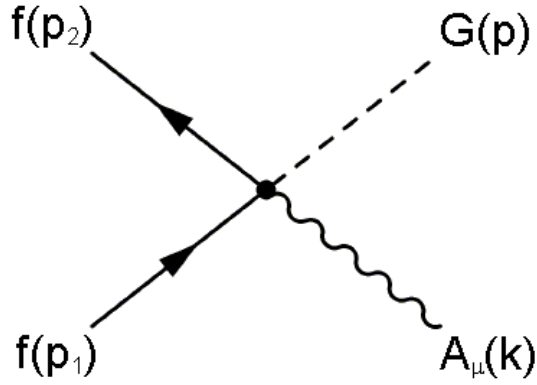


$$-\frac{i}{4M_P} \delta^{ab} [W_{\mu\nu\rho\sigma} + W_{\nu\mu\rho\sigma}] \quad (3.43)$$

$$W_{\mu\nu\rho\sigma} = \frac{1}{2} \eta_{\mu\nu} (k_{1\sigma} k_{2\rho} - k_1 \cdot k_2 \eta_{\rho\sigma}) + \eta_{\rho\sigma} k_{1\mu} k_{2\nu} + \eta_{\mu\rho} (k_1 \cdot k_2 \eta_{\nu\sigma} - k_{1\sigma} k_{2\nu}) - \eta_{\mu\sigma} k_{1\nu} k_{2\rho}$$

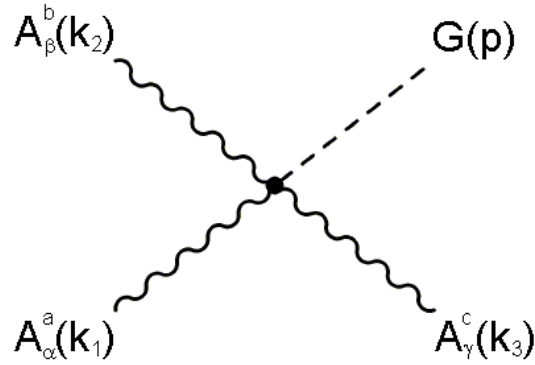


## Fermion-Fermion-Vektorboson-Graviton



$$-\frac{i}{2M_P} g T^a (X_{\mu\nu\alpha} + X_{\nu\mu\alpha}) \quad X_{\mu\nu\alpha} = \gamma_\mu \eta_{\nu\alpha} \quad (3.44)$$

## Vektorboson-Vektorboson-Vektorboson-Graviton



$$\frac{g}{M_P} f^{abc} [Y(k_1)_{\mu\nu\alpha\beta\gamma} + Y(k_2)_{\mu\nu\beta\gamma\alpha} + Y(k_3)_{\mu\nu\gamma\alpha\beta} + Y(k_1)_{\nu\mu\alpha\beta\gamma} + Y(k_2)_{\nu\mu\beta\gamma\alpha} + Y(k_3)_{\nu\mu\gamma\alpha\beta}]$$

$$Y(k) = k_\mu (\eta_{\nu\beta} \eta_{\alpha\gamma} - \eta_{\nu\gamma} \eta_{\alpha\beta}) + k_\beta \left( \eta_{\mu\alpha} \eta_{\nu\gamma} - \frac{1}{2} \eta_{\mu\nu} \eta_{\alpha\gamma} \right) - k_\gamma \left( \eta_{\mu\alpha} \eta_{\nu\beta} - \frac{1}{2} \eta_{\mu\nu} \eta_{\alpha\beta} \right) \quad (3.45)$$



# Kapitel 4

## ZZ-Produktion durch Gravitonenvermittlung

In diesem Kapitel soll die in den vorigen Kapiteln dargestellte Theorie nun auf einen konkreten physikalischen Vorgang angewandt werden. Es soll der Vorgang betrachtet werden, bei dem ein Teilchen und ein Antiteilchen sich gegenseitig vernichten und dabei ein virtuelles Graviton erzeugen, das sich anschließend in zwei Z-Teilchen umwandelt. Diese stellen neben den  $W^+$  und den  $W^-$ -Teilchen die Austauscheteilchen der schwachen Wechselwirkung dar (siehe Kapitel 5). Hierbei handelt es sich um einen Prozess, der im Standardmodell ziemlich unwahrscheinlich ist. Daher könnte der Gravitonenaustausch, welcher unter der Annahme zusätzlicher Dimensionen und einer entsprechend modifizierten Planckmasse  $M_D$  sehr viel wahrscheinlicher wird, zu einer deutlichen Abweichung gegenüber dem gemäß dem Standardmodell erwarteten Wert für die Produktionsrate führen. Im Speziellen soll hier das Aufeinandertreffen zweier Protonen untersucht werden, da dies der Situation am LHC entspricht. Ein Proton setzt sich aus Quarks und Gluonen zusammen. Durch letztere wechselwirken die Quarks gemäß der Quantenchromodynamik miteinander und werden dadurch zusammengehalten. Zunächst müssen die Wirkungsquerschnitte für die Einzelprozesse berechnet werden, ehe diese mit den Verteilungsfunktionen für Partonen innerhalb eines Protons gefaltet werden. Diese Verteilungsfunktionen sind aufgrund der unglaublichen Komplexität der physikalischen Verhältnisse innerhalb eines Protons nur durch Messungen bekannt, können also nicht selbst auf theoretischem Wege ermittelt werden.

## 4.1 S-Matrix und Feynmanamplitude für die ZZ-Produktion durch Gluonen

Der erste Schritt zur Berechnung der ZZ-Produktionsrate durch Vernichtung zweier Protonen besteht in der Berechnung der S-Matrix für den ZZ-Produktionsprozess durch Vernichtung der im Proton enthaltenen Partonen. Hierbei wird die übliche Störungstheorie zu Grunde gelegt, die eigentlich in jedem Buch über Quantenfeldtheorie wie beispielsweise [27], [19] und [28] zu finden ist und hier nicht weiter thematisiert werden soll. Es wird eine Rechnung in erster Ordnung durchgeführt. Zunächst ist zu erwähnen, dass alle hier auftauchenden Feynmangraphen, die einen Vierervertex der im letzten Kapitel angegebenen Art enthalten, entweder überhaupt keinen Beitrag liefern oder im Rahmen einer Störungsentwicklung in erster Ordnung nicht berücksichtigt werden müssen. Bei zwei einlaufenden Gluonen und zwei auslaufenden Z-Bosonen kann ohnehin nur ein Graviton ausgetauscht werden, da diese im Standardmodell nicht aneinander koppeln. Im Falle eines einlaufenden Quark-Antiquark-Paares gibt es zwei mögliche Graphen mit Vierervertizes. Einerseits kann das Quark-Antiquark-Paar direkt in einen Vierervertex laufen und ein Graviton und ein Teilchen der schwachen Wechselwirkung erzeugen. In diesem Falle verschwindet der zweite Vertex mit den auslaufenden Z-Bosonen aufgrund der im Vertex auftauchenden Strukturkonstante  $f^{abc}$ , die bei zwei gleichen Indizes, die den gleichen zu den beiden Z-Teilchen gehörigen Generatoren entsprechen, gleich null ist. Andererseits kann aber auch das eine Quark ein Z-Teilchen emittieren und gemeinsam mit einem im Vertex erzeugten Graviton weiterlaufen, um sich mit diesem und dem Antiquark dann im zweiten Vertex zu vernichten und dabei das andere Z-Boson zu erzeugen. In den beiden Vertizes steht jedoch neben der inversen Planckmasse auch noch die Kopplungskonstante der schwachen Wechselwirkung. Das bedeutet jedoch, dass dieser Beitrag von höherer Ordnung ist und damit nicht berücksichtigt werden muss. Dies gilt natürlich nur dann, wenn die Gravitonenkopplung in der Störungsentwicklung wie die Kopplung im Standardmodell, also in diesem Falle die der elektroschwachen Wechselwirkung, behandelt wird. Dies ist aber unumgänglich, wenn eine Rechnung in erster Ordnung überhaupt einen Sinn haben soll. Damit bleiben die Prozesse übrig, bei denen sich ein Quark-Antiquark- bzw. ein Gluon-Paar direkt vernichten und dabei ein einzelnes Graviton erzeugen, welches anschließend in zwei Z-Bosonen übergeht (Graphen 4.1 und 4.2).

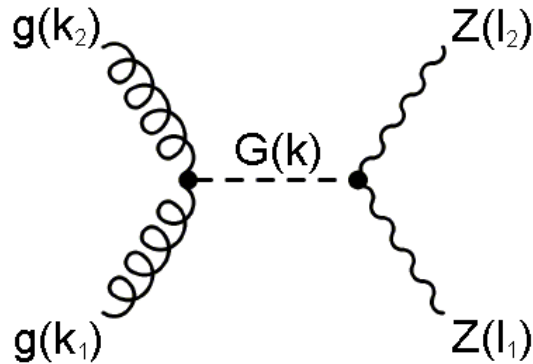


Abbildung 4.1: Gluonen-Graviton-Z-Teilchen

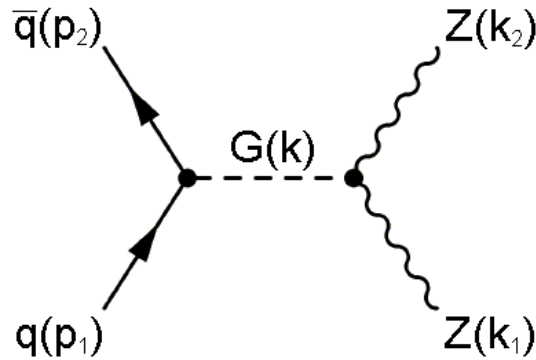


Abbildung 4.2: Quarks-Graviton-Z-Teilchen

Die S-Matrix des Feynmangraphen für den Quark-Antiquark-Prozess ergibt exakt 0 (siehe Anhang). Da im Rahmen des Gravitonaustausches also einerseits nur die Gluonen entscheidend beitragen und im Standardmodell andererseits nur die Quarks überhaupt einen Beitrag liefern, weil die Gluonen nur mit sich selbst und nicht elektroschwach wechselwirken (siehe Abschnitt 5.3), muss bezüglich des zusätzlichen Beitrages nur ein Feynmandiagramm ausgewertet werden, um die entsprechende S-Matrix zu erhalten. Aufgrund der Unabhängigkeit der S-Matrix des Quarkprozesses von der des Gluonenprozesses, kann der zum Standardmodell zusätzliche Wirkungsquerschnitt separat berechnet werden. Zunächst werden die Polarisationszustände für das einlaufende Gluon-Antigluon-Paar und das auslaufende ZZ-Paar, sowie die Ausdrücke für die Vertizes und den Gravitonpropagator zusammengefügt, die aus dem letzten Kapitel bekannt sind. Hierbei sollen die entsprechenden Ausdrücke im Impulsraum verwendet werden. Entscheidend ist, dass im Gravitonpropagator über alle Anregungszustände in den zusätzlichen kompaktifizierten Dimensionen summiert werden muss, die verschiedenen Massen

des Gravitons entsprechen. Die Vertizes erhalten aufgrund der Impulserhaltung wie üblich eine  $\delta$ -Funktion. Über den Impuls des virtuellen Gravitons muss integriert werden, da er keine direkte Messgröße darstellt. Damit erhält man folgenden Ausdruck für die S-Matrix

$$\begin{aligned}
& S(g(k_1, g_1) + g(k_2, g_2) \rightarrow Z(l_1, Z_1) + Z(l_2, Z_2)) \\
&= \frac{1}{(2\pi)^4} \int d^4k \frac{g_{\alpha\alpha}^1}{(2\pi)^{\frac{3}{2}} \sqrt{k_{10}}} \frac{g_{2\beta\beta}}{(2\pi)^{\frac{3}{2}} \sqrt{k_{20}}} \left( -\frac{i}{\bar{M}_P} \delta^{ab} [W^{\mu\nu\alpha\beta} + W^{\nu\mu\alpha\beta}] \right) \\
&\quad \cdot (2\pi)^4 \delta^4(k_1 + k_2 - k) \sum_n \frac{i P_{\mu\nu\rho\sigma}}{k^2 - m^2} (2\pi)^4 \delta^4(k - l_1 - l_2) \\
&\quad \cdot \left( -\frac{i}{\bar{M}_P} \delta^{cd} [W^{\rho\sigma\gamma\delta} + W^{\sigma\rho\gamma\delta}] \right) \frac{Z_{1\gamma c}}{(2\pi)^{\frac{3}{2}} \sqrt{l_{10}}} \frac{Z_{2\delta d}}{(2\pi)^{\frac{3}{2}} \sqrt{l_{20}}}. \quad (4.1)
\end{aligned}$$

Hierbei sind  $W_{\mu\nu\alpha\beta}$  und  $P_{\mu\nu\rho\sigma}$  gemäß (3.44) bzw. (3.38) wie folgt definiert

$$\begin{aligned}
W_{\mu\nu\alpha\beta} &= \frac{1}{2} \eta_{\mu\nu} (k_{1\beta} k_{2\alpha} - k_1 \cdot k_2 \eta_{\alpha\beta}) + \eta_{\alpha\beta} k_{1\mu} k_{2\nu} \\
&\quad + \eta_{\mu\alpha} (k_1 \cdot k_2 \eta_{\nu\beta} - k_{1\beta} k_{2\nu}) - \eta_{\mu\beta} k_{1\nu} k_{2\alpha}, \quad (4.2)
\end{aligned}$$

$$\begin{aligned}
P_{\mu\nu\rho\sigma} &= \frac{1}{2} (\eta_{\mu\alpha} \eta_{\nu\beta} + \eta_{\mu\beta} \eta_{\nu\alpha} - \eta_{\mu\nu} \eta_{\alpha\beta}) \\
&\quad - \frac{1}{2m^2} (\eta_{\mu\alpha} k_\nu k_\beta + \eta_{\nu\beta} k_\mu k_\alpha + \eta_{\mu\beta} k_\nu k_\alpha + \eta_{\nu\alpha} k_\mu k_\beta) \\
&\quad + \frac{1}{6} \left( \eta_{\mu\nu} + \frac{2}{m^2} k_\mu k_\nu \right) \left( \eta_{\alpha\beta} + \frac{2}{m^2} k_\alpha k_\beta \right). \quad (4.3)
\end{aligned}$$

Wichtig ist, dass der Tensor  $P_{\mu\nu\rho\sigma}$  „on mass-shell“ ist und damit  $p^2 = m^2$  gilt. Der Ausdruck für die S-Matrix (4.1) kann umformuliert werden zu

$$\begin{aligned}
S &= \frac{-i}{(2\pi)^2 \sqrt{2k_{10}} \sqrt{2k_{20}} \sqrt{2l_{10}} \sqrt{2l_{20}}} \frac{1}{\bar{M}_P^2} \sum_n \frac{1}{p^2 - m^2} \\
&\quad \cdot g_{1\alpha} g_{2\beta} [W^{\mu\nu\alpha\beta} + W^{\nu\mu\alpha\beta}] P_{\mu\nu\rho\sigma} [W^{\rho\sigma\gamma\delta} + W^{\sigma\rho\gamma\delta}] Z_{1\gamma} Z_{2\delta} \\
&\quad \cdot \delta^4(p - l_1 - l_2). \quad (4.4)
\end{aligned}$$

Es wurde unter anderem über die erste Deltafunktion integriert und  $p$  als  $p = k^1 + k^2$  definiert. Desweiteren soll nun der folgende Zusammenhang zwischen der S-Matrix und der Feynmanamplitude  $M$  verwendet werden

$$S = -2\pi i M \delta^4(p - l_1 - l_2). \quad (4.5)$$

Damit erhält man für die Feynmanamplitude  $M$  folgenden Ausdruck

$$M = \frac{1}{(2\pi)^3 \sqrt{2k_{10}} \sqrt{2k_{20}} \sqrt{2l_{10}} \sqrt{2l_{20}}} \frac{1}{M_P^2} \sum_n \frac{1}{p^2 - m^2} \cdot g_{1\alpha} g_{2\beta} [W^{\mu\nu\alpha\beta} + W^{\nu\mu\alpha\beta}] P_{\mu\nu\rho\sigma} [W^{\rho\sigma\gamma\delta} + W^{\sigma\rho\gamma\delta}] Z_{1\gamma} Z_{2\delta}. \quad (4.6)$$

Wenn man  $A$  wie folgt definiert  $A = \frac{1}{(2\pi)^3 \sqrt{2k_{10}} \sqrt{2k_{20}} \sqrt{2l_{10}} \sqrt{2l_{20}}} \sum_n \frac{1}{M_P^2} \frac{1}{p^2 - m^2}$ , erhält man

$$M = A \cdot g_{1\alpha} g_{2\beta} [W^{\mu\nu\alpha\beta} + W^{\nu\mu\alpha\beta}] P_{\mu\nu\rho\sigma} [W^{\rho\sigma\gamma\delta} + W^{\sigma\rho\gamma\delta}] Z_{1\gamma} Z_{2\delta}. \quad (4.7)$$

Da der Gravitonpropagator einerseits symmetrisch bezüglich der Indizes  $\mu$  and  $\nu$  und andererseits symmetrisch bezüglich der Indizes  $\rho$  and  $\sigma$  ist, kann man obigen Ausdruck wie folgt schreiben

$$M = 4A \cdot g_{1\alpha} g_{2\beta} \cdot W^{\mu\nu\alpha\beta} \cdot P_{\mu\nu\rho\sigma} \cdot W^{\rho\sigma\gamma\delta} \cdot Z_{1\gamma} Z_{2\delta}. \quad (4.8)$$

Indem man die Ausdrücke für  $W_{\mu\nu\alpha\beta}$  und  $P_{\mu\nu\rho\sigma}$  aus (4.2) und (4.3) in (4.8) einsetzt, erhält man

$$\begin{aligned} M = & 4A \cdot g_{1\alpha} g_{2\beta} \cdot \left[ \frac{1}{2} \eta^{\mu\nu} (k_1^\beta k_2^\alpha - k_1 k_2 \eta^{\alpha\beta}) + \eta^{\alpha\beta} k_1^\mu k_2^\nu \right. \\ & + \eta^{\mu\alpha} (k_1 k_2 \eta^{\nu\beta} - k_1^\beta k_2^\nu - \eta^{\mu\beta} k_1^\nu k_2^\alpha) \\ & \cdot \left[ \frac{1}{2} (\eta_{\mu\rho} \eta_{\nu\sigma} + \eta_{\mu\sigma} \eta_{\nu\rho} + \eta_{\mu\nu} \eta_{\rho\sigma}) \right. \\ & - \frac{1}{2m^2} (\eta_{\mu\rho} p_\nu p_\sigma + \eta_{\nu\sigma} p_\mu p_\rho + \eta_{\mu\sigma} p_\nu p_\rho + \eta_{\nu\rho} p_\mu p_\sigma) \\ & \left. + \frac{1}{6} \left( \eta_{\mu\nu} + \frac{2}{m^2} p_\mu p_\nu \right) \left( \eta_{\rho\sigma} + \frac{2}{m^2} p_\rho p_\sigma \right) \right] \\ & \cdot \left[ \frac{1}{2} \eta^{\rho\sigma} (k_1^\delta k_2^\gamma - k_1 k_2 \eta^{\gamma\delta}) + \eta^{\gamma\delta} k_1^\rho k_2^\sigma \right. \\ & \left. + \eta^{\rho\gamma} (k_1 k_2 \eta^{\sigma\delta} - k_1^\delta k_2^\sigma) - \eta^{\rho\delta} k_1^\sigma k_2^\gamma \right] \cdot Z_{1\gamma} Z_{2\delta}. \end{aligned} \quad (4.9)$$

Die Polarisationsvektoren für die Gluonen und Z-Teilchen stehen immer senkrecht auf dem jeweiligen Impuls und erfüllen damit folgende Relationen

$$k_1^\mu g_1^\mu = 0 \quad , \quad k_2^\mu g_2^\mu = 0 \quad , \quad l_1^\mu Z_{1\mu} = 0 \quad , \quad l_2^\mu Z_{2\mu} = 0. \quad (4.10)$$

Außerdem soll die Rechnung von nun an im Schwerpunktsystem betrachtet werden, da sich hierdurch vieles vereinfacht. Dies bedeutet, dass gilt

$$\mathbf{k}_1 = -\mathbf{k}_2 \quad , \quad p = 0 \quad , \quad \mathbf{l}_1 = -\mathbf{l}_2. \quad (4.11)$$

(Die fettgedruckten Größen sollen hier den räumlichen Anteil der Vierervektoren bezeichnen.) Damit erhält man für die Feynmanamplitude folgenden Ausdruck

$$\begin{aligned} M = & 4A \cdot g_{1\alpha} g_{2\beta} \cdot \left[ -\frac{1}{2} \eta^{\mu\nu} (k_1 \cdot k_2) (g_1 \cdot g_2) + (g_1 \cdot g_2) (k_1^\mu k_2^\nu) + (k_1 \cdot k_2) g_{1\mu} g_2^\nu \right] \\ & \cdot \left[ \frac{1}{2} (\eta_{\mu\rho} \eta_{\nu\sigma} + \eta_{\mu\sigma} \eta_{\nu\rho}) - \frac{1}{3} \eta_{\mu\nu} \eta_{\rho\sigma} \right. \\ & - \frac{1}{2m^2} (\eta_{\mu\rho} p_\nu p_\sigma + \eta_{\nu\sigma} p_\mu p_\rho + \eta_{\mu\sigma} p_\nu p_\rho + \eta_{\nu\rho} p_\mu p_\sigma) \\ & + \frac{1}{3m^2} \eta_{\rho\sigma} p_\mu p_\nu + \frac{1}{3m^2} \eta_{\mu\nu} p_\rho p_\sigma + \frac{2}{3m^4} p_\mu p_\nu p_\rho p_\sigma \left. \right] \\ & \cdot \left[ -\frac{1}{2} \eta^{\rho\sigma} (l_1 \cdot l_2) (Z_1 \cdot Z_2) + (Z_1 \cdot Z_2) (l_1^\rho l_2^\sigma) + (l_1 \cdot l_2) Z_1^\rho Z_2^\sigma \right]. \quad (4.12) \end{aligned}$$

## 4.2 Wirkungsquerschnitt für die ZZ-Produktion durch Gluonen

### 4.2.1 Von der Feynmanamplitude zum Wirkungsquerschnitt

Der differentielle Wirkungsquerschnitt für den Übergang von einem Zustand  $\alpha$  in einen Zustand  $\beta$  hat allgemein folgende Gestalt

$$d\sigma(\alpha \rightarrow \beta) = (2\pi)^4 u_\alpha^{-1} \sum_\sigma |M|^2 \delta^4(p_\beta - p_\alpha) d\beta, \quad (4.13)$$

wobei gilt

$$u_\alpha = \frac{\sqrt{(p_1 \cdot p_2)^2 - m_1^2 m_2^2}}{E_1 E_2}. \quad (4.14)$$

(siehe [19])

In dem Fall, der hier betrachtet wird, bedeutet dies

$$d\sigma = \frac{(2\pi)^4}{2} \sum_\sigma |M|^2 \delta^4(l_1 + l_2 - k_1 - k_2) d^4 l_1 d^4 l_2. \quad (4.15)$$



Durch Aufspaltung der  $\delta$ -Funktion und Ausnutzung der relativistischen Energie-Impuls-Beziehung erhält man

$$d\sigma = \frac{(2\pi)^4}{2} \sum_{\sigma} |M|^2 \delta^3(\mathbf{l}_1 + \mathbf{l}_2 - (\mathbf{k}_1 + \mathbf{k}_2)) \cdot \delta(\sqrt{|\mathbf{l}_1|^2 + m_Z^2} + \sqrt{|\mathbf{l}_2|^2 + m_Z^2} - 2E) d^3l_1 d^3l_2. \quad (4.16)$$

Im Schwerpunktsystem gilt

$$\mathbf{k}_1 + \mathbf{k}_2 = 0. \quad (4.17)$$

Integrieren über  $d^3l_1$  liefert damit

$$d\sigma = \frac{(2\pi)^4}{2} \sum_{\sigma} |M|^2 \delta(\sqrt{|\mathbf{l}_2|^2 + m_Z^2} - E) d^3l_2. \quad (4.18)$$

Das ist gleichbedeutend mit

$$d\sigma = \frac{(2\pi)^4}{2} \sum_{\sigma} |M|^2 \delta(\sqrt{|\mathbf{l}_2|^2 + m_Z^2} - E) |\mathbf{l}_2|^2 \sin(\theta) d|\mathbf{l}_2| d\Omega. \quad (4.19)$$

Integrieren über  $d|\mathbf{l}_2|$  liefert schließlich

$$d\sigma = \frac{(2\pi)^4}{2} \sum_{\sigma} |M|^2 E \sqrt{E^2 - m_Z^2} \sin(\theta) d\Omega. \quad (4.20)$$

Wenn man nun noch über den Azimutalwinkel integriert, bekommt man folgenden Ausdruck

$$d\sigma = \frac{(2\pi)^5}{2} \sum_{\sigma} |M|^2 E \sqrt{E^2 - m_Z^2} \sin(\theta) d\theta. \quad (4.21)$$

Der Wirkungsquerschnitt enthält nicht die Feynmanamplitude selbst, sondern das Betragsquadrat. Nach Ausmultiplizieren des Ausdruckes für die Feynmanamplitude (4.12) wird das im Wirkungsquerschnitt auftauchende Betragsquadrat der Feynmanamplitude gebildet. Da keine spezielle Polarisation der Gluonen angenommen wird und die Polarisation der Z-Teilchen keine Rolle spielt, muss über alle möglichen Polarisationen summiert werden. Eine konkrete Berechnung von  $\sum_{\sigma} |M|^2$  unter Ausnutzung der Relationen

$$\sum_{\sigma} g_{\mu} g_{\nu}^* = -\eta_{\mu\nu}, \quad (4.22)$$

und

$$\sum_{\sigma} Z_{\mu} Z_{\nu}^{*} = \left( -\eta_{\mu\nu} + \frac{l_{\mu} l_{\nu}}{m_Z^2} \right) \quad (4.23)$$

für die Polarisationsvektoren der masselosen Gluonen, sowie der massebehafteten Z-Teilchen, führt nach Integration über den Streuwinkel  $\theta$  schließlich auf folgende Ausdruck für den absoluten Wirkungsquerschnitt  $\sigma$

$$\sigma = \frac{D^2}{\bar{M}_p^4} \frac{E \sqrt{E^2 - m_Z^2} (3552E^8 - 7400E^6 m_Z^2 + 4977E^4 m_Z^4 - 1257E^2 m_Z^6 + 98m_Z^8)}{30\pi m_Z^4}. \quad (4.24)$$

Hierbei ist D wie folgt definiert

$$D = \sum_n \frac{1}{p^2 - m^2}, \quad (4.25)$$

wobei die Masse den Anregungen in den zusätzlichen Dimensionen entspricht. Die Energie bezieht sich natürlich auf das Schwerpunktsystem. Es ist daher sinnvoll, den Wirkungsquerschnitt mit Hilfe der lorentzinvarianten Mandelstamvariable  $s$  auszudrücken. In Abhängigkeit von  $s$  ergibt sich folgender Ausdruck

$$\sigma = \frac{D^2}{\bar{M}_p^4} \frac{s}{2} \sqrt{\frac{s}{4} - m_Z^2} \frac{(13.875s^4 - 115.625s^3 m_Z^2 + 311.0625s^2 m_Z^4 - 314.25s m_Z^6 + 98m_Z^8)}{30\pi m_Z^4}. \quad (4.26)$$

### 4.2.2 Summierung über die Kaluza-Klein-Anregungen

Die Summation über die Kaluza-Klein-Zustände in (4.25) kann umformuliert werden, indem man die Tatsache berücksichtigt, dass die Masse  $m$  des Gravitons durch die Kaluza-Klein-Anregungen über den Zusammenhang

$$m^2 = \hat{n}^2 = \sum_{j=1}^{\delta} |\hat{n}_j|^2 \quad (4.27)$$

bestimmt ist. In [25] ist die Summierung über die Kaluza-Klein Anregungen ausgeführt. Dieser Darstellung soll hier gefolgt werden. Die Summe über die einzelnen Anregungen kann näherungsweise durch ein Integral über das Massenquadrat ersetzt werden, wobei eine Dichteverteilung bezüglich des

Massenquadrats auftaucht, da unterschiedliche Massen unterschiedliche Gewichtungen haben. Wenn man Gleichung (4.27) betrachtet, sieht man, dass die Gewichtung des Massenquadrates der Zahl der Anregungskombinationen entspricht, die auf ein bestimmtes  $\hat{n}^2$  führen. Diese entspricht im Limes eines großen  $\hat{n}^2$  der Oberfläche einer n-dimensionalen Sphäre. Man erhält den folgenden Ausdruck

$$D = \sum_n \frac{1}{p^2 - m^2} = \int_0^\infty dm^2 \frac{\rho(m)}{s - m^2} \quad (4.28)$$

mit

$$\rho(m) = \frac{R^n m^{(\delta-2)}}{(4\pi)^{\frac{n}{2}} \Gamma(\frac{\delta}{2})}, \quad (4.29)$$

wobei  $\Gamma$  die übliche Gammafunktion beschreibt. Es wird nun das Verfahren dimensionaler Regularisierung angewandt. Unter Verwendung des niedrigst dimensionalen Beitrages ( $c_1 = 1$  and  $c_i = 0$  for  $i \neq 1$ ), bei Wahl einer Regularisierungsskala in der Größenordnung der neuen Massenskala  $\Lambda = M_D$  und der Relation zwischen der  $(4 + \delta)$ -dimensionalen Planckmasse und der gewöhnlichen Planckmasse  $M_P^2 = 8\pi M_D^{(2+\delta)} R^\delta$  wird man auf folgenden Ausdruck geführt

$$\sum_n \frac{1}{s - m_n^2} \approx \frac{\bar{M}_P^2 \pi^{\frac{\delta}{2}}}{\Gamma(\frac{\delta}{2}) M_D^4} \quad (4.30)$$

ein andere Näherungsverfahren für die Kaluza-Klein Summierung findet man in [26]. Wir beschränken uns hier jedoch auf (4.30).

Das führt schließlich auf den folgenden totalen Wirkungsquerschnitt

$$\sigma(gg \rightarrow ZZ) = \frac{\pi^\delta \sqrt{\frac{\hat{s}}{4}} \sqrt{\frac{\hat{s}}{4} - m_Z^2} Z}{\Gamma^2(\frac{\delta}{2}) M_D^8 30\pi m_Z^4} \quad (4.31)$$

mit

$$\begin{aligned} Z = & 13.875\hat{s}^4 - 115.625\hat{s}^3 m_Z^2 + 311.0625\hat{s}^2 m_Z^4 \\ & - 314.250\hat{s} m_Z^6 + 98m_Z^8 \quad . \end{aligned} \quad (4.32)$$

Das ist der totale Wirkungsquerschnitt als Funktion der Zahl der Extra Dimensionen  $\delta$  und der Planckmasse  $M_D$  in  $4 + \delta$  Dimensionen.

### 4.3 Wirkungsquerschnitt nach Faltung über die Verteilungsfunktionen im Proton und Vergleich mit dem Standardmodell

#### 4.3.1 Faltung über die Partonenverteilungsfunktionen

Um nun den Wirkungsquerschnitt für den Proton-Proton-Prozess zu erhalten, müssen die Wirkungsquerschnitte für die einzelnen Partonenprozesse mit der entsprechenden Verteilungsfunktion für die Gluonen bzw. Quarks innerhalb des Protons gefaltet werden. Die Formel für den Proton-Proton-Wirkungsquerschnitt bei gegebenen Partonenwirkungsquerschnitten lautet wie folgt

$$\begin{aligned} & \sigma(p^+(k_1)p^-(k_2) \rightarrow Z(l_1)Z(l_2)) \\ &= \int_0^1 dx_2 \int_0^1 dx_1 \sum_f f_f(x_1)f_f(x_2)\sigma(q(x_1k_1)\bar{q}(x_2k_2) \rightarrow Z(l_1)Z(l_2)), \end{aligned} \quad (4.33)$$

(siehe [28]) wobei die  $f_f$  die Partonenverteilungsfunktionen darstellen. Die Summierung bezieht sich auf die verschiedenen Sorten von Partonen, also die verschiedenen Quarksorten sowie die Gluonen. Da im obigen Ausdruck über die Beiträge der verschiedenen Partonen summiert wird, ist der durch die Gluonen bedingte Wirkungsquerschnitt und damit der Wirkungsquerschnitt der durch den Gravitonenaustausch hinzukommt weiterhin unabhängig von dem der Quarks. Für die Differenz zum Standardmodellwirkungsquerschnitt gilt damit

$$\begin{aligned} & \Delta\sigma(p^+(k_1)p^-(k_2) \rightarrow Z(l_1)Z(l_2)) \\ &= \int_0^1 dx_2 \int_0^1 dx_1 f_g(x_1)f_g(x_2)\sigma(g(x_1k_1)g(x_2k_2) \rightarrow Z(l_1)Z(l_2)). \end{aligned} \quad (4.34)$$

#### 4.3.2 ZZ-Produktion im Standardmodell

Um nun einen Vergleich des zusätzlichen Wirkungsquerschnitts im ADD-Modell zu dem des Standardmodells herzustellen, muss analog der obigen Faltung über die Wirkungsquerschnitte für die Einzelprozesse innerhalb des Standardmodells gefaltet werden. Der Übergang von zwei Gluonen in zwei Z-Teilchen ist unmöglich, da Gluonen als Austauscheteilchen der starken Wechselwirkung nur mit sich selbst also nicht schwach wechselwirken, worauf bereits hingewiesen wurde. Daher ergeben sich nur Wirkungsquerschnitte für

den Übergang eines Quark-Antiquark-Paares in ein ZZ-Paar. Die folgenden Prozesse (Graphen 4.3, 4.4 und 4.5) liefern im Standardmodell in erster Ordnung einen Beitrag zur ZZ-Produktion

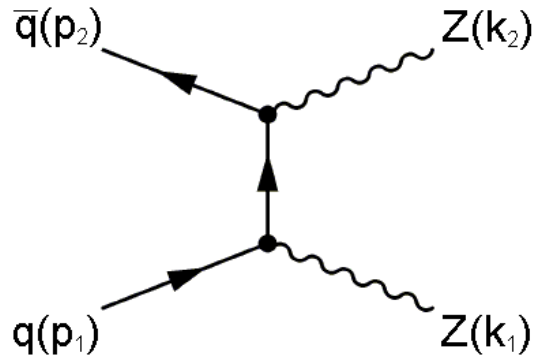


Abbildung 4.3: Quarks - Z-Teilchen

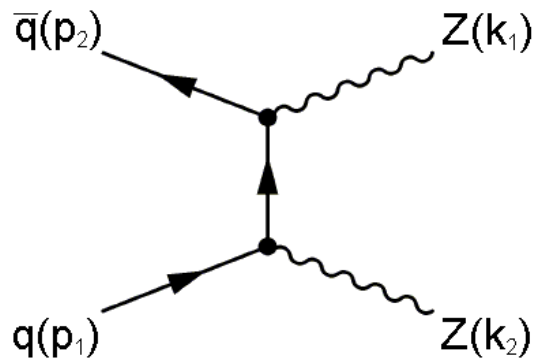


Abbildung 4.4: Quarks - Z-Teilchen

Die Graphen (4.3),(4.4) und (4.5) beziehen sich jeweils auf ein Quark-Antiquark-Paar jeder Sorte. Der Prozess, welcher dem Graphen (4.3) entspricht, ist aufgrund der großen Masse des Higgsteilchens zu vernachlässigen. Durch Auswertung dieser Feynmandiagramme gelangt man zu den Wirkungsquerschnitten für das up-quark/charme-quark und das down-quark/strange-quark. Da aufgrund des vorausgesetzten hohen Impulses die Massen der Quarks in der relativistischen Energie-Impuls-Beziehung vernachlässigbar sind, kann von folgender Relation  $E^2 \approx p^2$  ausgegangen werden. Dies bedeutet, dass der Wirkungsquerschnitt des charme-Quarks dem des up-quarks und der des strange-quarks dem des down-quarks entspricht. Die Wirkungsquerschnitte für das bottom- und das top-Quark können aufgrund ihrer riesigen Masse und damit viel geringeren Produktionswahrscheinlichkeit innerhalb des Protons

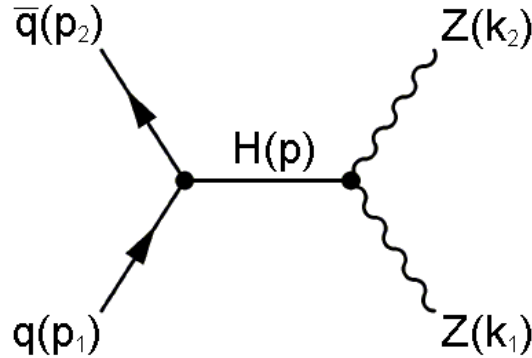


Abbildung 4.5: Quarks - Higgs - Z-Teilchen

vernachlässigt werden. Da eine Raumzeit mit zwei oder weniger zusätzlichen Dimensionen im Rahmen des ADD Modells empirisch ausgeschlossen ist, wird hier von drei oder mehr Dimensionen ausgegangen. Außerdem wird im Allgemeinen angenommen, dass die modifizierte Planckmasse  $M_D$  mindestens einen Wert von 1 TeV annimmt.

### 4.3.3 Ergebnisse und Diskussion

Um den Wirkungsquerschnitt für den Proton-Proton Prozess zu erlangen, integriert man über die Partonenverteilungsfunktionen gemäß dem vorletzten Unterkapitel. Die Partonenverteilungsfunktionen (gegeben in [29]) werden für den Prozess des Graphen (4.1) bei einer Skala von  $Q = \sqrt{\hat{s}}$  und für die Prozesse der Graphen (4.3), (4.4) und (4.5) bei einer Skala von  $Q = m_Z$  ausgewertet.

In Graph (4.6) ist der totale Wirkungsquerschnitt bei der Fermilabenergie von 2000 GeV als eine Funktion der fundamentalen Massenskala  $M_D$  aufgetragen [25]). Man sieht hier, dass die Gravitonenvermittlung gemäß der in Kapitel 3 beschriebenen Theorie bei  $M_D > 2500$  GeV keinen beobachtbaren Einfluss auf die ZZ-Produktionsrate [31] am Fermilab hat.

Die gleiche Analyse wird in Graph (4.7) für eine Proton-Proton-Reaktion bei einer Energie von 14000 GeV gezeigt, wie sie am LHC verfügbar ist. Hier könnte die drastische Differenz zwischen der ZZ-Bosonen Rate des Standardmodells und der gravitonvermittelten ZZ-Bosonen Rate eine Beobachtung von Effekten großer zusätzlicher Dimensionen sogar für eine fundamentale Skala von  $M_D \sim 18000$  GeV erlauben. Graph (4.7) zeigt, dass das ADD-Resultat bei  $\sqrt{s}=14000$  GeV die Standardmodellvorhersage für kleines  $M_D \ll \sqrt{s}$  übertrifft. Dies könnte Ausdruck der Tatsache sein, dass die Regularisierungsmethode und der Zugang der störungstheoretischen Quanten-

feldtheorie in diesem Bereich ihre Gültigkeit verlieren. Deshalb ist es sinnvoll, die in den Graphen (4.6) und (4.7) aufgezeichneten Resultate nur nahe im Bereich ihrer Gültigkeit zu verwenden  $\sqrt{s} \sim M_D$ . Dies erlaubt eine Aussage darüber, ab welchem Wert für die modifizierte Planckmasse  $M_D$  experimentelle Abweichungen von der  $ZZ$ -Produktionsrate des Standardmodells am LHC [30] erwartet werden sollten. In Graph (4.8) ist der überprüfbare Parameterraum sowohl für den LHC als auch das Tevatron aufgeführt.

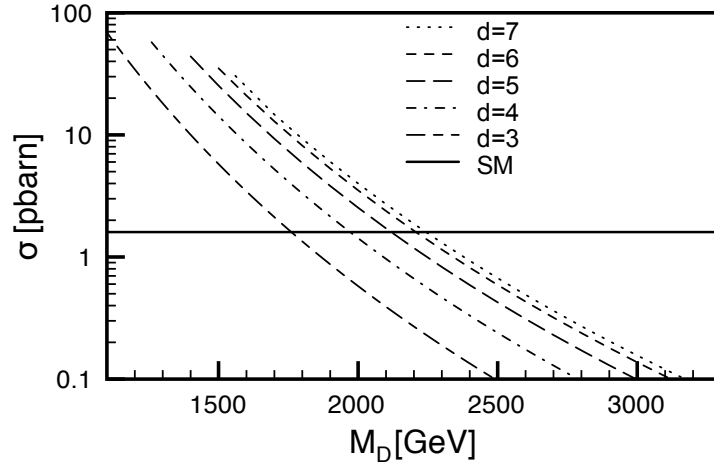


Abbildung 4.6: Vergleich zwischen dem totalen Wirkungsquerschnitt der  $p\bar{p} \rightarrow ZZ$ -Produktion, für das Standardmodell [32], das Fermilab [31] limit und das ADD model ( $d = 3, 4, 5, 6, 7$ ) für  $\sqrt{s} = 2000$  GeV in Abhängigkeit von  $M_D$ .

Für die experimentelle Beobachtung müsste man nach zwei hochenergetischen und korrelierten Leptonenpaaren im Endzustand  $Z \rightarrow l^+l^-$  suchen. Indem man den totalen Wirkungsquerschnitt mit dem Verhältnis  $\eta$  multipliziert, kann der Wirkungsquerschnitt abgeschätzt werden. Dieses wiederum kann erhalten werden, indem man das Verhältnis der Kopplungen in den Leptonen-Kanälen zu den Kopplungen in allen Fermionen-Kanälen betrachtet (es erscheint das Quadrat, weil beide Z-Bosonen zu einem di-leptonen Paar umgewandelt werden).

$$\eta = \left( \frac{(\frac{1}{2} - \sin^2(\theta_W))^2 + \sin^4(\theta_W)}{2 - 4 \sin^2(\theta_W) + \frac{16}{3} \sin^4(\theta_W)} \right)^2 \approx 0.01 \quad , \quad (4.35)$$

wobei  $\theta_W$  den Weinbergwinkel im Bereich der Z-Skala bezeichnet und desweiteren  $\sin^2(\theta_W) \approx 0.23$  gilt.

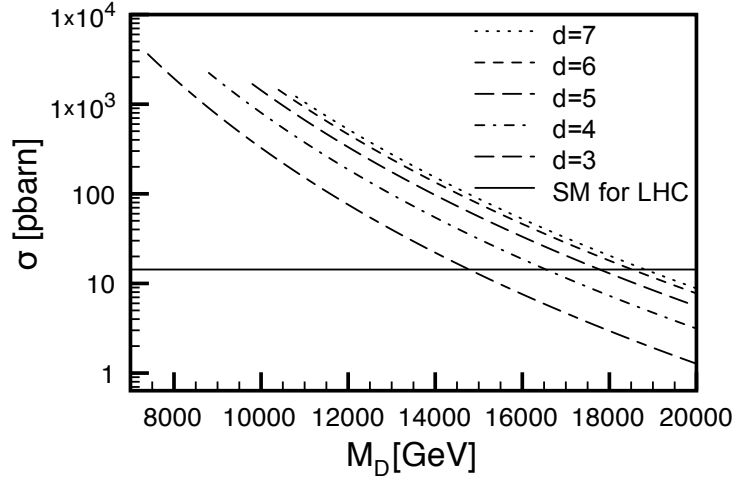


Abbildung 4.7: Vergleich zwischen dem totalen  $pp \rightarrow ZZ$  Produktions-Wirkungsquerschnitt für das Standardmodell [30] und das ADD model ( $d = 3, 4, 5, 6, 7$ ) für  $\sqrt{s} = 14000$  GeV in Abhängigkeit von  $M_D$ .

Es wurde also der zusätzliche Beitrag zur ZZ-Produktion durch Gravitonenvermittlung innerhalb des ADD Modells in Proton-Proton Reaktionen bei hohen Energien berechnet. Die Rechnung wurde in niedrigster Ordnung (in  $\sqrt{\alpha_{ew,strong}}$  und dem Verhältnis  $m_X/M_D$ ) Störungstheorie durchgeführt. Störungstheorie höherer Ordnung wäre aufgrund der Nichtrenormalisierbarkeit der effektiven Quantenfeldtheorie der Gravitation nicht durchführbar gewesen. Aber auch der hier erreichte Genauigkeitsgrad lässt sehr signifikante Aussagen zu. Es wurde gezeigt, dass der ZZ-Produktions-Wirkungsquerschnitt des Standardmodells im Vergleich zu diesem entscheidend erhöht würde, wenn die fundamentale Massenskala des ADD-Modells kleiner als 15000 GeV im Falle des LHC, beziehungsweise 1700 GeV im Falle des Tevatron wäre. Für den Fall von sieben Extra Dimensionen könnte sogar  $M_D = 18000$  GeV am LHC getestet werden.

In Betracht dieser Ergebnisse ist es wichtig, den Leser daran zu erinnern, dass die Größe des Gravitonenbeitrages des ADD Modells (4.31) direkt von der gewählten Regularisierungsskala  $\Lambda$  in Gleichung (4.30) abhängt. Aber eine solche Wahl  $\Lambda = M_D$  erscheint natürlich, da  $M_D$  ja das analogon zur Planckmasse darstellt, welche wiederum allgemein als eine absolute Gültigkeitsgrenze effektiver Quantenfeldtheorien angesehen wird. Wenn also eine Vergrößerung des Wirkungsquerschnittes der ZZ-Rate im Standardmodell bei LHC-Energien beobachtet würde, könnte dies wichtige Einsichten in die möglicherweise höherdimensionale Struktur der Raumzeit liefern.



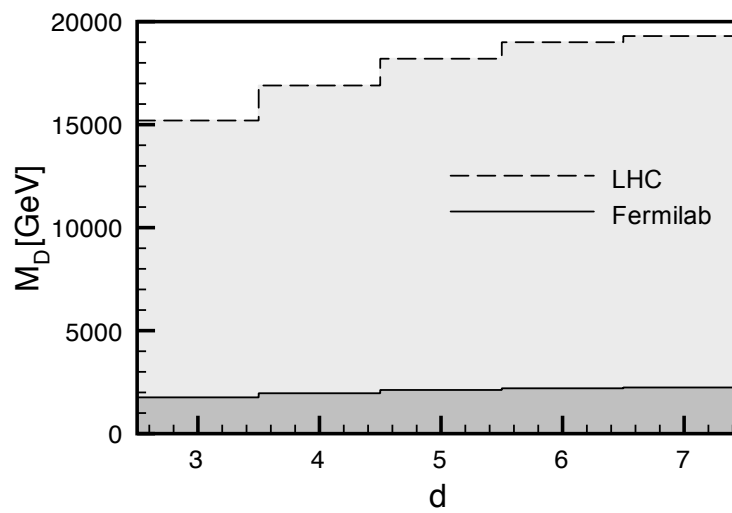


Abbildung 4.8: Der zugängliche ADD model Parameter Raum (das bedeutet der Bereich, indem der zusätzliche Wirkungsquerschnitt mindestens so groß ist wie der Wirkungsquerschnitt im Standardmodell) im ZZ-Kanal für das Tevatron und den LHC.



## Teil II

# Nichtkommutative Geometrie



# Kapitel 5

## Eichtheorien und Higgsmechanismus

### 5.1 Die Idee von Symmetrieprinzipien

„>Am Anfang war die Symmetrie<, das ist sicher richtiger als die Demokritische Behauptung >Am Anfang war das Teilchen<. Die Elementarteilchen verkörpern die Symmetrien, sie sind ihre einfachsten Darstellungen, aber sie sind erst eine Folge der Symmetrien.“ (Werner Heisenberg)

Grundsätzlich kann man die fundamentalen Teilchen des Standardmodells in zwei Klassen einteilen, in die Klasse der eigentlichen Materieteilchen und die der Austauschteilchen der Wechselwirkungsfelder. Alle Teilchen der ersten Klasse sind Fermionen und alle der zweiten Klasse Bosonen. Fermionen unterscheiden sich dadurch von Bosonen, dass sie einen halbzahligen Spin besitzen, während der Spin letzterer ganzzahlig ist. Dies bedeutet, dass Fermionen im Gegensatz zu Bosonen dem Paulischen Ausschließungsprinzip gehorchen, das besagt, dass sich zwei Elementarteilchen mit halbzahligen Spin niemals im gleichen Zustand befinden dürfen. Gemäß dem von Pauli bewiesenen Spin-Statistik-Theorem gehorchen Fermionen daher einer anderen Statistik als Bosonen.

Die unterschiedlichen Spins der einzelnen Elementarteilchen spiegeln sich mathematisch in einer verschiedenen Struktur der sie beschreibenden Felder wider. Nun müssen aber alle diese Felder, da sie nun einmal auf der Raumzeit leben, invariant unter der Symmetriegruppe der speziellen Relativitätstheorie sein, also der Poincarégruppe. Die Transformationen der Poincarégruppe müssen also auf dem entsprechenden mathematischen Raum dargestellt werden, der die Spinstruktur des Teilchens beschreibt.

In Rahmen relativistischer Quantenfeldtheorien beschreibt man Elementarteilchen bzw. die ihnen entsprechenden Felder daher als irreduzible Darstellungen der Poincarégruppe. Neben der Spinstruktur spielt hier natürlich auch noch die Frage eine Rolle, ob es sich um massebehaftete oder Teilchen ohne Ruhemasse handelt. Das Quadrat der Ruhemasse des Teilchens ist neben dem Spin Casimiroperator der Poincarégruppe und stellt damit wie der Spin eine lorentzinvariante Eigenschaft des Teilchens selbst dar. Die Struktur der Poincarégruppe wird durch die folgende Liealgebra beschrieben

$$\begin{aligned} i[J^{\mu\nu}, J^{\rho\sigma}] &= \eta^{\nu\rho} J^{\mu\sigma} - \eta^{\mu\rho} J^{\nu\sigma} - \eta^{\sigma\mu} J^{\rho\nu} + \eta^{\sigma\nu} J^{\rho\mu}, \\ i[P^\mu, J^{\rho\sigma}] &= \eta^{\mu\rho} P^\sigma - \eta^{\rho\sigma} P^\mu, \\ i[P^\mu, P^\sigma] &= 0. \end{aligned} \tag{5.1}$$

Die  $J^{\mu\nu}$ -Generatoren beschreiben die homogene Lorentzgruppe. Diejenigen Generatoren, deren Indizes Werte zwischen 1 und 3 annehmen, entsprechen den Drehimpulsoperatoren, also den Generatoren der Drehungen in den drei Raumrichtungen, wohingegen die Generatoren mit einer 0 als Index die Lorentzboosts in die drei Raumrichtungen darstellen. Aufgrund der Antisymmetrie verschwinden die Elemente mit zwei gleichen Indizes. Insgesamt gibt es also sechs unabhängige Symmetrietransformationen innerhalb der homogenen Lorentzgruppe. Hinzu kommen die vier Raumzeittranslationen, welche durch die Impulsoperatoren  $P^k$  und den Hamiltonoperator  $P^0$  beschrieben werden und untereinander kommutieren. Insgesamt ergibt sich also eine zehndimensionale Gruppe.

Jede Sorte Elementarteilchen gehorcht einer bestimmten Feldgleichung, die über das Hamiltonsche Wirkungsprinzip mit einer Lagrangedichte verbunden werden kann. Die Dynamik jedes freien Feldes, das einem bestimmten Teilchen entspricht, kann also mit Hilfe der entsprechenden Feldgleichung beschrieben werden. Nun beruht aber das reale physikalische Geschehen im Wesentlichen auf Wechselwirkung zwischen verschiedenen Objekten. Es drängt sich also die Frage auf, wie die Kopplung zwischen den verschiedenen Materieteilchen bzw. Feldern und den Wechselwirkungsfeldern beschrieben werden kann. Eine der faszinierendsten Tatsachen der modernen Physik ist, dass man die Wechselwirkung der Felder untereinander auch auf Symmetrieprinzipien zurückführen kann. Hierzu muss zunächst einmal erwähnt werden, dass Felder neben der äußeren raumzeitlichen Struktur und dem Spin als irreduzible Darstellungen der Poincarégruppe auch noch zusätzliche innere Strukturen aufweisen. Die Idee der zusätzlichen inneren Symmetrien geht auf Heisenberg zurück, der im Jahr 1932 den Isospin einführte. Der Unterschied zwischen dem Proton und dem Neutron stellt sich hier in den beiden unterschiedli-

chen Einstellungen des Isospins dar. In Bezug auf die starke Wechselwirkung verhalten sich die beiden Teilchen vollkommen gleich. Die Symmetrie der Naturgesetze bezüglich des Isospins wird also durch die unterschiedliche Ladung und die leicht unterschiedlichen Massen gebrochen.

Eine ähnliche Idee liegt der Beschreibung der Wechselwirkung von Teilchen im Rahmen von Eichtheorien zu Grunde. Man betrachtet zunächst ein Teilchen, das bestimmte zusätzliche Eigenschaften aufweist. Diese Klasse von Eigenschaften beschreibt man dann formal durch Zuordnung einer neuen Quantenzahl, welche die Beschreibung durch einen neuen inneren Raum zur Folge hat, der natürlich gemäß den Postulaten der Quantentheorie eine Hilbertraumstruktur aufweisen muss. Da aber nur innere Produkte zwischen Zuständen und nicht Zustände an sich physikalisch relevant sind, muss die Theorie invariant unter der bezüglich dieses Raumes fundamentalen unitären Transformationsgruppe sein. Mit einer Symmetrietransformation bezüglich des inneren Raumes, die einer solchen Transformationsgruppe angehört, meint man zunächst eine Transformation, die keine Raumzeitabhängigkeit aufweist und die man daher als global bezeichnet. Ein im Hinblick auf Eichtheorien relevantes Beispiel eines zusätzlichen inneren Freiheitsgrades liefert die Farbladung der Quarks.

In Rahmen von Eichfeldtheorien fordert man nun die Invarianz nicht nur unter globalen Symmetrien, sondern unter inneren Symmetrietransformationen, die vom speziellen Raumzeitpunkt des Feldes abhängen. Die freien Materiefeldgleichungen erfüllen diese Forderung zunächst nicht. Durch Einführung einer kovarianten Ableitung, welche einen Kopplungsterm in der Lagrangedichte zur Folge hat, kann man jedoch Invarianz auch unter lokalen Symmetrien gewährleisten. Die Zustände der Felder leben mathematisch in einem Raum, der dem Tensorprodukt des Hilbertraumes der quadratintegrierbaren Funktionen mit dem Spinraum und dem entsprechenden Raum der zusätzlichen inneren Symmetrien entspricht. Wenn man also eine Symmetrietransformation betrachtet, die an jedem Raumzeitpunkt anders wirkt, betrachtet man in gewisser Weise an jedem Raumzeitpunkt einen separaten inneren Raum gleicher Struktur. Man hat es also nicht mehr mit einem globalen Tensorprodukt zu tun, sondern es muss eine mathematische Struktur geben, welche diese einzelnen Räume miteinander verbindet. Es handelt sich hierbei um die gleiche formale Beschreibungsweise wie im Falle der Allgemeinen Relativitätstheorie. Die in der kovarianten Ableitung auftauchenden Zusammenhangskoeffizienten bestimmen, wie zwei Elemente der entsprechenden Räume verglichen werden müssen. Der Unterschied zur Allgemeinen Relativitätstheorie besteht darin, dass es dort die Tangentialräume an die einzelnen Raumzeitpunkte, also Verschiebungsvektoren auf der Raumzeit sind, die miteinander verglichen werden. Im Falle von Eichtheorien sind es die

Elemente der inneren Räume. Im folgenden soll es nun um die konkrete Beschreibungswiese von Eichtheorien gehen, welche von Yang und Mills in die Teilchenphysik eingeführt wurden und beispielsweise in [15], [21] und [34] dargestellt ist.

## 5.2 Das Prinzip lokaler Eichinvarianz

### 5.2.1 Innere Symmetrien einer Lagrangedichte

$\Psi$  sei ein Materiefeld, das einer freien Materiefeldgleichung gehorchen möge. Da alle fundamentalen Materiefelder außer dem Higgsfeld, auf das später noch zu sprechen zu kommen sein wird, Fermionen sind, ist dies die Diracgleichung. Desweiteren enthalte  $\Psi$  einen zusätzlichen inneren Freiheitsgrad und soll damit also  $n$  Komponenten beschreiben, die ihrerseits jeweils wieder einen Diracspinor darstellen. Die entsprechende Lagrangedichte lautet damit

$$\mathcal{L} = \bar{\Psi}^n (i\gamma^\mu \partial_\mu - m) \Psi_n, \quad (5.2)$$

wobei  $n$  die Komponenten des inneren Freiheitsgrades beschreiben soll. Wenn man  $\Psi$  nun einer Transformation der unitären Symmetriegruppe des inneren Raumes aussetzt, also der  $SU(N)$

$$\Psi(x) \rightarrow U\Psi(x) \quad , \quad \Psi^\dagger(x) \rightarrow \Psi^\dagger(x)U^\dagger, \quad (5.3)$$

sich die beiden Operatoren  $U$  und  $U^\dagger$  gegenseitig auf, denn der Operator  $U$  wirkt auf einen anderen Raum als die Gammamatrizen und der Ableitungsoperator und kommutiert daher mit diesen. Damit ist die Lagrangedichte invariant unter dieser Transformation. Der tiefere Grund hierfür ist, wie bereits im letzten Abschnitt erwähnt, die Tatsache, dass nur innere Produkte zwischen Zuständen physikalisch von Bedeutung sind, und diese sind unter unitären Transformationen invariant. Die unitären Operatoren haben folgende Gestalt

$$U = e^{i\omega_a T^a}, \quad (5.4)$$

wobei die  $T^a$  die Generatoren der Gruppe darstellen, welche hermitesch sind und eine Liealgebra bilden. Diese wiederum ist durch die Vertauschungsrelationen gegeben

$$[T^a, T^b] = i f_c^{ab} T^c. \quad (5.5)$$

Hierbei beschreiben die  $f_c^{ab}$  die sogenannten Strukturkonstanten der Gruppe.



### 5.2.2 Übergang zu lokalen Symmetrien und Wechselwirkung

Wenn der Transformationsparameter  $\omega$  aber jetzt nicht mehr konstant ist, sondern vom Raumzeitpunkt abhängt, was zu einer Transformation der folgenden Gestalt führt

$$\Psi \rightarrow U(x)\Psi, \quad (5.6)$$

so gilt für die Transformation der in der Lagrangedichte auftauchenden Ableitung des Feldes  $\partial_\mu \Psi$

$$\partial_\mu \Psi(x) \rightarrow \partial_\mu U(x)\Psi(x) = [\partial_\mu U(x)]\Psi(x) + U(x)\partial_\mu \Psi(x) \neq U(x)\partial_\mu \Psi(x). \quad (5.7)$$

Dies hat zur Folge, dass die Lagrangedichte nicht mehr invariant unter der nun lokalen unitären Transformation ist. Um die Invarianz auch unter lokalen Transformationen  $U(x)$  zu gewährleisten, muss die Ableitung  $\partial_\mu$  durch eine kovariante Ableitung  $D_\mu$  ersetzt werden, die folgende Transformationseigenschaft erfüllt

$$D_\mu \rightarrow U(x)D_\mu U^\dagger(x). \quad (5.8)$$

Wenn diese Transformationseigenschaft erfüllt ist, gilt nämlich

$$D_\mu \Psi(x) \rightarrow U(x)D_\mu U^\dagger(x)U(x)\Psi(x) = U(x)D_\mu \Psi(x). \quad (5.9)$$

Damit ist die Lagrangedichte

$$\mathcal{L} = \bar{\Psi}^n (i\gamma^\mu D_\mu - m)\Psi_n \quad (5.10)$$

invariant unter den entsprechenden lokalen Symmetrietransformationen. Es muss also eine entsprechende kovariante Ableitung gebildet werden, welche die Bedingung (5.8) erfüllt. Hierzu sei folgender Ansatz gewählt

$$D_\mu = \partial_\mu + iA_\mu(x), \quad (5.11)$$

wobei  $A_\mu(x)$  ein Vektorfeld ist, dass später mit dem Wechselwirkungsfeld identifiziert wird und Werte in der Liealgebra der Symmetriegruppe annimmt. Es kann daher als Linearkombination der Generatoren der Gruppe ausgedrückt werden

$$A_\mu(x) = A_\mu^a(x)T^a. \quad (5.12)$$

Einsetzen des Ausdruckes für die kovariante Ableitung (5.11) in (5.8) ergibt

$$\partial_\mu + iA_\mu \rightarrow U(x)(\partial_\mu + iA_\mu)U^\dagger(x). \quad (5.13)$$

Dies kann umgeformt werden zu

$$A_\mu \rightarrow -iU(x)[\partial_\mu U(x)^\dagger] + U(x)A_\mu U(x)^\dagger. \quad (5.14)$$

Es ist also eine Transformationsbedingung für  $A_\mu$  gefunden. Um dies weiter umzuformen betrachten wir nun infinitesimale Transformationen. Unter dieser Voraussetzung können wir die Entwicklung des Transformationsoperators  $U(x)$  in erster Ordnung verwenden

$$U(x) = 1 + i\omega^a T^a + \mathcal{O}(\omega^2). \quad (5.15)$$

Einsetzen in die Transformationsbedingung für das Vektorfeld  $A_\mu$  ergibt

$$A_\mu \rightarrow A_\mu - \partial_\mu \omega^a T^a + i[\omega^a T^a, A_\mu] + \mathcal{O}(\omega^2). \quad (5.16)$$

Die Lagrangedichte (5.10) mit der kovarianten Ableitung (5.11) wird also unter einer infinitesimalen Transformation der Form

$$\begin{aligned} \delta\Psi &= i\omega^a T^a \Psi, \\ \delta A_\mu &= -\partial_\mu \omega^a T^a + i[\omega^a T^a, A_\mu] \end{aligned} \quad (5.17)$$

invariant gelassen. Der erste Teil der Transformation des Vektorfeldes entspricht also der Form nach einer Eichtransformation des elektromagnetischen Feldes. Hinzu kommt jedoch, da das Vektorfeld liealgebrawertig ist und die Generatoren nicht kommutieren, der Kommutator des Eichparameters mit dem Vektorfeld. Es ist nun aufgrund der Transformationseigenschaften sinnvoll, das Vektorfeld in der kovarianten Ableitung mit einem neuen Wechselwirkungsfeld zu identifizieren, dessen Existenz so gewissermaßen aus der Forderung nach lokaler Eichinvarianz unter einer gewissen Symmetriegruppe hergeleitet wurde. Die Nichtkommutativität der Generatoren der Eichgruppe und damit der entsprechenden Felder entspricht hierbei ihrer Selbstwechselwirkung. Natürlich ist dies eigentlich so nicht ganz richtig, denn bisher wurde eigentlich nichts anderes getan, als an jedem Raumzeitpunkt ein anderes Koordinatensystem bezüglich des inneren Raumes eingeführt. Die kovariante Ableitung enthält die Information, wie die Komponenten des inneren Raumes an verschiedenen Raumzeitpunkten miteinander verglichen werden müssen. Dies hat aber zunächst eine rein mathematische Bedeutung. Um der kovarianten Ableitung  $D_\mu$  und dem mit ihr eingeführten Feld  $A_\mu$  physikalische Signifikanz zu verleihen, bedarf es einer zusätzlichen Annahme, die analog

dem Äquivalenzprinzip in der Allgemeinen Relativitätstheorie ist. Auf die mit dieser Frage verbundenen tiefgründigen philosophischen Probleme, denen eine herausragende Bedeutung in der zeitgenössischen Naturphilosophie zukommt, kann an dieser Stelle nicht näher eingegangen werden. Hierzu sei auf [41] verwiesen.

### 5.2.3 Die Dynamik des Wechselwirkungsfeldes

Was bisher beschrieben wurde, ist die Art und Weise wie ein zunächst freies Materiefeld an das jeweilige Wechselwirkungsfeld koppelt. In der neuen Lagrangedichte erscheint aber bisher noch kein Term, der die innere Dynamik des Wechselwirkungsfeldes selbst beschreibt. Ein solcher Term muss natürlich auch die Forderung nach lokaler Eichinvarianz erfüllen. Zunächst soll ein Feldstärketensor  $F_{\mu\nu}$  wie folgt definiert werden

$$F_{\mu\nu} = -i[D_\mu, D_\nu]. \quad (5.18)$$

Ein solcher Ausdruck muss eichinvariant sein, da die in ihm enthaltenen kovarianten Ableitungen eichinvariant sind. Durch Einsetzen des Ausdruckes (5.11) in (5.18) erhält man

$$F_{\mu\nu} = \partial_\mu A_\nu - \partial_\nu A_\mu + i[A_\mu, A_\nu]. \quad (5.19)$$

Es handelt sich also um eine Verallgemeinerung des elektromagnetischen Feldstärketensors. Im Spezialfall kommutierender Felder  $A_\mu$  geht er in diesen über. Da der Feldstärketensor ebenso wie das Vektorfeld  $A_\mu$  liealgebrawertig ist, kann er ebenso nach den Generatoren der Eichgruppe entwickelt werden

$$F_{\mu\nu} = F_{\mu\nu}^a T^a, \quad (5.20)$$

wobei für die einzelnen Komponenten  $F_{\mu\nu}^a$  gilt

$$F_{\mu\nu}^a = \partial_\mu A_\nu^a - \partial_\nu A_\mu^a - f^{abc} A_\mu^b A_\nu^c. \quad (5.21)$$

Um nun den entsprechenden Term in der Lagrangedichte zu erhalten, muss ein skalarer Ausdruck aus dem Feldstärketensor konstruiert werden. Nur eine Lagrangedichte der folgenden Form ist mit Lorentzinvarianz und Paritätserhaltung verträglich

$$\mathcal{L} = -\frac{1}{4} g_{ab} F_{\mu\nu}^a F^{b\mu\nu}, \quad (5.22)$$

wobei durch Definition einer geeigneten Skala grundsätzlich erreicht werden kann, dass  $g_{ab} = \delta_{ab}$ . Damit nimmt die Gesamtlagrangedichte die folgende Gestalt an

$$\mathcal{L} = \bar{\Psi}^n (i\gamma^\mu D_\mu - m) \Psi_n - \frac{1}{4} F_{\mu\nu}^a F^{a\mu\nu}. \quad (5.23)$$

Es ist nun wichtig, dass Eichinvarianz nur dann gewährleistet werden kann, wenn die entsprechenden Vektorbosonen des Wechselwirkungsfeldes  $A_\mu$  keine Masse besitzen. Ein zusätzlicher Term etwa der Form  $m^2 A_\mu A^\mu$  in der Lagrangedichte würde die Eichinvarianz aufheben.

### 5.3 Elektroschwache Vereinheitlichung und Higgsmechanismus

Alle bekannten in der Natur vorkommenden Wechselwirkungen können durch Eichtheorien beschrieben werden. Im Falle des Elektromagnetismus ist es die  $U(1)$ -Gruppe, bei der schwachen Wechselwirkung die Symmetriegruppe des schwachen Isospins  $SU(2)$ , bei der starken Wechselwirkung die  $SU(3)$  colour und bei der Gravitation schließlich die Lorentzgruppe (siehe Kapitel 3), welche als Eichgruppen zu Grunde gelegt werden. Nun ist es aber eine empirische Tatsache, dass die Austauscheteilchen der schwachen Wechselwirkung eine Masse aufweisen. Dies steht jedoch im Widerspruch zu der erwähnten Eigenschaft, dass Massenterme die Eichinvarianz brechen. Eine Lösung dieses Problems liefert die Generierung der Massen durch eine sogenannte spontane Symmetriebrechung, die auch als Higgsmechanismus bezeichnet wird, benannt nach dem schottischen Physiker Peter Higgs [35].

#### 5.3.1 Die Elektroschwache Theorie

Im folgenden soll nun der Higgsmechanismus im Rahmen der Eichtheorie, welche die elektromagnetische und die schwache Wechselwirkung in einem einheitlichen Schema beschreibt, betrachtet werden. Sie wurde von Glashow [36], Weinberg [37] und Salam [38] entwickelt und ist beispielsweise in [21],[39] und [40] zu finden. Als Eichgruppe wird hier die Gruppe  $SU(2) \times U(1)$  zu Grunde gelegt, wobei sich die  $SU(2)$ -Gruppe auf den schwachen Isospin, also beispielsweise das Dublett bestehend aus Elektron und Elektroneneutrino bezieht. Da Neutrinos nur linkshändig vorkommen und der rechtshändige Teil des entsprechenden Diracspinors demnach bezüglich des schwachen Isospins ein Singlett darstellt, muss in diesem Falle die  $SU(2)$  genau genommen auf die linkshändige Komponente des Spinors eingeschränkt werden. Die gesamte Gruppe besitzt insgesamt vier Transformationsfreiheitsgrade, die den drei Generatoren der  $SU(2)_L$  und der Phasentransformation der  $U(1)$  entsprechen. Eine allgemeine Symmetrietransformation angewandt auf einen Zu-

stand, welcher ein Dublett aus Elektron und Elektronneutrino beschreibt, hat also folgende Gestalt

$$\Psi \rightarrow \exp(i[\omega^a T^a + \omega^y Y]) \Psi, \quad (5.24)$$

wobei die drei Generatoren  $T^a$  der  $SU(2)_L$  und der Generator  $Y$  der  $U(1)$ , auch als schwache Hyperladung bezeichnet, wie folgt definiert sind

$$T^a = g \left[ \frac{1}{2} \left( \frac{1 + \gamma_5}{2} \right) \sigma^a \right] \quad (5.25)$$

$$Y = g' \left[ \frac{1}{2} \left( \frac{1 + \gamma_5}{2} \right) \mathbf{1} + \left( \frac{1 - \gamma_5}{2} \right) \right]. \quad (5.26)$$

Hierbei ist  $\mathbf{1}$  die Einheitsmatrix in zwei Dimensionen und die  $\sigma^a$  bezeichnen die Paulischen Spinmatrizen

$$\mathbf{1} = \begin{pmatrix} 1 & 0 \\ 0 & 1 \end{pmatrix}, \sigma^1 = \begin{pmatrix} 0 & 1 \\ 1 & 0 \end{pmatrix}, \sigma^2 = \begin{pmatrix} 0 & -i \\ i & 0 \end{pmatrix}, \sigma^3 = \begin{pmatrix} 1 & 0 \\ 0 & -1 \end{pmatrix}. \quad (5.27)$$

Die Operatoren  $\frac{1+\gamma_5}{2}$  und  $\frac{1-\gamma_5}{2}$  stellen die Projektion auf die links- bzw. rechts-händige Komponente des Diracspinors dar. Der elektrische Ladungsoperator ist eine Linearkombination des Transformationsoperators der  $U(1)$ , nämlich  $Y$ , und der dritten Komponente der Transformation im schwachen Isospinraum  $T^3$

$$Q = \frac{e}{g} T^3 - \frac{e}{g'} Y. \quad (5.28)$$

Damit ist ein reiner Elektronzustand im schwachen Isospinraum Eigenzustand zur elektrischen Ladung, worin sich widerspiegelt, dass nur die Elektronen, nicht aber die Neutrinos eine Ladung tragen. Nun werden die neuen Felder  $W^\mu, W^{\mu\dagger}, Z^\mu$  und  $A^\mu$  eingeführt, die wie folgt definiert sind

$$W^\mu = \frac{1}{\sqrt{2}} (\mathcal{A}_1^\mu + i\mathcal{A}_2^\mu) \quad (5.29)$$

$$W^{\mu\dagger} = \frac{1}{\sqrt{2}} (\mathcal{A}_1^\mu - i\mathcal{A}_2^\mu), \quad (5.30)$$

die dem  $W^+$ - und dem  $W^-$ -Teilchen der schwachen Wechselwirkung entsprechen, sowie

$$Z^\mu = \cos(\theta_W)\mathcal{A}_3^\mu + \sin(\theta_W)\mathcal{B}^\mu \quad (5.31)$$

$$A^\mu = -\sin(\theta_W)\mathcal{A}_3^\mu + \cos(\theta_W)\mathcal{B}^\mu. \quad (5.32)$$

Hier beschreibt  $\theta$  den sogenannten Weinbergwinkel, den Mischungswinkel zwischen dem elektromagnetischen Feld  $A^\mu$ , das dem Photon und dem Feld, das dem Z-Teilchen der schwachen Wechselwirkung entspricht. Der Weinbergwinkel ist auf folgende Weise mit den Parametern  $g$  und  $g'$  verknüpft, welche das Verhältnis der  $SU(2)_L$ - zu den  $U(1)$  Transformationen bestimmen

$$g = -\frac{e}{\sin\theta_W} \quad , \quad g' = -\frac{e}{\cos\theta_W}. \quad (5.33)$$

### 5.3.2 Generierung der Massen der Eichbosonen

In der bisherigen Beschreibung sind die verschiedenen Wechselwirkungsfelder zwangsläufig noch masselos geblieben, da wie bereits erwähnt die Forderung der Eichinvarianz keine Massenterme zulässt. Die Austauscheteilchen der schwachen Wechselwirkung müssen ihre Massen also gewissermaßen auf indirektem Wege erhalten. Aus diesem Grunde postuliert man ein skalares Hintergrundfeld, das Higgsfeld, dessen Selbstwechselwirkung durch einen zusätzlichen Potentialterm beschrieben wird. Das Higgsfeld stellt ebenfalls ein Dublett bezüglich des schwachen Isospins dar, wobei vorausgesetzt wird, dass der obere Zustand Eigenzustand zum Ladungsoperator mit positiver Ladung ist

$$\Phi = \begin{pmatrix} \Phi^+ \\ \Phi^0 \end{pmatrix}. \quad (5.34)$$

Der Grund hat damit zu tun, dass auch das Elektron seine Masse durch das Higgsfeld durch eine Yukawakopplung erhalten soll. Da im Falle des Higgsfeldes beide Komponenten sowohl rechts- als auch linkshändig vorkommen sollen, tauchen in den Generatoren der Transformationen keine Projektionsoperatoren auf die rechts- bzw. linkshändige Komponente auf. Unter Berücksichtigung des Zusammenhangs zwischen Ladung und Hyperladung (5.28) und der Gestalt des Ladungsoperators des Higgsfeldes

$$q = -\frac{g'}{2} \begin{pmatrix} 1 & 0 \\ 0 & 1 \end{pmatrix} \quad (5.35)$$

ergeben sich damit folgende Generatoren für die Transformation des Higgsfeldes

$$\bar{T}^a = \frac{g}{2}\sigma^a, \quad (5.36)$$

$$\bar{Y} = -\frac{g'}{2}\mathbf{1}. \quad (5.37)$$

Die entsprechende eichinvariante Lagrangedichte lautet

$$\mathcal{L}_{Higgs} = \frac{1}{2}(D_\mu\Phi)(D^\mu\Phi)^\dagger + \frac{\mu^2}{2}\Phi^\dagger\Phi - \frac{\lambda}{4}(\Phi^\dagger\Phi)^2, \quad (5.38)$$

wobei für die kovariante Ableitung  $D_\mu$  gilt

$$D_\mu = \partial_\mu + i\mathcal{A}_\mu^a T^a + i\mathcal{B}_\mu Y. \quad (5.39)$$

Nun besitzt das skalare Feld bei dieser Lagrangedichte allerdings einen von 0 verschiedenen Vakuumerwartungswert  $\nu$ , der dem Minimum des Potentialterms in der Higgslagrangedichte  $\frac{\mu^2}{2}\Phi^\dagger\Phi - \frac{\lambda}{4}(\Phi^\dagger\Phi)^2$  entspricht. Für das Betragsquadrat gilt

$$\nu^2 = \langle\Phi\rangle^\dagger\langle\Phi\rangle = \frac{\mu^2}{\lambda}. \quad (5.40)$$

Es ist grundsätzlich möglich, eine entsprechende  $SU(2) \times U(1)$  Eichtransformation durchzuführen, welche die obere Komponente des Higgsfeldes zum verschwinden bringt und die untere reell macht. Eine solche Eichung wird als unitäre Eichung bezeichnet. Damit gilt für die Vakuumerwartungswerte

$$\langle\Phi^+\rangle = 0 \quad , \quad \langle\Phi^0\rangle = \nu. \quad (5.41)$$

Wenn man nun das Feld  $\Phi$  um den Vakuumerwartungswert entwickelt

$$\Phi = \begin{pmatrix} 0 \\ \nu + \phi \end{pmatrix}, \quad (5.42)$$

so taucht im Kopplungsterm der Wechselwirkungsfelder an das Higgsfeld der Ausdruck

$$\left( i \left[ (\mathcal{A}_\mu^a \bar{T}^a + \mathcal{B}_\mu \bar{Y}) \begin{pmatrix} 0 \\ v \end{pmatrix} \right] \right) \left( i \left[ (\mathcal{A}_\mu^a \bar{T}^a + \mathcal{B}_\mu \bar{Y}) \begin{pmatrix} 0 \\ v \end{pmatrix} \right] \right)^\dagger \quad (5.43)$$

auf. Dieser kann unter Verwendung von (5.37) wie folgt umgeschrieben werden

$$\left| \frac{g}{2} A_\mu^1 \begin{pmatrix} \nu \\ 0 \end{pmatrix} - i \frac{g}{2} A_\mu^2 \begin{pmatrix} \nu \\ 0 \end{pmatrix} - \frac{g}{2} A_\mu^3 \begin{pmatrix} 0 \\ \nu \end{pmatrix} - \frac{g'}{2} Y B_\mu^1 \begin{pmatrix} 0 \\ \nu \end{pmatrix} \right|^2. \quad (5.44)$$

Wenn man nun (5.29) und (5.30) in Erinnerung ruft, sowie (5.31) nach  $\mathcal{B}$  umstellt und in obige Gleichung (5.44) einsetzt, so heben sich die  $\mathcal{A}_\mu^3$ -Terme auf und man erhält

$$\left| \frac{g}{\sqrt{2}} W_\mu^\dagger \begin{pmatrix} \nu \\ 0 \end{pmatrix} + \frac{gg'}{e} Z_\mu \begin{pmatrix} 0 \\ \nu \end{pmatrix} \right|^2 = \frac{\nu^2 g^2}{4} W_\mu^\dagger W^\mu + \frac{\nu^2 (g^2 + g'^2)}{8} Z_\mu Z^\mu. \quad (5.45)$$

Diese haben die Gestalt von Massentermen für die W-Felder und das Z-Feld, welche so also eine Masse erhalten haben, wobei man unter Berücksichtigung der Tatsache, dass die Massenterme von Skalar- und Vektorfeldern immer das Massenquadrat enthalten, für die Massen der W- und Z-Teilchen aus obigem Ausdruck folgende Werte herausliest

$$m_W = \frac{\nu g}{2}, \quad m_Z = \frac{\nu \sqrt{g^2 + g'^2}}{2}. \quad (5.46)$$

Da kein Kopplungsterm für das Photonenfeld  $A_\mu$  an den Vakuumerwartungswert des Higgsfeldes auftaucht, bleiben diese masselos. Die Eigenschaft der Masse stellt sich also als Wechselwirkung mit einem skalaren Hintergrundfeld dar. Dies bedeutet in gewisser Weise die Rückführung des Begriffes der Masse auf den der Wechselwirkung.



# Kapitel 6

## Das Grundprinzip der nichtkommutativen Geometrie

### 6.1 Die Einführung einer neuen Algebra für Ort und Impuls

Beim Übergang von einer klassischen Theorie zu der entsprechenden Quantentheorie ersetzt man die klassischen Größen durch hermitesche Operatoren, die man bestimmten Vertauschungsrelationen unterwirft und deren Eigenwerte die möglichen Messwerte der entsprechenden Größen darstellen. Im speziellen Fall des Übergangs von der klassischen Punktteilchenmechanik zur Quantenmechanik, dem historisch ersten Beispiel einer Quantisierung, werden an die Operatoren, die den Ort  $x$  und den Impuls  $p$  des Teilchens beschreiben sollen, die folgenden Vertauschungsrelationen gefordert

$$[\hat{x}^i, \hat{x}^j]_- = 0 \quad , \quad [\hat{p}^i, \hat{p}^j]_- = 0 \quad , \quad [\hat{x}^i, \hat{p}^j]_- = \delta_j^i. \quad (6.1)$$

#### 6.1.1 Vertauschungsrelationen zwischen den Koordinaten

Die Idee der nichtkommutativen Geometrie geht nun davon aus, die Vertauschungsrelation (6.1) dahingehend abzuändern, dass der Kommutator der Raumzeitkoordinaten nicht mehr verschwindet. Man fordert also eine neue Vertauschungsrelation zwischen den Ortskoordinaten

$$[\hat{x}^i, \hat{x}^j]_- \neq 0. \quad (6.2)$$

Eine solche Vertauschungsrelation lässt jedoch die Vertauschungsrelationen zwischen den Ortskoordinaten und den Ableitungen nach den Ortskoordinaten

ten und damit auch den Impulsoperatoren unberührt. Die Auswirkung auf die Vertauschungsrelation der Ableitungsoperatoren untereinander ist zunächst variabel. Die Idee, einen nichtverschwindenden Kommutator der Ortskoordinaten einzuführen, geht auf [42] zurück. In neuerer Zeit wurde durch Seiberg und Witten gezeigt, dass sich eine Nichtkommutativität als Konsequenz aus Stringtheorien ergibt [43]. Die Anwesenheit eines magnetischen Hintergrundfeldes kann dafür sorgen, dass sich normale Feldtheorien effektiv so verhalten, als läge eine nichtkommutative Geometrie vor [44]. Es gibt verschiedene Formen der Nichtkommutativität der Ortskoordinaten. Eine Möglichkeit ist, dass sie eine Liealgebra bilden und die Vertauschungsrelation folgende Gestalt hat

$$[\hat{x}^i, \hat{x}^j]_- = i\lambda_k^{ij} \hat{x}^k, \quad (6.3)$$

wobei die  $\lambda_k^{ij}$  die Strukturkonstanten der Gruppe darstellen. Dem Kommutator zweier Ortskoordinaten wird also selbst wieder eine Ortskoordinate zugeordnet. Eine solche Struktur ist analog den Liealgebren der Generatoren der Eichgruppen. Eine weitere Möglichkeit ist die Zuordnung eines bezüglich der Koordinaten quadratischen Ausdrucks der folgenden Form

$$[\hat{x}^i, \hat{x}^j]_- = \left( \frac{1}{q} \hat{R}_{kl}^{ij} - \delta_l^i \delta_k^j \right) \hat{x}^k \hat{x}^l. \quad (6.4)$$

Im kanonischen Fall wird der Kommutator gleich einem antisymmetrischen Tensor  $i\theta^{ij}$  gesetzt, sodass sich die folgende Vertauschungsrelation ergibt

$$[\hat{x}^i, \hat{x}^j]_- = i\theta^{ij}. \quad (6.5)$$

In den folgenden Betrachtungen soll grundsätzlich eine kanonische Vertauschungsrelation zu Grunde gelegt werden. Desweiteren soll davon ausgegangen werden, dass das in diesem Falle auftretende  $\theta^{ij}$  konstant ist, also nicht von den Koordinaten abhängt.

### 6.1.2 Implikation für die Ableitungsoperatoren

Es stellt sich nun noch die Frage nach den Vertauschungsrelationen der Ableitungsoperatoren. Die Größe  $\hat{x}^i - i\theta^{ij} \hat{\partial}_j$  kommutiert mit den Ortskoordinaten, denn

$$\begin{aligned} [\hat{x}^i - i\theta^{ij} \hat{\partial}_j, \hat{x}^k]_- &= [\hat{x}^i, \hat{x}^k]_- - [i\theta^{ij} \hat{\partial}_j, \hat{x}^k]_- \\ &= i\theta^{ik} - i\theta^{ij} \delta_j^k = i\theta^{ik} - i\theta^{ik} = 0. \end{aligned} \quad (6.6)$$

Es ist also sinnvoll, diese Größe gleich einer Konstanten zu setzen. Wenn man nun 0 als Konstante wählt, ergibt sich

$$\hat{\partial}_j = -i\theta_{ij}^{-1}\hat{x}^i. \quad (6.7)$$

Dies hat folgende Vertauschungsrelation für die Ableitungsoperatoren zur Folge

$$\begin{aligned} [\hat{\partial}_i, \hat{\partial}_j]_- &= [-i\theta_{ik}^{-1}\hat{x}^k, -i\theta_{jl}^{-1}\hat{x}^l]_- = -\theta_{ik}^{-1}\theta_{jl}^{-1}[x^k, x^l]_- \\ &= -\theta_{ik}^{-1}\theta_{jl}^{-1}i\theta^{kl} = -i\theta_{ik}^{-1}\delta_j^k = -i\theta_{ij}^{-1}. \end{aligned} \quad (6.8)$$

Bei der folgenden Definition

$$\hat{\partial}_i \hat{f} = -i\theta_{ij}^{-1}[\hat{x}^j, \hat{f}]_-, \quad (6.9)$$

erhielte man kommutierende Ableitungsoperatoren

$$[\hat{\partial}_i, \hat{\partial}_j]_- = 0. \quad (6.10)$$

Wie dem auch sei. Falls eine kanonische Vertauschungsrelation (6.5) sowie Zusammenhang (6.7) als Definition des Ableitungsoperators zu Grunde gelegt werden, erhält man insgesamt folgenden Satz von Vertauschungsrelationen zwischen Orts- und Impulsoperatoren

$$[\hat{x}^i, \hat{x}^j]_- = i\theta_j^i \quad , \quad [x^i, p_j]_- = i\delta_j^i \quad , \quad [p^i, p_j] = i(\theta_j^i)^{-1}. \quad (6.11)$$

Weitere allgemeine Aspekte der nichtkommutativen Geometrie werden in [45] ausgeführt.

## 6.2 Das Sternprodukt

Wenn man nun eine Quantenfeldtheorie auf einer Raumzeit, welche die Struktur einer nichtkommutativen Geometrie trägt, formulieren möchte, so stellt sich die Frage, wie Produkte von Feldern zu formulieren sind, die von nichtkommutativen Koordinaten abhängen und in den Lagrangedichten auftauchen. Die Antwort liefert die Einführung des Sternproduktes, wie es beispielsweise in [45] beschrieben wird. Hierzu wird die Methode der sogenannten Weylquantisierung verwendet. Mit Weylquantisierung bezeichnet man die Beschreibung der Felder durch eine Überlagerung ebener Wellen, die nun von Operatoren abhängen

$$\psi(\hat{x}) = \frac{1}{2\pi} \int d^n k e^{ik_j \hat{x}^j} \bar{\psi}(k), \quad (6.12)$$

wobei  $\bar{\psi}(k)$  die Gewichtungsfunktion der ebenen Wellen darstellt. Man erhält sie durch Fouriertransformation des von den üblichen Koordinaten abhängigen Feldes  $\psi(x)$

$$\bar{\psi}(k) = \frac{1}{2\pi} \int d^n x e^{-ik_j x^j} \psi(x). \quad (6.13)$$

Multipliziert man nun zwei Felder auf der nichtkommutativen Raumzeit, so ergibt sich unter Berücksichtigung von (6.12)

$$\psi(\hat{x}) \cdot \phi(\hat{x}) = \frac{1}{(2\pi)^4} \int d^n k d^n p e^{ik_j \hat{x}^j} e^{ip_j \hat{x}^j} \bar{\psi}(k) \bar{\phi}(p). \quad (6.14)$$

Unter Verwendung der Campbell-Baker-Hausdorff-Formel

$$e^A \cdot e^B = e^{A+B+\frac{1}{2}[A,B]+\frac{1}{12}[[A,B],B]-\frac{1}{12}[[A,B],A]+\dots}, \quad (6.15)$$

welche das Produkt zweier Exponentialfunktionen bestimmt, in deren Exponenten Matrizen stehen, erhält man

$$\exp(ik_j \hat{x}^j) \exp(ip_j \hat{x}^j) = \exp(i(k_j + p_j) \hat{x}^j - \frac{i}{2} k_i \theta^{ij} p_j). \quad (6.16)$$

Hierbei wurde die kanonische Vertauschungsrelation zwischen den Koordinaten (6.5) zu Grunde gelegt und die Tatsache ausgenutzt, dass alle Kommutatoren in der Baker-Campbell-Hausdorff-Formel, die selbst einen Kommutator enthalten, in diesem Falle verschwinden. Dies liegt daran, dass gemäß der oben getroffenen Annahme der Kommutator zweier Koordinaten (6.5) konstant sein soll, also selbst nicht von den Koordinaten abhängen soll. Wenn man diesen Ausdruck in (6.14) verwendet, so ergibt sich

$$\psi(\hat{x}) \cdot \phi(\hat{x}) = \frac{1}{(2\pi)^4} \int d^n k d^n p e^{i(k_j + p_j) \hat{x}^j - \frac{i}{2} k_i \theta^{ij} p_j} \bar{\psi}(k) \bar{\phi}(p). \quad (6.17)$$

Unter Einsetzung von (6.13) und Verwendung der Ortsdarstellung für die Impulsoperatoren ergibt sich

$$\psi(\hat{x}) \cdot \phi(\hat{x}) = \exp\left(\frac{i}{2} \frac{\partial}{\partial x^i} \theta^{ij} \frac{\partial}{\partial y^j}\right) \psi(x) \phi(y) \Big|_{y \rightarrow x}. \quad (6.18)$$

Das Produkt von Feldern auf einer Raumzeit mit nichtkommutativer Geometrie ist also auf einen Ausdruck zurückgeführt worden, der die von kommutativen Koordinaten abhängigen Felder enthält. Es ist deshalb sinnvoll, das sogenannte Sternprodukt zwischen Feldern zu definieren

$$\psi \star \phi(x) = \exp\left(\frac{i}{2} \frac{\partial}{\partial x^i} \theta^{ij} \frac{\partial}{\partial y^j}\right) \psi(x) \phi(y) \Big|_{y \rightarrow x} . \quad (6.19)$$

Multipliziert man also zwei normale Felder auf einer kommutativen Raumzeit mit dem Sternprodukt entspricht dies der Multiplikation der entsprechenden Felder, die von nichtkommutativen Koordinaten abhängen.



# Kapitel 7

## Nichtkommutative Eichtheorien

Nachdem das vorige Kapitel die Grundidee der nichtkommutativen Geometrie im Allgemeinen zum Thema hatte, sollen hier nun im Speziellen die Konsequenzen für die Formulierung von Eichtheorien erörtert werden. Hierbei werden die Darstellungen in [45], [46], [47],[48],[49] und [50] zu Grunde gelegt. Dies macht schließlich die Einführung von sogenannten Seiberg-Witten-Abbildungen notwendig. Im ersten Kapitel wurde das Prinzip lokaler Eichtheorien beschrieben. Dort werden Symmetrietransformationen beschrieben, deren (liealgebrawertiger) Parameter von Raumzeitpunkt zu Raumzeitpunkt verschieden ist und damit eine Funktion auf der Raumzeit darstellt. Wenn man nun eine infinitesimale Eichtransformation eines Materiefeldes  $\Psi$  zunächst im kommutativen Fall betrachtet

$$\delta\Psi(x) = i\omega^a(x)T^a\Psi(x) = i\alpha(x)\Psi(x) \quad , \quad \alpha(x) = \omega^a(x)T^a, \quad (7.1)$$

so werden beim Übergang zu einer nichtkommutativen Raumzeit sowohl der Eichparameter  $\alpha$  als auch das Materiefeld  $\Psi$  zu Feldern, welche von nichtkommutativen Koordinaten abhängen und daher muss bei einer Multiplikation das Sternprodukt zu Grunde gelegt werden. Als infinitesimale Transformation für das Materiefeld ergibt sich damit

$$\hat{\delta}\Psi = i\alpha(\hat{x})\Psi(\hat{x}) = i\alpha \star \Psi, \quad (7.2)$$

wobei  $\hat{\delta}$  eine Eichtransformation auf einer nichtkommutativen Raumzeit bezeichnet. Damit hat die Nichtkommutativität der Raumzeit also auch eine Auswirkung auf eine lokale Eichtransformation. Im folgenden soll nun den sich daraus ergebenden Konsequenzen Rechnung getragen werden.

## 7.1 Kovariante Koordinaten

Zunächst muss darauf hingewiesen werden, dass sich die Koordinaten der nichtkommutativen Raumzeit  $\hat{x}$  unter einer Eichtransformation nicht transformieren, also  $\hat{\delta}\hat{x} = 0$ . Wenn man sich nun die Wirkung einer infinitesimalen Eichtransformation auf das Sternprodukt einer Koordinate mit einem Materiefeld ansieht, so erkennt man, dass dieses sich nicht wie das Materiefeld selbst transformiert, denn

$$\hat{\delta}(x \star \Psi) = \hat{\delta}x \star \Psi + x \star \hat{\delta}\Psi = ix \star \alpha(x) \star \Psi \neq i\alpha(x) \star x \star \Psi. \quad (7.3)$$

Dies verhält sich in Analogie zur Transformation der Ableitung des Materiefeldes innerhalb gewöhnlicher Eichtheorien, die im vorletzten Kapitel thematisiert wurden und wo die einfache Ableitung  $\partial_\mu$  durch eine kovariante Ableitung  $D_\mu = \partial_\mu + iA_\mu$  ersetzt werden musste. Bei nichtkommutativen Eichtheorien müssen daher die Koordinaten  $\hat{x}^\mu$  durch kovariante Koordinaten  $\hat{X}^\mu$  der folgenden Form ersetzt werden

$$\hat{x}^\mu \rightarrow \hat{X}^\mu = \hat{x}^\mu + B^\mu, \quad (7.4)$$

wobei an  $B_\mu$  eine bestimmte Transformationsforderungen zu stellen ist. Wenn man diese Ersetzung in (7.3) vornimmt, so ergibt sich

$$\begin{aligned} \hat{\delta}(X^\mu \star \Psi) &= \hat{\delta}((x^\mu + B^\mu) \star \Psi) = (\hat{\delta}B^\mu) \star \Psi + (x^\mu + B^\mu) \star \delta\Psi \\ &= \hat{\delta}B^\mu \star \Psi + i(x^\mu + B^\mu) \star \alpha \star \Psi. \end{aligned} \quad (7.5)$$

Um zu gewährleisten, dass sich das Produkt  $X^\mu \star \Psi$  gemäß

$$\hat{\delta}(X^\mu \star \Psi) = i\alpha \star X^\mu \star \Psi \quad (7.6)$$

transformiert, muss sich  $B^\mu$  also wie folgt transformieren

$$\delta B^\mu = i[\alpha \star, x^\mu] + i[\alpha \star, B^\mu] = i[\alpha \star, X^\mu]. \quad (7.7)$$

Das Symbol  $[\star, \ ]$  bezeichnet hierbei den Kommutator bezüglich des Sternproduktes. Es ist insofern nicht überraschend, dass die Koordinaten bei nichtkommutativen Eichtheorien durch kovariante Koordinaten ersetzt werden müssen, als sie ja wie im letzten Kapitel gezeigt als proportional zu den entsprechenden Ableitungen definiert werden können, um die entsprechenden Vertauschungsrelationen zu gewährleisten. Unter Verwendung dieser Definition und Betrachtung der kovarianten Ableitung  $\partial_\mu + iA_\mu$  ergibt sich folgender Zusammenhang zwischen  $B^\mu$  und dem Eichpotential  $A^\mu$



$$B^\mu = -\theta^{\mu\nu} A_\nu. \quad (7.8)$$

Bei der Transformation des Vektorpotentials und der Definition des Feldstärketensors tauchen naturgemäß ebenfalls die Kommutatoren bezüglich des Sternprodukts auf. Für die Transformation des Vektorpotentials  $A_\mu$  gilt damit

$$\hat{\delta}A_\mu = \partial_\mu\alpha + i[\alpha, A_\mu]. \quad (7.9)$$

Der Feldstärketensor ist natürlich wie üblich über den Kommutator der kovarianten Ableitungen definiert. Auf einer nichtkommutativen Raumzeit enthält er aber nun das Sternprodukt

$$F_{\mu\nu} = i[D_\mu, D_\nu], \quad (7.10)$$

was auf folgenden Ausdruck für den Feldstärketensor führt

$$F_{\mu\nu} = \partial_\mu A_\nu - \partial_\nu A_\mu + i[A_\mu, A_\nu]. \quad (7.11)$$

Dies bedeutet insbesondere, dass auch im Falle einer Abelschen Eichtheorie aufgrund der Nichtkommutativität des Sternproduktes Kommutatorterme auftauchen.

## 7.2 Seiberg-Witten-Abbildungen

### 7.2.1 Die Bedingung der Geschlossenheit

Natürlich ist die Voraussetzung einer jeden Symmetriegruppe die Geschlossenheit, was bedeutet, dass die Anwendung zweier Symmetrietransformationen wieder zu einer Symmetrietransformation führt, die Element der Gruppe ist. Im Falle kommutativer Eichtheorien gilt für den Kommutator zweier Eichtransformationen bezüglich der Eichparameter  $\alpha$  und  $\beta$

$$(\delta_\alpha\delta_\beta - \delta_\beta\delta_\alpha)\Psi = \delta_{i[\alpha,\beta]}\Psi. \quad (7.12)$$

Der Kommutator zweier zu den Parametern  $\alpha$  und  $\beta$  gehöriger Eichtransformationen ist also gleich der Eichtransformation des Kommutators von  $\alpha$  und  $\beta$  multipliziert mit  $i$ . Da die Generatoren  $T^a$  der Eichgruppe aber eine Liealgebra bilden  $[T^a, T^b] = if^{abc}T^c$ , sieht der Kommutator zweier Eichtransformationen wie folgt aus

$$i[\alpha, \beta] = i\omega^a\omega^b[T^a, T^b] = \omega^a\omega^b f^{bac}T^c. \quad (7.13)$$

Es ergibt sich also erneut eine Eichtransformation innerhalb der Gruppe. Nun stellt sich die Frage, wie dies bei nichtkommutativen Eichtheorien aussieht. Prinzipiell ist die Situation hier natürlich analog. Allerdings enthält der Kommutator jetzt natürlich das Sternprodukt. Für nichtkommutative Eichtransformationen ergibt sich damit als Kommutator der Eichparameter

$$[\alpha \ ; \ \beta] = [\omega^a T^a \ ; \ \omega^b T^b] = \frac{1}{2} \{ \alpha_a \ ; \ \beta_b \} [T^a \ , \ T^b] + \frac{1}{2} [\alpha_a \ ; \ \beta_b] \{ T^a \ , \ T^b \}. \quad (7.14)$$

Die Kommutatoren und Antikommutatoren der Vorfaktoren sind bezüglich der Frage, ob sich die Gruppe geschlossen ist, nicht von Bedeutung. Der Kommutator der Generatoren im ersten Term ist natürlich wie bei gewöhnlichen Eichtheorien auch hier unproblematisch. Probleme bereitet jedoch der Antikommutator im zweiten Term. Dieser ist nur liealgebrawertig im Falle der Generatoren der  $U(N)$ , nicht jedoch bei der  $SU(N)$ .

### 7.2.2 Erweiterung zur einhüllenden Algebra

Es gibt allerdings die Möglichkeit, eine geschlossene Algebra zu erreichen, indem man die Gruppe der Eichparameter zu der Einhüllenden der Liealgebra erweitert. Diese beinhaltet im Gegensatz zu einer einfachen Liealgebra nicht nur beliebige Linearkombinationen eines Satzes von Generatoren, sondern enthält auch beliebige Produkte der Generatoren. Ein Eichparameter  $\hat{\alpha}$  in der Einhüllenden der Liealgebra mit Generatoren  $T^a$  hat dann folgende allgemeine Gestalt

$$\hat{\alpha} = \hat{\alpha}_0^a T^a + \hat{\alpha}_1^{ab} \{ T^a \ , \ T^b \} + \hat{\alpha}_2^{abc} \{ T^a \ , \ T^b \ , \ T^c \} + \dots, \quad (7.15)$$

wobei die geschwungenen Klammern eine Summierung über alle Reihenfolgen der Generatoren darstellt und insofern eine Verallgemeinerung des Antikommutators für mehr als zwei Elemente beschreibt. Gemäß den Eichparametern sind natürlich auch die nichtkommutativen Eichpotentiale und damit die Feldstärketensoren in der einhüllenden Algebra definiert. Ebenso wie das im letzten Kapitel behandelte Produkt zwischen Feldern auf einer nichtkommutativen Raumzeit, können auch die Eichparameter und die nichtkommutativen Felder selbst nach dem Parameter  $\theta^{\mu\nu}$  entwickelt werden, welcher die Nichtkommutativität der Koordinaten angibt. Damit werden die kommutativen Größen auf nichtkommutative Größen abgebildet. Diese Abbildungen wurden erstmals von Seiberg und Witten gefunden [43] und werden daher nach ihnen als Seiberg-Witten-Abbildungen bezeichnet. Es soll nun beschrieben werden, wie die Seiberg-Witten-Abbildungen zu bestimmen sind. Aus

der Relation (7.12) für die Eichparameter wird auf einer nichtkommutativen Raumzeit die folgende Bedingung, welche nun das Sternprodukt enthält

$$\begin{aligned} (i\hat{\delta}_\alpha\hat{\delta}_\beta - \hat{\delta}_\beta\hat{\delta}_\alpha) \star \Psi &= \hat{\delta}_{i[\alpha,\beta]} \hat{\Psi} \\ \Leftrightarrow i\hat{\delta}_\alpha\hat{\beta} - i\hat{\delta}_\beta\hat{\alpha} + [\hat{\alpha} \star \hat{\beta}] \star \Psi &= [\hat{\alpha}, \hat{\beta}] \star \hat{\Psi}. \end{aligned} \quad (7.16)$$

Wenn man nun den Eichparameter  $\hat{\alpha}$  in der einhüllenden Algebra in einer Reihe nach der Größe  $\theta^{\mu\nu}$  entwickelt, welche die Nichtkommutativität der Raumzeit angibt und damit im Sternprodukt auftaucht

$$\hat{\alpha} = \alpha_0 + \alpha_1(\theta) + \dots, \quad (7.17)$$

so ergibt sich bei einer Entwicklung in erster Ordnung in  $\theta^{\mu\nu}$  für den Term  $\alpha_1$

$$\alpha_1 = \frac{1}{4}\theta^{\mu\nu}\{\partial_\mu, A_\nu\}. \quad (7.18)$$

Die Entwicklung von  $\hat{\alpha}$  in erster Ordnung hat also folgende Form

$$\hat{\alpha} = \alpha + \frac{1}{4}\theta^{\mu\nu}\{\partial_\mu, A_\nu\} + \mathcal{O}(\theta^2). \quad (7.19)$$

### 7.2.3 Abbildungen der Felder

Die Seiberg-Witten-Abbildungen für die Felder sind nun dadurch bestimmt, dass eine gewöhnliche Eichtransformation der nichtkommutativen Felder, welche also auf die kommutativen Felder wirkt, von denen sie abhängen, gleich einer nichtkommutativen Eichtransformation der nichtkommutativen Felder ist. Dies bedeutet für eine infinitesimale Eichtransformation eines Feldes A

$$\hat{A}[A + \delta_\alpha A] = \hat{A}[A] + \hat{\delta}_\alpha \hat{A}[A]. \quad (7.20)$$

Für ein Materiefeld  $\hat{\Psi}$  ergibt sich damit konkret die Bedingung

$$\delta_\alpha \hat{\Psi} = \hat{\delta}_\alpha \hat{\Psi} = i\hat{\alpha} \star \hat{\Psi}. \quad (7.21)$$

Eine Entwicklung in erster Ordnung

$$\hat{\Psi} = \Psi^0 + \Psi^1 + \mathcal{O}(\theta^2) \quad (7.22)$$

führt hierbei auf folgende Bedingung

$$\delta_\alpha \Psi_0 + \delta_\alpha \Psi_1 = i\alpha \Psi_0 - \frac{1}{2}\theta^{\mu\nu}\partial_\mu \alpha \partial_\nu \Psi_0 + i\alpha_1 \Psi_0 + i\alpha \Psi_1 + \mathcal{O}(\theta^2). \quad (7.23)$$

Da im kommutativen Grenzfall, welcher  $\theta = 0$  impliziert, sich natürlich wieder  $\Psi_0 = \Psi$  ergeben muss, gilt  $\Psi_0 = \Psi$ . Insgesamt findet man für die Seiberg-Witten-Abbildung in erster Ordnung

$$\hat{\Psi} = \Psi - \frac{1}{2}\theta^{\mu\nu} A_\nu \partial_\mu \Psi + \frac{i}{8}\theta^{\mu\nu} [A_\mu, A_\nu] \Psi + \mathcal{O}(\theta^2). \quad (7.24)$$

Hierbei ist zu beachten, dass bei einer kommutativen Eichtransformation des nichtkommutativen Materiefeldes  $\hat{\Psi}$ , welches nicht nur eine Funktion des kommutativen Materiefeldes  $\Psi$ , sondern auch des Eichpotentials  $A_\mu$  ist, letzteres bei einer Eichtransformation mittransformiert werden muss. Wenn man die analogen Bedingungen für das Vektorpotential und den Feldstärketensor aufstellt

$$\delta_\alpha \hat{A}_\mu = \partial_\mu \hat{\alpha} + i[\hat{\alpha}, \hat{A}_\mu] \quad (7.25)$$

und

$$\delta \hat{F}_{\mu\nu} = i[\hat{\alpha}, \hat{F}_{\mu\nu}], \quad (7.26)$$

so erhält man die folgenden Seiberg-Witten-Abbildungen in erster Ordnung in  $\theta^{\mu\nu}$

$$\begin{aligned} \hat{A}_\mu &= A_\mu - \frac{1}{4}\theta^{\rho\nu} \{A_\rho, \partial_\nu A_\mu + F_{\nu\mu}\} + \mathcal{O}(\theta^2) \\ \hat{F}_{\mu\nu} &= F_{\mu\nu} + \frac{1}{2}\theta^{\rho\sigma} \{F_{\mu\rho}, F_{\nu\sigma}\} - \frac{1}{4}\theta^{\rho\sigma} \{A_\rho, (\partial_\sigma + D_\sigma) F_{\mu\nu}\} + \mathcal{O}(\theta^2). \end{aligned} \quad (7.27)$$

Diese machen nun die Formulierung des Standardmodells auf einer nichtkommutativen Raumzeit möglich, wie sie in [51], [52] und [53] gegeben wird.

# Kapitel 8

## Higgsmechanismus und nichtkommutative Geometrie

Bei der Formulierung nichtkommutativer Eichtheorien spielen zwangsläufig die neu eingeführten nichtkommutativen Felder eine Rolle, welche die Eichinvarianz auch auf einer nichtkommutativen Raumzeit gewährleisten. Da nun aber dem Higgsmechanismus eine prinzipielle Bedeutung zukommt, weil die Austauschteilchen der schwachen Wechselwirkung nur so eine Masse bekommen können, ohne dass die Eichinvarianz unter der Symmetriegruppe des schwachen Isospins verletzt würde, muss dieser natürlich ebenfalls in die nichtkommutative Eichtheorie integriert werden. In [51],[52] und [54] wurde auf den Higgsmechanismus im Rahmen nichtkommutativer Eichtheorien eingegangen. Wenn man zunächst einmal die Lagrangedichte des Higgsfeldes auf einer nichtkommutativen Raumzeit formuliert, indem man das Produkt zwischen Feldern durch das Sternprodukt und die Felder durch die nichtkommutativen Felder ersetzt, erhält man

$$\mathcal{L}_{Higgs} = (D_\mu \hat{\Phi})^\dagger \star (D^\mu \hat{\Phi}) - \mu^2 (\hat{\Phi})^\dagger \star \hat{\Phi} - \lambda (\hat{\Phi}^\dagger \star \hat{\Phi}) \star (\hat{\Phi}^\dagger \star \hat{\Phi}). \quad (8.1)$$

Es sind nun zwei Möglichkeiten denkbar, wie man die entsprechende Lagrangedichte mit den entsprechenden Massentermen in Abhängigkeit der üblichen Felder erhält. Man kann entweder zunächst die Seiberg-Witten-Abbildungen ausführen und dann die spontane Symmetriebrechung betrachten. Dies ist die übliche Reihenfolge. Es ist aber auch denkbar, die spontane Symmetriebrechung schon bei den nichtkommutativen Feldern auszuführen und anschließend die Seiberg-Witten-Abbildungen zu verwenden. Allerdings stellt sich die Frage, ob man in beiden Fällen das gleiche Resultat erhält. Es wird hier gezeigt werden, dass diese beiden Prozeduren tatsächlich äquivalent zueinander sind. Zunächst soll der Abelsche Fall betrachtet werden. Hier

fällt der konstante Vakuumerwartungswert bei allen Termen mit  $\theta$  heraus, so dass sich die Situation als völlig unproblematisch erweist. Bei nicht-Abelschen Eichtheorien muss die Bedingung an die nichtkommutativen Felder

$$\delta\hat{\Phi} = \hat{\delta}\hat{\Phi} = i\hat{\alpha} \star \hat{\Phi} \quad (8.2)$$

betrachtet werden, welche auf die Seiberg-Witten-Abbildung

$$\hat{\Phi} = \Phi - \frac{1}{2}\theta^{\mu\nu} A_\mu \partial_\nu \Phi + \frac{i}{8}\theta^{\mu\nu} [A_\mu, A_\nu]_- \Psi + \mathcal{O}(\theta^2) \quad (8.3)$$

führt. Die Seiberg-Witten-Abbildung des Eichparameters ist durch

$$\hat{\alpha} = \alpha + \frac{1}{4}\theta^{\mu\nu} \{\partial_\mu \alpha, A_\nu\} + \mathcal{O}(\theta^2) \quad (8.4)$$

gegeben.

## 8.1 Abelscher Fall

Im Abelschen Fall reduziert sich (8.3) auf folgende Seiberg-Witten-Abbildung für das Materiefeld  $\Phi$

$$\hat{\Phi} = \Phi - \frac{1}{2}\theta^{\mu\nu} A_\mu \partial_\nu \Phi + \mathcal{O}(\theta^2). \quad (8.5)$$

Die Abbildung für den Eichparameter wird zu

$$\hat{\alpha} = \alpha - \frac{1}{2}\theta^{\mu\nu} A_\mu \partial_\nu \alpha + \mathcal{O}(\theta^2). \quad (8.6)$$

Die Seiberg-Witten-Abbildungen sowohl für das Eichpotential  $A_\mu$  als auch für den Feldstärketensor  $F_{\mu\nu}$  müssen nicht betrachtet werden, da die spontane Symmetriebrechung keine direkte Auswirkung auf sie hat.

### 8.1.1 Zunächst Seiberg-Witten-Abbildung und dann Symmetriebrechung

Zunächst soll die spontane Symmetriebrechung auf Seite der kommutativen Felder erfolgen. Dies führt auf folgende Relation

$$\Phi = \nu + h + i\sigma, \quad (8.7)$$

wobei  $\nu$  der konstante Vakuumerwartungswert des Feldes  $\Phi$  ist. Die spontane Symmetriebrechung hat das Erscheinen von Goldstonebosonen zur Folge. Dies spielt hier jedoch keine Rolle. Indem man definiert

$$\phi = h + i\sigma, \quad (8.8)$$

wird aus (8.7)

$$\Phi = \nu + \phi. \quad (8.9)$$

Einsetzen von (8.9) in (8.5) führt auf

$$\hat{\Phi} = \nu + \phi - \frac{1}{2}\theta^{\mu\nu} A_\mu \partial_\nu (\nu + \phi) + \mathcal{O}(\theta^2). \quad (8.10)$$

Da  $\nu$  eine Konstante ist, bleibt dieser Ausdruck übrig

$$\hat{\Phi} = \nu + \phi - \frac{1}{2}\theta^{\mu\nu} A_\mu \partial_\nu h + \mathcal{O}(\theta^2). \quad (8.11)$$

### 8.1.2 Zunächst Symmetriebrechung and dann Seiberg-Witten-Abbildung

Die andere Möglichkeit besteht darin, eine Symmetriebrechung der nichtkommutativen Felder zu betrachten.

$$\hat{\Phi} = \nu + \hat{\phi}. \quad (8.12)$$

Nun muss man jedoch die Seiberg-Witten-Abbildung für  $\hat{\phi}$  festlegen. Deshalb ist es notwendig, die Bedingung für die Seiberg-Witten-Abbildung von  $\Phi$  zu betrachten. Einsetzen von (8.12) in (8.2) liefert

$$\delta(\nu + \hat{\phi}) = \hat{\delta}(\nu + \hat{\phi}). \quad (8.13)$$

Da  $\nu$  eine Konstante ist, transformiert es sich nicht. Aus diesem Grund bleibt folgende Relation

$$\delta\hat{\phi} = \hat{\delta}\hat{\phi}. \quad (8.14)$$

Diese Bedingung ist von der gleichen Gestalt wie die Bedingung an  $\Phi$ , aber hierbei ist zu berücksichtigen, dass  $\phi$  sich unter einer Eichtransformation anders als  $\Phi$  transformiert. Dies kann man wie folgt sehen

$$\delta\Phi = i\alpha\Phi = i\alpha(\nu + \phi) \quad , \quad \delta\Phi = \delta(\nu + \phi) = \delta\phi. \quad (8.15)$$

Gleichsetzen der beiden Ausdrücke zeigt, dass sich  $\phi$  wie folgt transformiert

$$\delta\phi = i\alpha(\nu + \phi). \quad (8.16)$$

Indem man die analoge Argumentation im Falle des nichtkommutativen Feldes  $\hat{\phi}$  unter einer nichtkommutativen Eichtransformation anwendet, sieht man, dass sich  $\hat{\phi}$  analog transformiert

$$\hat{\delta}\hat{\phi} = i\hat{\alpha} \star (\nu + \hat{\phi}). \quad (8.17)$$

Wie dem auch sei, im Abelschen Falle sieht die Seiberg-Witten-Abbildung für  $h$  wie die Seiberg-Witten-Abbildung für  $\Phi$  aus

$$\hat{\phi} = \phi - \frac{1}{2}\theta^{\mu\nu} A_\mu \partial_\nu \phi + \mathcal{O}(\theta^2). \quad (8.18)$$

Dies kann man sehen, indem man überprüft, ob sie die Bedingung an die Seiberg-Witten-Abbildung (8.14) erfüllt. Einsetzen von (8.1.2) in (8.14) führt auf die folgende Gleichung in erster Ordnung in  $\theta$

$$\delta(\phi - \frac{1}{2}\theta^{\mu\nu} A_\mu \partial_\nu \phi) = i\hat{\alpha} \star (\phi - \frac{1}{2}\theta^{\mu\nu} A_\mu \partial_\nu \phi). \quad (8.19)$$

Benutzung von (8.16), (8.17) und der Transformationseigenschaft des Vektorpotentials  $A_\mu$

$$\delta A_\mu = \partial_\mu \alpha \quad (8.20)$$

liefert

$$\begin{aligned} i\alpha(\nu + \phi) - \frac{1}{2}\theta^{\mu\nu} A_\mu \partial_\nu i\alpha(\nu + \phi) - \frac{1}{2}\theta^{\mu\nu} \partial_\mu \alpha \partial_\nu \phi = \\ i\hat{\alpha} \star (\nu + \phi - \frac{1}{2}\theta^{\mu\nu} A_\mu \partial_\nu \phi). \end{aligned} \quad (8.21)$$

Durch Ausführen der Ableitung auf der linken und des Sternproduktes auf der rechten Seite erhält man

$$\begin{aligned} i\alpha(\nu + \phi) - i\frac{1}{2}\theta^{\mu\nu} A_\mu [(\partial_\nu \alpha)(\nu + \phi) + \alpha(\partial_\nu \phi)] - \frac{1}{2}\theta^{\mu\nu} \partial_\mu \alpha \partial_\nu \phi \\ = i\alpha(\nu + \phi) - \frac{1}{2}\theta^{\mu\nu} \partial_\mu \alpha \partial_\nu \phi - i\alpha \frac{1}{2}\theta^{\mu\nu} A_\mu \partial_\nu \phi - i\frac{1}{2}\theta^{\mu\nu} A_\mu \partial_\nu \alpha(\nu + \phi). \end{aligned} \quad (8.22)$$

Nun kann man sehen, dass die beiden Seiten gleich sind und (8.1.2) in der Tat die richtige Seiberg-Witten-Abbildung für  $\hat{\phi}$  ist. Indem wir (8.1.2) in (8.12) einsetzen erhalten wir (8.11)

$$\hat{\Phi} = \nu + \phi - \frac{1}{2}\theta^{\mu\nu} A_\mu \partial_\nu \phi + \mathcal{O}(\theta^2). \quad (8.23)$$

Somit ist gezeigt, dass spontane Symmetriebrechung und Abbilden auf kommutative Felder im Abelschen Fall umkehrbar ist.



## 8.2 Nicht-Abelscher Fall

Im Falle Nicht-Abelscher Eichtheorien sieht die Situation etwas anders aus.

### 8.2.1 S.-W.-Abbildung und dann Symmetriebrechung

Die folgende Betrachtung gilt für beliebige nichtabelsche Eichgruppen. Dazu gehört also auch die Eichgruppe, bei welcher der Higgsmechanismus im Standardmodell relevant ist. Es handelt sich also um die in Kapitel 5 thematisierte  $SU(2) \times U(1)$  Eichgruppe. In einer allgemeinen Darstellung ohne Wahl einer speziellen Eichung führt die Symmetriebrechung auf folgende Relation

$$\Phi = \nu_n + \phi_n, \quad (8.24)$$

wobei der Index  $n$  andeutet, dass es sich bei dem Vakuumerwartungswert  $\nu$  und dem Feld  $\phi$  um Multipletts handelt. Durch Einsetzen von (8.24) in (8.3), erhält man

$$\hat{\Phi} = \nu_n + \phi_n - \frac{1}{2}\theta^{\mu\nu} A_\mu \partial_\nu (\nu_n + \phi_n) + \frac{i}{8}\theta^{\mu\nu} [A_\mu, A_\nu] (\nu_n + \phi_n) + \mathcal{O}(\theta^2). \quad (8.25)$$

Der  $\nu$ -Term im zweiten Term verschwindet und so ergibt sich folgender Ausdruck

$$\hat{\Phi} = \nu_n + \phi_n - \frac{1}{2}\theta^{\mu\nu} A_\mu \partial_\nu (\nu_n + \phi_n) + \frac{i}{8}\theta^{\mu\nu} [A_\mu, A_\nu] (\nu_n + \phi_n) + \mathcal{O}(\theta^2). \quad (8.26)$$

### 8.2.2 Symmetriebrechung und dann S.-W.-Abbildung

Wenn man Symmetriebrechung auf der nichtkommutativen Seite betrachtet

$$\hat{\Phi} = \nu_n + \hat{\phi}_n, \quad (8.27)$$

sieht die Bedingung an die Seiberg-Witten-Abbildung des Materiefeldes (8.2) wie folgt aus

$$\delta(\nu_n + \hat{\phi}_n) = i\hat{\alpha} \star (\nu_n + \hat{\phi}_n). \quad (8.28)$$

Die Bedingung (8.28) kann in folgender Weise umformuliert werden

$$\delta\hat{\phi}_n = \hat{\delta}\hat{\phi}_n. \quad (8.29)$$

$\phi_n$  und  $\hat{\phi}_n$  transformieren sich in Analogie zum Abelschen Fall gemäß

$$\delta\phi_n = i\alpha(\nu_n + \phi_n) \quad , \quad \hat{\delta}\hat{\phi}_n = i\hat{\alpha} \star (\nu_n + \hat{\phi}_n). \quad (8.30)$$

Es wird die Annahme gemacht, dass  $\phi_n$  auf die folgende Art und Weise abgebildet wird

$$\begin{aligned} \hat{\phi}_n &= \phi_n - \frac{1}{2}\theta^{\mu\nu} A_\mu \partial_\nu \phi_n + \frac{i}{8}\theta^{\mu\nu} [A_\mu, A_\nu] \phi_n \\ &\quad + \frac{i}{8}\theta^{\mu\nu} [A_\mu, A_\nu] \nu_n + \mathcal{O}(\theta^2). \end{aligned} \quad (8.31)$$

Einsetzen von (8.31) in (8.29) führt zu der folgenden Gleichung in erster Ordnung in  $\theta^{\mu\nu}$

$$\begin{aligned} &\delta(\phi_n - \frac{1}{2}\theta^{\mu\nu} A_\mu \partial_\nu \phi_n + \frac{i}{8}\theta^{\mu\nu} [A_\mu, A_\nu] \phi_n + \frac{i}{8}\theta^{\mu\nu} [A_\mu, A_\nu] \phi_n) \\ &= i\hat{\alpha} \star (\phi_n - \frac{1}{2}\theta^{\mu\nu} A_\mu \partial_\nu \phi_n + \frac{i}{8}\theta^{\mu\nu} [A_\mu, A_\nu] \phi_n + \frac{i}{8}\theta^{\mu\nu} [A_\mu, A_\nu] \nu_n). \end{aligned} \quad (8.32)$$

Durch Benutzung von (8.30) und der Eichtransformation eines liealgebrawertigen Vektorfeldes

$$\delta A_\mu = \partial_\mu \alpha + i[\alpha, A_\mu] \quad (8.33)$$

kann dies geschrieben werden als

$$\begin{aligned} &i\alpha(\nu_n + \phi_n) - \frac{1}{2}\theta^{\mu\nu} A_\mu \partial_\nu (i\alpha(\nu_n + \phi_n)) - \frac{i}{8}\theta^{\mu\nu} [A_\mu, A_\nu] i\alpha(\nu_n + \phi_n) \\ &\quad - \frac{1}{2}\theta^{\mu\nu} \partial_\mu \alpha \partial_\nu \phi_n - \frac{1}{2}\theta^{\mu\nu} i[\alpha, A_\mu] \partial_\nu \phi_n \\ &\quad + \frac{i}{8}\theta^{\mu\nu} [\partial_\mu \alpha, A_\nu] (\nu_n + \phi_n) + \frac{i}{8}\theta^{\mu\nu} [A_\mu, \partial_\nu \alpha] (\nu_n + \phi_n) \\ &\quad + \frac{i}{8}\theta^{\mu\nu} [i[\alpha, A_\mu], \partial_\nu \alpha] (\nu_n + \phi_n) + \frac{i}{8}\theta^{\mu\nu} [A_\mu, i[\alpha, A_\nu]] (\nu_n + \phi_n) \\ &\quad = i\alpha(\nu_n + \phi_n) - \frac{1}{2}\theta^{\mu\nu} \partial_\mu \alpha \partial_\nu \phi_n - i\alpha \frac{1}{2}\theta^{\mu\nu} A_\mu \partial_\nu \phi_n \\ &\quad - i\alpha \frac{i}{8}\theta^{\mu\nu} [A_\mu, A_\nu] (\nu_n + \phi_n) + \frac{i}{4}\theta^{\mu\nu} \{\partial_\mu \alpha, A_\nu\} (\nu_n + \phi_n). \end{aligned} \quad (8.34)$$

Die Ausdrücke  $i\alpha(\nu_n + \phi_n)$  und  $\frac{1}{2}\theta^{\mu\nu} \partial_\mu \alpha \partial_\nu \phi_n$  erscheinen auf beiden Seiten und heben sich gegenseitig auf. Deshalb kann man schreiben

$$\begin{aligned}
& -\frac{1}{2}\theta^{\mu\nu}A_\mu i(\partial_\nu\alpha)(\nu_n + \phi_n) - \frac{1}{2}\theta^{\mu\nu}A_\mu i\alpha\partial_\nu\phi_n + \frac{i}{8}\theta^{\mu\nu}[A_\mu, A_\nu]i\alpha(\nu_n + \phi_n) \\
& -\frac{1}{2}\theta^{\mu\nu}i[\alpha, A_\mu]\partial_\nu\phi_n + \frac{i}{8}\theta^{\mu\nu}[\partial_\mu\alpha, A_\nu](\nu_n + \phi_n) + \frac{i}{8}\theta^{\mu\nu}[A_\mu, \partial_\nu\alpha](\nu_n + \phi_n) \\
& \quad + \frac{i}{8}\theta^{\mu\nu}[i[\alpha, A_\mu], A_\nu](\nu_n + \phi_n) + \frac{i}{8}\theta^{\mu\nu}[A_\mu, i[\alpha, A_\nu]](\nu_n + \phi_n) \\
& = -i\alpha\frac{1}{2}\theta^{\mu\nu}A_\mu\partial_\nu\phi_n + i\alpha\frac{i}{8}[A_\mu, A_\nu](\nu_n + \phi_n) + \frac{i}{4}\theta^{\mu\nu}\{\partial_\mu\alpha, A_\nu\}(\nu_n + \phi_n).
\end{aligned} \tag{8.35}$$

Wenn man beachtet, dass die folgende Relation gültig ist

$$-\frac{1}{2}\theta^{\mu\nu}A_\mu i\alpha\partial_\nu\phi_n - \frac{1}{2}\theta^{\mu\nu}i[\alpha, A_\mu]\partial_\nu\phi_n = -i\alpha\frac{1}{2}\theta^{\mu\nu}A_\mu\partial_\nu\phi_n, \tag{8.36}$$

heben sich die entsprechenden Terme auf und man wird auf folgende Gleichung geführt

$$\begin{aligned}
& -\frac{1}{2}\theta^{\mu\nu}A_\mu i(\partial_\nu\alpha)(\nu_n + \phi_n) + \frac{i}{8}\theta^{\mu\nu}[A_\mu, A_\nu]i\alpha(\nu_n + \phi_n) \\
& \quad + \frac{i}{8}\theta^{\mu\nu}[\partial_\mu\alpha, A_\nu](\nu_n + \phi_n) + \frac{i}{8}\theta^{\mu\nu}[A_\mu, \partial_\nu\alpha](\nu_n + \phi_n) \\
& + \frac{i}{8}\theta^{\mu\nu}[i[\alpha, A_\mu], A_\nu](\nu_n + \phi_n) + \frac{i}{8}\theta^{\mu\nu}[A_\mu, i[\alpha, A_\nu]](\nu_n + \phi_n) \\
& = i\alpha\frac{i}{8}[A_\mu, A_\nu](\nu_n + \phi_n) + \frac{i}{4}\theta^{\mu\nu}\{\partial_\mu\alpha, A_\nu\}(\nu_n + \phi_n).
\end{aligned} \tag{8.37}$$

Aufgrund der Antisymmetrie von  $\theta^{\mu\nu}$  gilt

$$\frac{i}{8}\theta^{\mu\nu}[\partial_\mu\alpha, A_\nu]_- = \frac{i}{8}\theta^{\mu\nu}[A_\mu, \partial_\nu\alpha] \tag{8.38}$$

und somit

$$\begin{aligned}
& -\frac{1}{2}\theta^{\mu\nu}A_\mu i(\partial_\nu\alpha)(\nu_n + \phi_n) + \frac{i}{8}\theta^{\mu\nu}[\partial_\mu\alpha, A_\nu](\nu_n + \phi_n) \\
& \quad + \frac{i}{8}\theta^{\mu\nu}[A_\mu, \partial_\nu\alpha](\nu_n + \phi_n) \\
& = -\frac{1}{2}\theta^{\mu\nu}A_\mu i(\partial_\nu\alpha)(\nu_n + \phi_n) + \frac{i}{4}\theta^{\mu\nu}[\partial_\mu\alpha, A_\nu](\nu_n + \phi_n) \\
& = -\frac{1}{2}\theta^{\mu\nu}A_\mu i(\partial_\nu\alpha)(\nu_n + \phi_n) + \frac{i}{4}\theta^{\mu\nu}\partial_\mu\alpha A_\nu(\nu_n + \phi_n) \\
& \quad - \frac{i}{4}\theta^{\mu\nu}A_\nu\partial_\mu\alpha(\nu_n + \phi_n) = \frac{i}{4}\theta^{\mu\nu}\{\partial_\mu\alpha, A_\nu\}.
\end{aligned} \tag{8.39}$$

Es verbleibt die folgende Gleichung

$$\begin{aligned} & \frac{i}{8}\theta^{\mu\nu}[A_\mu, A_\nu](\nu_n + \phi_n) + \frac{i}{8}\theta^{\mu\nu}[i[\alpha, A_\mu], A_\nu](\nu_n + \phi_n) \\ & + \frac{i}{8}\theta^{\mu\nu}[A_\mu, i[\alpha, A_\nu]](\nu_n + \phi_n) = i\alpha\frac{i}{8}[A_\mu, A_\nu](\nu_n + \phi_n). \end{aligned} \quad (8.40)$$

Indem man nun die verschachtelten Kommutatoren ausrechnet, ergibt sich die Gültigkeit auch dieser Gleichung. Dies bedeutet, dass (8.31) in der Tat die richtige Seiberg-Witten-Abbildung liefert. Indem man nun (8.31) in (8.27) einsetzt, erhält man

$$\hat{\Phi} = (\nu_n + \phi_n) + \frac{1}{2}\theta^{\mu\nu}A_\mu\partial_\nu(\nu_n + \phi_n) + \frac{i}{8}\theta^{\mu\nu}[A_\mu, A_\nu](\nu_n + \phi_n) + \mathcal{O}(\theta^2). \quad (8.41)$$

Die entspricht exakt dem Resultat aus (8.26). Damit wurde gezeigt, dass es keine Rolle spielt, ob man zunächst die Seiberg-Witten-Abbildungen ausführt und dann die Symmetrie bricht oder ob die Symmetriebrechung den Seiberg-Witten-Abbildungen voran geht.

# Schlussbemerkungen

Am Ende dieser Arbeit soll nun das hier Beschriebene in den größeren Rahmen der zeitgenössischen Physik eingeordnet werden. Die in dieser Diplomarbeit vorgestellten Erweiterungen der bisherigen Physik gehen letztlich aus dem Versuch hervor, das Gebäude der theoretischen Physik in einer Weise zu erweitern, die einer einheitlicheren Beschreibung der Natur zustrebt. Dieses Bestreben besteht im Grunde aus zwei Teilen, die natürlich eng miteinander verwoben, aber nicht identisch sind. Die Quantentheorie stellt der heutigen Auffassung nach ein allgemeines Beschreibungsschema für beliebige dynamische Objekte in der Natur dar. In der Teilchenphysik ist es nun das Ziel, eine ebenso allgemeine Theorie zu finden, aus der hervorgeht, welche Arten von Objekten es gibt und welche Eigenschaften diese besitzen. Dies würde insbesondere die Rückführung der bekannten Wechselwirkungen auf ein einheitliches Prinzip bedeuten. Durch diese Fragestellung wird man jedoch direkt auf das zweite Problem geführt, dessen Lösung in gewisser Hinsicht die Voraussetzung für die Behandlung des ersten ist. Dieses besteht nämlich in der Wesensfremdheit der Gravitation zu den anderen Wechselwirkungen. Denn einerseits wird die Gravitation im Rahmen der Allgemeinen Relativitätstheorie als Eigenschaft der Raumzeit beschrieben, während die anderen fundamentalen Wechselwirkungen durch Felder auf der Raumzeit beschrieben werden. Andererseits ist die Allgemeine Relativitätstheorie in ihrer bisher erreichten Formulierung eine klassische Theorie, während die anderen Wechselwirkungen in den Rahmen relativistischer Quantenfeldtheorien eingebettet sind. Es muss also eine Quantentheorie der Gravitation, damit aber letztlich eine quantentheoretische Beschreibung der Raumzeitstruktur selbst gefunden werden. Die nichtkommutative Geometrie ist ein Versuch ein quantentheoretisches Element in die Beschreibung der Raumzeit hineinzubringen, indem man Vertauschungsrelationen zwischen den Koordinaten fordert, was in gewisser Hinsicht einem Prozess der Quantisierung ähnelt. Hierbei spielt die Gravitation aber im Grunde noch keine Rolle. Wie bereits erwähnt ergibt sich im Rahmen von Stringtheorien eine nichtkommutative Geometrie [43]. In diesen wird die Gravitation grundsätzlich gar nicht als Struktur

der Raumzeit, sondern als Konsequenz bestimmter Anregungszustände von Strings beschrieben. Aus ihnen geht natürlich auch die Motivation hervor, eine Raumzeit mit zusätzlichen kompaktifizierten Dimensionen zu postulieren, auch wenn diese im Gegensatz zu der im ersten Teil dieser Arbeit untersuchten Annahme von einer Kompaktifizierung ausgehen, die nur Voraussagen jenseits des in absehbarer Zeit empirisch zugänglichen zulassen [9]. Daneben steht das Hierarchieproblem, das durch die Annahme zusätzlicher Dimensionen gelöst werden könnte. Ihm scheint aber keine so prinzipielle Bedeutung zuzukommen wie den beiden ersten grundsätzlichen Schwierigkeiten. Bei beiden Annahmen, sowohl derer der nichtkommutativen Geometrie als auch jener der zusätzlichen kompaktifizierten Dimensionen, handelt es sich in jedem Falle um wichtige Ansätze zu einer Erweiterung der Physik, denen weiterhin eine große Bedeutung in der theoretischen Physik zukommen wird und die auch rein mathematisch von großem Interesse sind. Es muss aber auch kritisch erwähnt werden, dass sie in Bezug zur Lösung der oben angesprochenen konzeptionellen Probleme grundsätzlicher Natur nur teilweise einen Fortschritt darstellen. Diese bestehen eben gerade darin, die Dualität zwischen einer Beschreibung von Objekten auf einer vorgegebenen Raumzeit und der Beschreibung der Gravitation als Eigenschaft einer dynamischen Raumzeit aufzuheben und zu einer einheitlichen quantentheoretischen Beschreibung zu gelangen. Der Ansatz der kanonischen Quantisierung der Allgemeinen Relativitätstheorie, wie er im Rahmen der Loop-Quantengravitation untersucht wird, scheint diesbezüglich noch überzeugender. Dies liegt einerseits daran, dass er den wichtigsten Grundaussagen der Quantentheorie und der Allgemeinen Relativitätstheorie gerecht wird, zu denen bezüglich letzterer Theorie vor allem die Hintergrundunabhängigkeit gehört. Andererseits kommt er ohne über die beiden Theorien hinausgehende Ad-hoc-Annahmen aus [17], was dem heuristischen Gebot Rechnung trägt, eine Theorie auf so wenige zusätzliche Annahmen wie möglich zu gründen. Dies gilt auch dann, wenn man hinzufügt, dass er zunächst nichts über eine Vereinheitlichung mit den anderen Wechselwirkungen aussagt.

# Anhang

In diesem Anhang soll gezeigt werden, dass der dem Feynmangraphen (4.2) entsprechende Beitrag zur S-Matrix bzw. Feynmanamplitude für den Quarkprozess verschwindet. Unter Verwendung von (3.36), (3.43) und (3.44) ergibt sich folgender Ausdruck für den Beitrag zur S-Matrix

$$\begin{aligned}
& S_{Graviton}(q(p_1, u_1) + \bar{q}(p_2, v_2) \rightarrow Z(k_1, Z_1) + Z(k_2, Z_2)) \\
&= \frac{1}{(2\pi)^4} \int d^4k \frac{u_1}{(2\pi)^{\frac{3}{2}}} \frac{\bar{v}_2}{(2\pi)^{\frac{3}{2}}} \left( -\frac{i}{4\bar{M}_P} [(p_1 + p_2)^\mu \gamma^\nu + (p_1 + p_2)^\nu \gamma^\mu] \right) \\
&\quad \cdot (2\pi)^4 \delta^4(p_1 + p_2 - k) \sum_n \frac{i P_{\mu\nu\rho\sigma}}{k^2 - m^2} (2\pi)^4 \delta^4(k - k_1 - k_2) \\
&\quad \cdot \left( -\frac{i}{M_P} \delta^{cd} [W^{\rho\sigma\gamma\delta} + W^{\sigma\rho\gamma\delta}] \right) \frac{Z_{1\gamma c}}{(2\pi)^{\frac{3}{2}} \sqrt{k_{10}}} \frac{Z_{2\delta d}}{(2\pi)^{\frac{3}{2}} \sqrt{k_{20}}},
\end{aligned}$$

wobei  $W^{\rho\sigma\gamma\delta}$  und  $P_{\mu\nu\rho\sigma}$  wieder gemäß (3.44) und (3.38) definiert sind. Dies kann vereinfacht werden zu

$$\begin{aligned}
S_G &= \frac{-i}{(2\pi)^2 \sqrt{2k_{10}} \sqrt{2k_{20}}} \frac{1}{M_P^2} \sum_n \frac{1}{p^2 - m^2} \\
&\quad \cdot u_1 \bar{v}_2 [(p_1 + p_2)^\mu \gamma^\nu + (p_1 + p_2)^\nu \gamma^\mu] P_{\mu\nu\rho\sigma} [W^{\rho\sigma\gamma\delta} + W^{\sigma\rho\gamma\delta}] Z_{1\gamma} Z_{2\delta} \\
&\quad \cdot \delta^4(p - k_1 - k_2).
\end{aligned}$$

Mit  $p = p_1 + p_2$ ,  $A = \frac{1}{(2\pi)^3 \sqrt{2k_{10}} \sqrt{2k_{20}}} \frac{1}{M_P^2} \sum_n \frac{1}{p^2 - m^2}$  und (4.5) erhält man folgenden Ausdruck für den Beitrag zur Feynmanamplitude

$$M_G = A u_1 \bar{v}_2 [p^\mu \gamma^\nu + p^\nu \gamma^\mu] P_{\mu\nu\rho\sigma} [W^{\rho\sigma\gamma\delta} + W^{\sigma\rho\gamma\delta}] Z_{1\gamma} Z_{2\delta}$$

und durch Ausnutzung der Symmetrieeigenschaften des Polarisationsensors des Gravitons  $P_{\mu\nu\rho\sigma}$

$$M_G = 4A \cdot u^1 \bar{v}^2 \cdot p^\mu \gamma^\nu \cdot P_{\mu\nu\rho\sigma} \cdot W^{\rho\sigma\gamma\delta} \cdot Z_\gamma Z_\delta.$$

Im Schwerpunktsystem gilt

$$k_1^\mu Z_1^\mu = 0 \quad , \quad k_2^\mu Z_2^\mu = 0$$

und

$$\mathbf{p}_1 = -\mathbf{p}_2 \quad , \quad \mathbf{p} = 0 \quad , \quad \mathbf{k}_1 = -\mathbf{k}_2.$$

(Die fettgedruckten Größen bezeichnen Dreiervektoren.) Durch Einsetzen der Ausdrücke für  $W^{\rho\sigma\gamma\delta}$  und  $P_{\mu\nu\rho\sigma}$  und Ausnutzen der Relationen für die Polarisation des  $Z$ -Teilchens ergibt sich

$$\begin{aligned} M_G = & 4Au_1\bar{v}_2 p^\mu \gamma^\nu \cdot \left[ \frac{1}{2}(\eta_{\mu\rho}\eta_{\nu\sigma} + \eta_{\mu\sigma}\eta_{\nu\rho}) - \frac{1}{3}\eta_{\mu\nu}\eta_{\rho\sigma} \right. \\ & - \frac{1}{2m^2}(\eta_{\mu\rho}p_\nu p_\sigma + \eta_{\nu\sigma}p_\mu p_\rho + \eta_{\mu\sigma}p_\nu p_\rho + \eta_{\nu\rho}p_\mu p_\sigma) \\ & + \frac{1}{3m^2}\eta_{\rho\sigma}p_\mu p_\nu + \frac{1}{3m^2}\eta_{\mu\nu}p_\rho p_\sigma + \frac{2}{3m^4}p_\mu p_\nu p_\rho p_\sigma \left. \right] \\ & \cdot \left[ -\frac{1}{2}\eta^{\rho\sigma}(k_1 \cdot k_2)(Z_1 \cdot Z_2) + (Z_1 \cdot Z_2)(k_1^\rho k_2^\sigma) + (k_1 \cdot k_2)Z_1^\rho Z_2^\sigma \right]. \end{aligned}$$

Da  $\mathbf{p} = 0$  gilt, liefern bei der Multiplikation des letzten Termes der unteren eckigen Klammer mit der oberen eckigen Klammer nur die Terme, die  $\eta_{\rho\sigma}$  enthalten (wobei  $\rho$  und  $\sigma$  hier die Summationsindizes bezüglich  $Z^\rho$  und  $Z^\sigma$  bezeichnen), einen Beitrag. Damit tauchen aber keine Terme auf, welche den Faktor  $\gamma^\mu Z_\mu$  enthalten. Das bedeutet, dass man der Form nach einen Ausdruck der folgenden Gestalt erhält

$$M_G = 4A \cdot u_1 \bar{v}_2 \cdot [a\gamma^\mu p_\mu + b\gamma^\mu k_{1\mu} + c\gamma^\mu k_{2\mu}](Z_1 \cdot Z_2),$$

wobei  $a$ ,  $b$  und  $c$  skalare Größen sind, deren genaue Gestalt für die weitere Argumentation keine Rolle spielt. Da  $M_G$  aber symmetrisch in  $k_1$  und  $k_2$  ist, muss  $b = c$  gelten. Es gilt aber auch  $k_1 + k_2 = p$  und damit  $\gamma^\mu k_\mu^1 + \gamma^\mu k_\mu^2 = \gamma^\mu p_\mu$ . Das führt auf folgenden Ausdruck

$$M_G = 4A \cdot u_1 \bar{v}_2 \cdot d\gamma^\mu p_\mu (Z_1 \cdot Z_2),$$

mit  $d = a + 2b$ . Wenn man nun das Quadrat der Feynmanamplitude bildet, wobei über die Spineinstellungen summiert wird, ergibt sich

$$\sum_\sigma |M|_G^2 = 16A^2 d^2 \sum_\sigma (\bar{v}_2 \gamma^\mu p_\mu u_1) (\bar{u}_1 \gamma^\mu p_\mu v_2) (Z_1 \cdot Z_2).$$



Wenn man sich nun den Term  $\sum_{\sigma}(\bar{v}_2\gamma^{\mu}p_{\mu}u_1)(\bar{u}_1\gamma^{\nu}p_{\nu}v_2)$  alleine betrachtet und

$$\sum_{\sigma}(\bar{v}_2\gamma^{\mu}u_1)(\bar{u}_1\gamma^{\nu}v_2) = Tr\{\gamma^{\mu}(\gamma^{\rho}p_{2\rho} - m_f)\gamma^{\nu}(\gamma^{\sigma}p_{\sigma}^1 + m_f)\}$$

ausnutzt (wobei  $m_f$  die Fermionenmasse bezeichnet), erhält man

$$\begin{aligned} & \sum_{\sigma}(\bar{v}_2\gamma^{\mu}p_{\mu}u_1)(\bar{u}_1\gamma^{\nu}p_{\nu}v_2) \\ &= p_{\mu}p_{\nu}Tr\{\gamma^{\mu}(\gamma^{\rho}p_{2\rho} - m_f)\gamma^{\nu}(\gamma^{\sigma}p_{1\sigma} + m_f)\}. \end{aligned}$$

Die Spur einer ungeraden Anzahl von Gammamatrizen verschwindet. Desweiteren gelten die beiden Relationen

$$Tr\{\gamma^{\mu}\gamma^{\nu}\} = \eta^{\mu\nu} \quad , \quad Tr\{\gamma^{\mu}\gamma^{\rho}\gamma^{\nu}\gamma^{\sigma}\} = \eta^{\mu\rho}\eta^{\nu\sigma} - \eta^{\nu\mu}\eta^{\rho\sigma} + \eta^{\mu\sigma}\eta^{\rho\nu}.$$

Damit erhält man

$$\begin{aligned} & \sum_{\sigma}(\bar{v}_2\gamma^{\mu}p_{\mu}u_1)(\bar{u}_1\gamma^{\nu}p_{\nu}v_2) \\ &= p_{\mu}p_{\nu}[p_{2\rho}p_{1\sigma}(\eta^{\mu\rho}\eta^{\nu\sigma} - \eta^{\nu\mu}\eta^{\rho\sigma} + \eta^{\mu\sigma}\eta^{\rho\nu}) - m_f^2\eta^{\mu\nu}] \\ &= p_{\mu}p_{\nu}[p_2^{\mu}p_1^{\nu} - (p_1 \cdot p_2)\eta^{\mu\nu} + p_2^{\mu}p_1^{\nu}] - m_f^2p^2 \\ &= (p \cdot p_1)(p \cdot p_2) - p^2(p_1 \cdot p_2) + (p_1 \cdot p)(p_2 \cdot p) - m_f^2p^2 \\ &= 4E^4 - 4E^2(E^2 - \mathbf{p}_1\mathbf{p}_2) + 4E^4 - 4E^2m_f^2 \\ &= 8E^4 - 4E^2(2E^2 - m_f^2) - 4E^2m_f^2 = 0. \end{aligned}$$

Im vorletzten Schritt wurde  $\mathbf{p}_2 = -\mathbf{p}_1$  und  $E^2 = (p_1)^2 + m_f^2 = (p_2)^2 + m_f^2$  ausgenutzt. Damit verschwindet aber  $\sum_{\sigma}|M|_G^2$  und damit auch  $M_G$  selbst.



# Literaturverzeichnis

- [1] M. Kober, B. Koch and M. Bleicher, “First Order Calculation of the Inclusive Cross Section  $pp$  to  $ZZ$  by Graviton Exchange in Large Extra Dimensions,” *Phys. Rev. D* **76** (2007) 125001 [arXiv:0708.2368 [hep-ph]].
- [2] A. Einstein, “On the electrodynamics of moving bodies,” *Annalen Phys.* **17** (1905) 891 [*Annalen Phys.* **14** (2005) 194].
- [3] A. Einstein, “The foundation of the general theory of relativity,” *Annalen Phys.* **49** (1916) 769 [*Annalen Phys.* **14** (2005) 517].
- [4] S. Weinberg, “Gravitation and Cosmology”, Wiley & Sons New York (1972)
- [5] C. W. Misner, K. S. Thorne, J. A. Wheeler, “Gravitation”, Palgrave Macmillan (1973)
- [6] F. De Felice, C. J. S. Clarke, “Relativity on Curved Manifolds”, Cambridge University Press (1990)
- [7] T. Kaluza, “On The Problem Of Unity In Physics,” *Sitzungsber. Preuss. Akad. Wiss. Berlin (Math. Phys. )* **1921** (1921) 966.
- [8] O. Klein, “Quantum theory and five-dimensional theory of relativity,” *Z. Phys.* **37** (1926) 895 [*Surveys High Energ. Phys.* **5** (1986) 241].
- [9] J. Polchinsky, “An Introduction to the Bosonic String”, Cambridge University Press (2005)
- [10] L. Randall and R. Sundrum, “A large mass hierarchy from a small extra dimension,” *Phys. Rev. Lett.* **83** (1999) 3370 [arXiv:hep-ph/9905221].
- [11] L. Randall and R. Sundrum, “An alternative to compactification,” *Phys. Rev. Lett.* **83** (1999) 4690 [arXiv:hep-th/9906064].

- [12] I. Antoniadis, S. Dimopoulos and G. R. Dvali, “Millimeter range forces in superstring theories with weak-scale compactification,” Nucl. Phys. B **516** (1998) 70 [arXiv:hep-ph/9710204].
- [13] N. Arkani-Hamed, S. Dimopoulos and G. R. Dvali, “The hierarchy problem and new dimensions at a millimeter,” Phys. Lett. B **429** (1998) 263 [arXiv:hep-ph/9803315].
- [14] I. Antoniadis, N. Arkani-Hamed, S. Dimopoulos and G. R. Dvali, “New dimensions at a millimeter to a Fermi and superstrings at a TeV,” Phys. Lett. B **436** (1998) 257 [arXiv:hep-ph/9804398].
- [15] P. Ramond, “Field Theory A modern primer”, Westview Press (1990)
- [16] M. Nakahara, “Geometry, Topology and Physics”, Adam Hilger (Bristol 1990)
- [17] C. Rovelli, “Quantum Gravity”, Cambridge University Press (2004)
- [18] R. Sundrum, “Effective field theory for a three-brane universe,” Phys. Rev. D **59** (1999) 085009 [arXiv:hep-ph/9805471].
- [19] S. Weinberg, “The Quantum Theory of Fields - Volume I (Foundations)”, Cambridge University Press (1995)
- [20] R. P. Feynman, “Space-time approach to nonrelativistic quantum mechanics,” Rev. Mod. Phys. **20** (1948) 367.
- [21] S. Weinberg, “The Quantum Theory of Fields - Volume II (Modern Applications)”, Cambridge University Press (1996)
- [22] R. J. Rivers, “Path integral methods in quantum field theory”, Cambridge University Press (1988)
- [23] P. Callin and F. Ravndal, “Lagrangian formalism of gravity in the Randall-Sundrum model,” Phys. Rev. D **72** (2005) 064026 [arXiv:hep-ph/0412109].
- [24] J. F. Donoghue, “Introduction to the Effective Field Theory Description of Gravity,” arXiv:gr-qc/9512024.
- [25] G. F. Giudice, R. Rattazzi and J. D. Wells, “Quantum gravity and extra dimensions at high-energy colliders,” Nucl. Phys. B **544** (1999) 3 [arXiv:hep-ph/9811291].

- [26] T. Han, J. D. Lykken and R. J. Zhang, “On Kaluza-Klein states from large extra dimensions,” *Phys. Rev. D* **59** (1999) 105006 [arXiv:hep-ph/9811350].
- [27] J. D. Bjorken, S. D. Drell, “Relativistische Quantenfeldtheorie”, Spektrum Akademischer verlag (1990)
- [28] M. E. Peskin, D. V. Schroeder, “An Introduction to Quantum Field Theory”, Perseus Books (1995)
- [29] S. Kretzer, H.L. Lai, F. Olness, W.K. Tung “CTEQ6 Parton Distributions with Heavy Quark Mass Effect” *Phys. Rev. D* **69** (2004) 114005 [arXiv:hep-ph/0307022].
- [30] J. Ohnemus, “QCD corrections to diboson production,” arXiv:hep-ph/9503389.
- [31] D. Acosta *et al.* [CDF Collaboration], *Phys. Rev. D* **71** (2005) 091105 [arXiv:hep-ex/0501021].
- [32] J. M. Campbell and R. K. Ellis, *Phys. Rev. D* **60** (1999) 113006 [arXiv:hep-ph/9905386].
- [33] C. N. Yang, R. L. Mills, “Conservation of Isotopic Spin and Isotopic Gauge Invariance,” *Phys. Rev.* **96** (1954) 191.
- [34] S. Pokorski, “Gauge Field Theories”, Cambridge University Press (1987)
- [35] P. W. Higgs, “Broken symmetries and the masses of gauge bosons,” *Phys. Rev. Lett.* **13** (1964) 508.
- [36] S. L. Glashow, “Partial Symmetries Of Weak Interactions,” *Nucl. Phys.* **22** (1961) 579.
- [37] S. Weinberg, “A Model Of Leptons,” *Phys. Rev. Lett.* **19** (1967) 1264.
- [38] A. Salam, “Weak And Electromagnetic Interactions,” Svartholm: Elementary Particle Theory, Proceedings Of The Nobel Symposium Held 1968 At Lerum, Sweden. Stockholm (1968), 367-377.
- [39] W. Greiner, B. M $\ddot{A}$  $\frac{1}{4}$ ller, “Gauge Theory of Weak Interactions”, Springer-Verlag (1993)
- [40] C. Quigg, “Gauge Theories of the Strong, Weak, and Electromagnetic Interactions”, Perseus books (1997)

- [41] H. Lyre, “Lokale Symmetrien und Wirklichkeit”, Mentis Verlag (2004)
- [42] H. S. Snyder, “Quantized space-time,” *Phys. Rev.* **71** (1947) 38.
- [43] N. Seiberg and E. Witten, “String theory and noncommutative geometry,” *JHEP* **9909** (1999) 032 [arXiv:hep-th/9908142].
- [44] E. V. Gorbar and V. A. Miransky, “Relativistic field theories in a magnetic background as noncommutative field theories,” *Phys. Rev. D* **70** (2004) 105007 [arXiv:hep-th/0407219].
- [45] M. Wohlgenannt, “Introduction to a non-commutative version of the standard model,” arXiv:hep-th/0302070.
- [46] X. Calmet and M. Wohlgenannt, “Effective field theories on non-commutative space-time,” *Phys. Rev. D* **68** (2003) 025016 [arXiv:hep-ph/0305027].
- [47] X. Calmet, “Yang-Mills theories on noncommutative space-time,” arXiv:hep-th/0401212.
- [48] J. Madore, S. Schraml, P. Schupp and J. Wess, “Gauge theory on noncommutative spaces,” *Eur. Phys. J. C* **16** (2000) 161 [arXiv:hep-th/0001203].
- [49] B. Jurco, S. Schraml, P. Schupp and J. Wess, “Enveloping algebra valued gauge transformations for non-Abelian gauge groups on non-commutative spaces,” *Eur. Phys. J. C* **17** (2000) 521 [arXiv:hep-th/0006246].
- [50] B. Jurco, L. Moller, S. Schraml, P. Schupp and J. Wess, “Construction of non-Abelian gauge theories on noncommutative spaces,” *Eur. Phys. J. C* **21** (2001) 383 [arXiv:hep-th/0104153].
- [51] X. Calmet, B. Jurco, P. Schupp, J. Wess and M. Wohlgenannt, “The standard model on non-commutative space-time,” *Eur. Phys. J. C* **23** (2002) 363 [arXiv:hep-ph/0111115].
- [52] B. Melic, K. Passek-Kumericki, J. Trampetic, P. Schupp and M. Wohlgenannt, “The standard model on non-commutative space-time: Electroweak currents and Higgs sector,” *Eur. Phys. J. C* **42** (2005) 483 [arXiv:hep-ph/0502249].

- [53] B. Melic, K. Pasek-Kumericki, J. Trampetic, P. Schupp and M. Wohlgenannt, “The standard model on non-commutative space-time: Strong interactions included,” *Eur. Phys. J. C* **42** (2005) 499 [arXiv:hep-ph/0503064].
- [54] F. J. Petriello, “The Higgs mechanism in non-commutative gauge theories,” *Nucl. Phys. B* **601** (2001) 169 [arXiv:hep-th/0101109].





# Danksagung

Natürlich ist es unmöglich, all jenen zu danken, die letztlich indirekt zur Entstehung dieser Diplomarbeit beigetragen haben, indem sie mir beim Erwerb des Wissens halfen, das die unabdingbare Voraussetzung für die Behandlung der hier vorgestellten Themen darstellt. Hier wären zahllose Tutoren, Professoren und Buchautoren und wenn man die Entwicklung nur weit genug zurückverfolgt, auch viele ehemalige Lehrer aufzuführen, denen mein innigster Dank ausgesprochen werden müsste. Vier Namen sind jedoch zu nennen, denen in besonderer Weise Dank gebührt. Es handelt sich um Benjamin Koch, Xavier Calmet, Marcus Bleicher und Horst Stöcker.

Auf Benjamin Koch geht die Idee zurück, die ZZ-Produktionsrate in der beschriebenen effektiven Quantenfeldtheorie der Gravitation unter Einbeziehung zusätzlicher Dimensionen zu untersuchen. Ihm verdanke ich unzählige Ratschläge und hilfreiche Diskussionen. Xavier Calmet hat mir den Vorschlag gemacht, die oben durchgeführte Untersuchung bezüglich des Higgsmechanismus auf einer nichtkommutativen Raumzeit durchzuführen. Während zweier sehr angenehmer einwöchiger Aufenthalte bei ihm in Brüssel und über das Internet kam es zu einem fruchtbaren wissenschaftlichen Dialog. Marcus Bleicher danke ich dafür, dass er mich zu Xavier Calmet vermittelte und mir die beiden Reisen nach Brüssel ermöglichte. Darüber hinaus hat er mich in den letzten Monaten in vielerlei Hinsicht unterstützt. Hierbei ragen vor allem seine vielen wertvollen Hinweise in Zusammenhang mit der Veröffentlichung eines gemeinsamen Artikels hervor. Schließlich danke ich meinem offiziellen Betreuer Horst Stöcker. Er hat mir durch die Aufnahme ans Institut für Theoretische Physik überhaupt erst die Möglichkeit eröffnet, in diesem Gebiet zu arbeiten. Der erwähnte Artikel geht auf seine Idee zu einem interessanten Sommerprojekt zurück. Vor allem aber hat er mit einer hervorragenden sechs Semester währenden Einführungsvorlesung in die Theoretische Physik die Grundlage für alle weitere Beschäftigung mit dieser faszinierenden Wissenschaft gelegt.

Am meisten aber schulde ich meinen Eltern Dank. Sie sorgten dafür, dass ich mich während meines Studiums ganz auf die Physik konzentrieren konn-

te. Noch bedeutender aber ist, dass ich es im Grunde ihnen zu verdanken habe, mit jener Literatur in Berührung gekommen zu sein, die mir die Dimension so vieler Fragen in Naturwissenschaft und Philosophie eröffnete und mich die für unser Weltbild konstitutive Rolle der Physik als basalster aller Naturwissenschaften erkennen ließ.

Ich versichere hiermit, dass ich die vorliegende Arbeit selbständig verfasst, keine anderen als die angegebenen Hilfsmittel verwendet und sämtliche Stellen, die benutzten Werken im Wortlaut oder dem Sinne nach entnommen sind, mit Quellen- bzw. Herkunftsangaben kenntlich gemacht habe.

Martin Kober